

MINISTERUL EDUCATIEI SI INVATAMINTULUI
INSTITUTUL POLITEHNIC „TRAIAN VUIA” TIMIȘOARA
FACULTATEA DE MECANICA

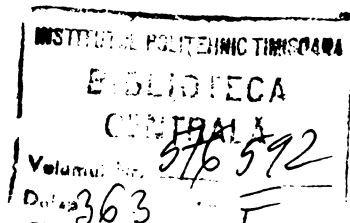
GIROSCOPUL
MAGNETOHIDRODINAMIC
TEZA DE DOCTORAT

Inginer AVRAM EMIL

CONDUCĂTOR STIINȚIFIC
Academician doctor docent inginer
IOAN ANTON

BIBLIOTeca CENTRALă
UNIVERSITATEA "POLITEHNICA"
TIMIȘOARA

TIMIȘOARA
1989



C U P R I N S

	Pag.
CAP. 1. INTRODUCERE.....	5
CAP. 2. STADIUL ACTUAL AL APARATURII DESTINATE NAVIGATIEI INERTIALE.....	11
2.1. Elemente de teoria giroscopului.....	11
2.1.1. Dinamica solidului cu punct fix.....	14
Ecuăriile lui Euler	
Ecuăriile lui Euler modificate	
2.2. Considerații asupra utilizării apara- telor giroscopice.....	24
2.2.1. Clasificarea aparatelor gi- roscopice.....	24
2.2.2. Parametrii giroscopelor actuale.....	26
2.3. Direcții de cercetare în vederea per- fecționării aparaturii giroscopice..	29
2.3.1. Giroscopul cu susținere electrostatică.....	32
2.3.2. Giroscopul cu susținere magnetică.....	33
2.3.3. Giroscopul hidrodinamic.....	34
2.3.4. Giroscopul vibrator.....	35
2.3.5. Giroscope cu rezonanță mag- netică.....	38
2.3.6. Girometrul cu laser.....	40
CAP. 3. GIROSCOPUL M.H.D.....	45
3.1. Considerații generale.....	45
3.1.1. Construcția giroscopului M.H.D.	46
3.1.2. Principiul de funcționare al giroscopului M.H.D.....	48
3.2. Materiale utilizate în construcția giroscopului M.H.D.....	50
3.2.1. Fluide de lucru.....	50
3.2.2. Materiale magnetice.....	51
3.2.3. Soluții constructive utilizate în construcția giroscopului M.H.D.....	56

3.3. Ecuatiile fundamentale ale magneto-hidrodinamicii.....	61
3.3.1. Ecuatiile generale ale miscării mediului continuu electraconductor.....	61
3.4. Studiul miscării fluidului electroconductor în giroscopul M.H.D.	65
3.4.1. Studiul miscării fluidului electroconductor în giroscopul M.H.D. de curent continuu.....	65
3.4.2. Studiul miscării fluidului electroconductor în cazul giroscopului M.H.D. de curent alternativ,.....	79
3.4.3. Miscarea fluidului electroconductor în proximitatea capelor giroscopului M.H.D....	91
3.5. Ecuatiile diferențiale în cazul funcționării ca girometru.....	99
3.5.1. Influența parametrilor de miscare ai suportului asupra mărimiilor de ieșire a girometru M.H.D.....	107
3.6. Sensibilitatea girometrului M.H.D... .	113
3.7. Elemente de proiectare a giroscopului M.H.D.....	121
3.7.1. Solutii constructive. Geometria canalului.....	121
3.7.2. Elemente de proiectare a părții electrice de antrenare... .	125
3.8. Rezultate experimentale.....	133
3.8.1. Măsurarea distribuției de viteze.....	133
3.8.2. Măsurarea distribuției cimpului magnetic.....	159
CAP. 4. CONCLUZII.....	161
BIBLIOGRAPIA.....	167

CAP.I - INTRODUCERE

Utilizarea tot mai largă a vehiculelor aeriene și maritime în strînsă legătură cu multiple domenii de activitate, introducerea și perfecționarea sistemelor de dirijare a rachetelor, extinderea investigațiilor spațiale, au sporit exigențele privind determinarea elementelor de navigație.

S-a fundamentat astfel necesitatea elaborării unei tehnici de navigație având performanțe superioare, precisă și sigură în funcționare, cu autonomie față de sursele de informații din exteriorul vehiculului, pentru a fi utilizabilă în orice condiții și în orice punct al spațiului - la sol, în aer, pe mare, în spațiul cosmic sau în adâncul oceanului planetar.

Toate aceste condiții sănătătărești sînt satisfăcute de tehnica inertială de navigație, care echipează astăzi rachete dirijate, nave cosmice cu diverse destinații, avioane de mare viteză, nave maritime de suprafață și submarine, unele vehicule terestre speciale. Astfel se explică interesul și preocupările tot mai intense a cercetătorilor din multe țări pentru eprofundarea multiplelor aspecte ale acestei metode de determinare automată a poziției, a vitezei și a orientării vehiculului pentru perfecționarea soluțiilor constructive și a tehnologiilor de fabricație.

Dezvoltarea economiei naționale, a cercetării științifice și a învățămîntului superior precum și necesitatea de a întări capacitatea de apărare a țării, au dus la abordarea unor studii și cercetări necesare elaborării de aparatură de navigație inertială în țară. Astfel, a fost reluată la dimensiunile actualității tradiția bogată a construcțiilor aeronaute, tradiție în care numelè lui Traian Vuia, Aurel Vlaicu, Henri Coandă, reprezentă puncte de referință în istoria aviației mondiale și fac cîinste poporului român. În contextul activității de edificare a industriei aeronaute naționale precum și din cerințele industriei proprii de apărare, a apărut necesitatea asigurării aparaturii de navigație produsă în țară și ca urmare au fost create institute de cercetări

și întreprinderi destinate acestui scop. O contribuție importantă în această direcție și-a adus-o Academia Militară, care prin specificul său a dat țării generații de ingineri militari cu cunoștințe solide în domeniile de vîrf legate de tehnica de specialitate, lucrări științifice de referință, inclusiv în domeniul navigației inerțiale datorate unor profesori de valoare ca M.L.Niță, I. Aron ș.a. Una din multiplele direcții de cercetare abordate pe plan mondial care are conțințe cu tehnica de navigație inerțială precum și cu alte domenii de vîrf ale tehnicii este magnetohidrodinamica. Apărută în secolul trecut prin abordările datorate lui Faraday și Ritchie, în scădere de interes pînă la sfîrșitul secolului trecut, revenită apoi în atenția cercetătorilor din domeniul astrofizicii, cunoaște începînd cu anii 1920 - 1940 o dezvoltare de sine stătătoare, o dată cu lucrările lui Cowling, Ferraro, Hartmann și Alfvén, căruia fi datoră și numele. În perioada imediat următoare celui de-al doilea război mondial, mai ales ca urmare a dezvoltării tehnologiilor nucleare, magnetohidrodinamica cunoaște o dezvoltare explozivă. În țara noastră primele lucrări de magnetohidrodinamică sunt datorate prof. Dragoș Lazăr de la Universitatea din București (1969) și prof. Ion Stefan de la Academia Militară (1969). Tot în aceiasi perioadă, la Institutul Politehnic "Traian Vuia" din Timișoara, sub conducerea acad.dr.doc.ing. Ioan Anton sunt întreprinse primele cercetări cu caracter aplicativ de magnetohidrodinamică, la care a participat și autorul, pe atunci student al Facultății de mecanică, secția mașini hidraulice. Ulterior, aici a luat fiindcă un colectiv puternic de cercetători în domeniul magnetohidrodinamicii (printre care amintim pe I. De Sabata, L. Vékás, I. Potencz, E. Suciu ș.a.) colectiv cu realizări remarcabile în domeniul teoretic și și aplicativ, cunoscute și apreciate în țară și în străinătate. În anii următori apar și alte colective de cercetare în domeniul magnetohidrodinamicii la Institutul Politehnic din Iași (E. Luca, Gh. Călugăru, C. Cotae ș.a.), Institutul de Construcții București (A. Anton), precum și în unele

institute de cercetare din capitală și din provincie. Majoritatea cercetărilor întreprinse în ultimul timp, atât în țară cât și în străinătate au ca obiect ferofluidele și aplicațiile lor.

In contextul enunțat se înscrie și lucrarea de față care concretizează strădaniile autorului în domeniul magnetohidrodinamicii începute cu 18 ani în urmă sub îndrumarea actualului conducător științific acad. Ioan Anton și continuată apoi în cadrul Catedrei de mecanică din Academia Militară condusă de prof. Ion Stefan iar în ultimii ani de prof.dr.ing. Dan Ionescu. Lucrarea, organizată în patru capitole își propune să lămurescă principalele aspecte teoretice și practice legate de construcția giroscopului MHD. În acest sens au fost stabilite și integrate ecuațiile care governăzează mișcarea fluidului electroconductor obținându-se o imagine de ansamblu asupra distribuțiilor de viteză și de presiuni atât pentru giroscopul de curent continuu cât și pentru cel de curent alternativ, a fost demonstrată posibilitatea funcționării ca giroscop a maselor de fluid în mișcare de rotație precum și influența parametrilor cinematici ai mișcării suportului asupra mărimii de ieșire, a fost definită și studiată noțiunea de sensibilitate a giroscopului MHD și schițată o metodologie de proiectare-

In cadrul părții experimentale a fost stabilită o metodă proprie de măsurare a distribuției de viteză și a fost conceput și realizat un instrument adecvat pentru măsurarea distribuției cîmpului magnetic în întrefier.

Bibliografia prezentată este selectivă, cuprinzînd numai lucrările principale consultate de autor.

Contribuțiile originale cuprinse în lucrare sunt următoarele:

- stabilirea și integrarea ecuațiilor de mișcare ale fluidului electroconductor în giroscopul de curent continuu cu inducție radială și în cel cu inducție axială (paragraful 3.4.1, mai puțin primul caz discutat);

- stabilirea și integrarea ecuațiilor de mișcare în giroscopul MHD de curent alternativ cu inducție radială (paragraful 3.4.2, mai puțin primul caz discutat);
- studiul mișcării fluidului electroconductor în proximitatea capacilor (paragraful 3.4.3 - parțial);
- stabilirea ecuațiilor diferențiale ale mișcării în cazul funcționării ca girometru (paragraful 3.5. integral);
- stabilirea influenței parametrilor de mișcare ai suportului asupra mărimii de ieșire (paragraful 3.5.1 - integral);
- calculul sensibilității girometrului MHD (paragraful 3.7 - parțial);
- stabilirea metodologiei de proiectare a giroscopului MHD (paragrafele 3.7.1, 3.7.2 - integral);
- stabilirea metodei de măsurare a distribuției de viteze (paragraful 3.8.1 - integral);
- conceperea și realizarea teslametrului pentru măsurări punctuale ale inducției în întregier.

În procesul de elaborare au fost utilizate mijloacele de calcul electronic (calculatoarele Felix C 256, M 118, M 119), alcătuindu-se programele necesare în limbajele FORTRAN, BASIC și PMSD. Întrucât trasarea distribuției de viteză la giroscopul de curent continuu cu inducție axială s-a folosit un program bazat pe metoda elementului finit.

La sfîrșit, îmi îndeplineșc o plăcută obligație, aducând cele mai calde mulțumiri conducerului științific Acad.dr.dac.ing. Ioan Anton, care mi-a fost și deosebit și al cărui exemplu de probitate științifică și morală, de cărjă părintească pentru creșterea tinerilor cercetători l-am avut mereu în suflet și fără a cărui îndrumare competentă nu astăzi fi putut ajunge la capăt. Multumesc de asemenea

conducerii facultății și catedrei de mecanică din Academia Militară, colegilor din catedră, pentru condițiile create și pentru sprijinul acordat pe parcursul elaborării tezei. Nu în ultimul rînd mulțumesc familiei și mai ales soției mele pentru sprijinul și înțelegerea arătată. Si deoarece numărul celor cărora le sănătatea este mare, mă voi limita să aduc mulțumiri speciale colegilor mei conf.ing. Mircea Ionescu și prof.col.ing. Lixandru Paul ale căror observații și sfaturi competente mi-au fost de mare folos.

Cap.2. STADIUL ACTUAL AL APARATURII DESTINATE NAVIGATIEI INERTIALE

2.1. Elemente de teoria giroscopului

Sistemele automate de navigație inertială sunt caracterizate printr-un înalt grad de complexitate, în structura lor intrînd alături de componente de mecanică fină de mare precizie cele mai noi componente electronice și electrotehnice.

Elementul esențial al oricărui astfel de sistem îl reprezintă giroscopul, care este utilizat în diverse ipostaze pentru a putea furniza sistemului automat informațiile necesare.

In esență giroscopul este un rigid de revoluție care are un punct fix, O, situat pe axa sa de simetrie în jurul căreia i se imprimă o mișcare de rotație rapidă cu viteza unghiulară $\bar{\omega}$.

Este evident că din punct de vedere dinamic el reprezintă un rigid cu punct fix. Pentru abordarea studiului unui giroscop se utilizează cunoștințe de cinematică și dinamica solidului cu punct fix, iar pentru studiul comportării acestuia în sistem cunoștințe de automatice (teoria stabilității). Pentru studierea unor tipuri neconvenționale de giroscope se utilizează cunoștințe diverse de Mecanica fluidelor Magnetohidrodinamică, Optică, Fizică nucleară etc.

2.1.1. Cinematica solidului cu punct fix

Mișcarea unui solid cu punct fix poate fi considerată ca o rotație cu viteza unghiulară $\bar{\omega}$, în jurul unei axe instantane (Δ) ce trece prin punctul fix.

Distribuția de viteză este dată de:

$$\bar{v}_1 = \bar{\omega} \times \bar{r}_1 \quad (2.1)$$

în care \bar{r}_1 reprezintă vectorul de poziție al unui punct la momentul considerat iar $\bar{\omega}$ viteza unghiulară corespunzătoare aceluiași moment.

Traекторiile punctelor solidului sunt curbe strimate pe suprafața unor sfere de rază R_i , unde R_i reprezintă distanța de la punctul fix O la punctul considerat.

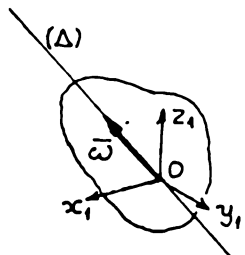


Figura nr. 2.1

Distribuția de accelerări este cea corespunzătoare unei mișcări de rotație în jurul axei instantanee (Δ).

$$\ddot{\mathbf{a}} = \dot{\mathbf{v}} = \ddot{\boldsymbol{\xi}} \mathbf{x} \dot{\mathbf{r}} + \ddot{\boldsymbol{\omega}} \mathbf{x} (\ddot{\boldsymbol{\omega}} \mathbf{x} \dot{\mathbf{r}}) \quad (2.2)$$

Vectorul accelerări unghiulară $\ddot{\boldsymbol{\xi}} = \dot{\boldsymbol{\omega}}$, are în general o direcție diferită de cea a lui $\ddot{\boldsymbol{\omega}}$.

Se observă că punctele de pe axa instantanea au viteza nulă. Un singur punct al solidului are accelerări nulă - acesta fiind punctul fix 0.

Locul geometric al axei (Δ) față de un triedru fix este o suprafață conică cu vîrful în 0 denumită axoidă fixă sau con hiperbolodic.

Locul geometric al dreptei (Δ) față de un triedru mobil (legat de corp) este de asemenea o suprafață conică cu vîrful în 0 numită axoidă mobilă sau con polodic.

Sunt cunoscute și sub numele de "Conurile lui Poinsot", conul polodic rostogolindu-se fără alunecare pe conul hiperbolodic, cele două conuri fiind în permanentă tangente.

In studiul mișcării solidului cu punct fix se utilizează atât triedrul fix ($T_1(O_1, x_1, y_1, z_1)$ cât și un triedru mobil $T(x, y, z)$ legat de solid. Exprimarea poziției triedrului mobil în raport cu cel fix se poate face în diverse feluri. Relația generală de transformare este:

$$\begin{aligned} x_1^* &= a_{ij} x_j \\ x_i &= a_{ij} x_j^* \end{aligned} \quad (2.3)$$

Intre cosinuzii directori ai matricei de transformare există corelație:

$$a_{ij} \cdot a_{ik} = \delta_{jk} \quad (2.4)$$

Acest mod de lucru este riguros dar incomod.

In mecanica clasică studiul se realizează cu ajutorul unghiurilor lui Euler, reprezentate în figura nr. .

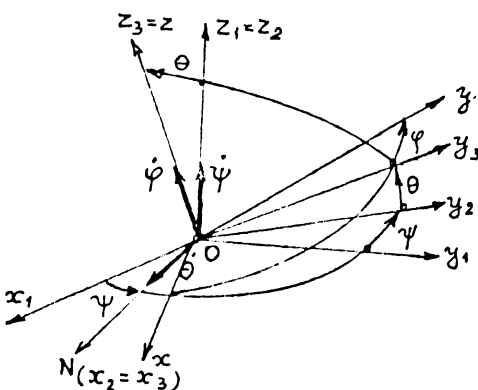


Figura nr. 2.2

Unghiul φ este numit unghi de rotație proprie, θ - unghi de nutație și ψ - unghi de precesie. Imprimând triedrului mobil trei rotații cu unghiurile φ , ψ , θ acesta poate fi suprapus peste triedrul mobil.

Este evident că viteza unghiulară instantanee $\bar{\omega}$ a solidului va fi dată de:

$$\bar{\omega} = \dot{\varphi} + \dot{\psi} + \dot{\theta} \quad (25)$$

Se obisnuieste ca vectorul să fie exprimat prin componente sale pe triedrul mobil.

$$\bar{\omega} = \omega_x \cdot \bar{i} + \omega_y \cdot \bar{j} + \omega_z \cdot \bar{k} \quad (26)$$

Legătura între componentele ω_x , ω_y , ω_z și vitezele unghiulare $\dot{\varphi}$, $\dot{\psi}$, $\dot{\theta}$ se face proiectînd relația (25) pe axele sistemului mobil $O_{x,y,z}$. Rezultă:

$$\begin{aligned} \omega_x &= \dot{\theta} \cos \varphi + \dot{\psi} \sin \theta \sin \varphi \\ \omega_y &= -\dot{\theta} \sin \varphi + \dot{\psi} \sin \theta \cos \varphi \\ \omega_z &= \dot{\varphi} + \dot{\psi} \cos \theta \end{aligned} \quad (2.7)$$

Utilizarea unghiurilor lui Euler prezintă următorul neajuns: cind $\theta = 0$ unghiurile φ și ψ devin nedeterminate căci nu se mai poate preciza poziția liniei nodurilor în raport cu care sunt definite. Din acest motiv unghiurile lui Euler sunt neindicăte în cazul în care unghiul θ se anulează, așa cum este cazul unor aparate giroscopice.

Din această cauză se utilizează uneori unghiurile cardanice, legate de structura fizică a suspensiei giroscopecelor compusă din două inele cu axe perpendiculare (figura nr. 2.3).

Proiectînd ecuația:

$$\bar{\omega} = \dot{\alpha} + \dot{\beta} + \dot{\gamma} \quad (2.8)$$

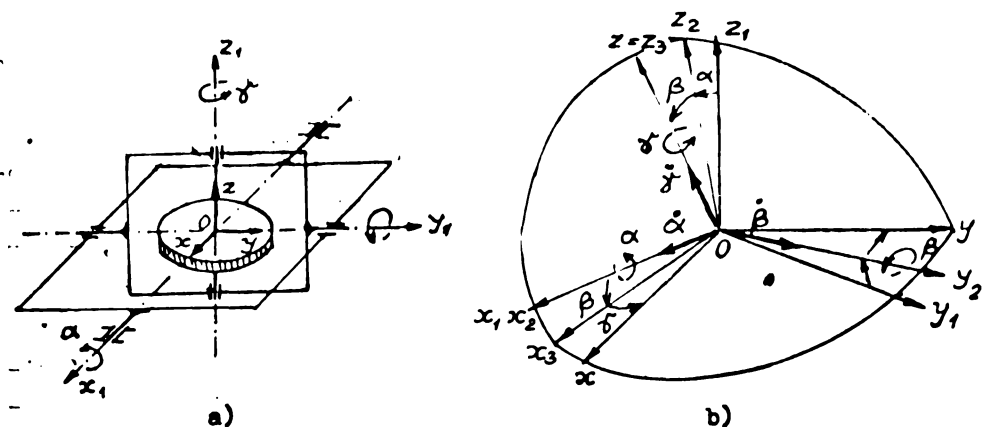


Figura nr. 2.3

pe axele sistemului mobil se obține:.

$$\omega_x = \dot{\alpha} \cos \beta \cos \gamma + \dot{\beta} \sin \gamma$$

$$\omega_y = -\dot{\alpha} \cos \beta \sin \gamma + \dot{\beta} \cos \gamma \quad (2.9)$$

$$\omega_z = \dot{\gamma} + \dot{\alpha} \sin \beta$$

2.1.2. Dinamica solidului cu punct fix

Ecuatiile lui Euler..

Fie solidul rigid reprezentat în figura nr. 2.4 reperat cu inertialul

$O x_1, y_1, z_1$ și triedrul mobil $Oxyz$.

Necunoscutele problemei sint:

$\varphi(t), \psi(t), \theta(t)$ precum și \bar{R} .

Teorema mișcării centrului maselor ne oferă ecuația:

$$M \ddot{\bar{s}} = \sum \bar{F}_1 + \bar{R} \quad (2.10)$$

unde \bar{s} este vectorul de poziție al centrului maselor.

Afînd în vedere ecuația

(2.2) putem scrie:

$$\ddot{\bar{s}} = \bar{\varepsilon} \times \bar{s} + \bar{\omega} \times (\bar{\omega} \times \bar{s}) \quad (2.11)$$

Inlocuind (2.11) în (2.10) rezultă:

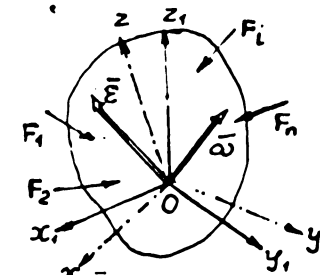


Figura nr. 2.4

$$\bar{R} = \bar{M}[\bar{\epsilon} \times \bar{\beta} + \bar{\omega} \times (\bar{\omega} \times \bar{\beta})] - \sum \bar{F}_i \quad (2.12)$$

Teorema momentului cinetic în raport cu punctul fix O se scrie:

$$\frac{d\bar{K}_o}{dt} = \bar{M}_o \quad (2.13)$$

Alegind triedrul O_{xyz} astfel ca axele sale să fie axe principale de inerție, momentul de inerție în raport cu axele sistemului mobil este:

$$\bar{K} = I_x \omega_x \bar{i} + I_y \omega_y \bar{j} + I_z \omega_z \bar{k} \quad (2.14)$$

Expresiile lui $\bar{\omega}$ și \bar{M}_o fiind:

$$\bar{\omega} = \omega_x \bar{i} + \omega_y \bar{j} + \omega_z \bar{k} \quad (2.15)$$

$$\bar{M}_o = M_x \bar{i} + M_y \bar{j} + M_z \bar{k} \quad (2.16)$$

Ecuatia (2.13) se poate scrie sub forma scalară:

$$J_x \dot{\omega}_x + (J_z - J_y) \omega_y \omega_z = M_x$$

$$J_y \dot{\omega}_y + (J_x - J_z) \omega_z \omega_x = M_y \quad (2.17)$$

$$J_z \dot{\omega}_z + (J_y - J_x) \omega_x \omega_y = M_z$$

Ecuatiile poartă numele de ecuațiile lui Euler și împreună cu ecuațiile (2.7) formează un sistem de 6 ecuații diferențiale de ordinul întâi cu necunoscutele ω_x , ω_y , ω_z , φ , ψ , θ .

Integrarea acestui sistem în termeni finiti a fost efectuată pentru cîteva cazuri particulare dintre care menționăm:

a) Cazul Euler - Poinsot

Consideră $\bar{M} = 0$, solidul avînd drept axă de rotație o axă principală de inerție și fiind un corp de revoluție.

b) Cazul Lagrange - Poisson

Studiază mișcarea sub acțiunea greutății proprii considerînd că elipsoidul relativ la punctul fix O este o suprafață de rotație în jurul unei axe ce trece prin centrul de greutate ($J_x = J_y$).

c) Cazul Sofia Kovalevskaia

Studiază mișcarea solidului de la cazul precedent dar centrul de greutate nu se mai află pe axa O_z ci undeva în planul xOy .

Studiul mișcării în cazul Euler - Poinsot

Pentru $\bar{M} = 0$ ecuațiile Euler devin:

$$\begin{aligned} J_x \varepsilon_x + (J_z - J_y) \omega_y \omega_z &= 0 \\ J_y \varepsilon_y + (J_x - J_z) \omega_z \omega_x &= 0 \\ J_z \varepsilon_z + (J_y - J_x) \omega_x \omega_y &= 0 \end{aligned} \quad (2.18)$$

Dacă la $t = 0$ avem $\bar{\omega}_o = \omega_0 \bar{k}$, sistemul (2.18) admite soluțiile particulare $\omega_x = \omega_y = 0$; $\omega_z = \omega_{z0} = \text{ct}$. Aceasta înseamnă că în raport cu triedrul mobil vectorul $\bar{\omega}$ este constant, adică:

$$\frac{d\bar{\omega}}{dt} = \frac{\partial \bar{\omega}}{\partial t} + \bar{\omega}_x \bar{\omega} = 0$$

Adică:

$$\frac{\partial \bar{\omega}}{\partial t} = 0$$

ceea ce înseamnă că $\bar{\omega}$ este constant și față de triedrul fix.

În felul acesta s-a pus în evidență o proprietate remarcabilă a solidului cu punct fix: invariabilitatea axei de rotație.

În cazul cînd $J_x = J_y = J$, ultima ecuație din (2.18) devine:

$$J_z \dot{\omega}_z = 0 \quad (2.19)$$

Adică:

$$\omega_z = \omega_{z0} = \text{ct} \quad (2.20)$$

Intrucît $\bar{M} = 0$ înseamnă că avem $\bar{K} = 0$, de unde concluzia că vectorul \bar{K} este constant și orientat invariabil.

În cazul cînd \bar{K}_o este orientat după axa O proiecțiile lui \bar{K}_o pe axele triedrului mobil sint:

$$\begin{aligned} -K_x &= J \omega_x = K_0 \sin\theta \sin\psi \\ K_y &= J \omega_y = K_0 \sin\theta \cos\psi \\ K_z &= J_z \cdot \omega_z = K_0 \cos\theta \\ \text{Notă: } \begin{cases} \dot{\theta} = 0 \\ \dot{\varphi} = 0 \Rightarrow \dot{\psi} = \omega_{oz} \end{cases} \end{aligned} \quad (2.21)$$

Introducind în ultima relație din (2.21) ecuația (2.20) se obține:

$$\cos\theta = \frac{J_z \omega_{zo}}{K_0} = \text{constant} \quad (2.22)$$

adică:

$$\theta = \theta_0 = \text{constant}$$

Ceea ce înseamnă că unghiul de nutație este constant. Cu aceasta, componentele lui $\vec{\omega}$ devin:

$$\begin{cases} \omega_x = \dot{\psi} \sin\theta_0 \sin\varphi \\ \omega_y = \dot{\psi} \sin\theta_0 \cos\varphi \\ \omega_z = \dot{\varphi} + \dot{\psi} \cos\theta_0 \end{cases} \quad (2.23)$$

Comparând ecuațiile (2.23) cu (2.21)

$$\begin{aligned} \frac{K_0}{J} \sin\theta_0 \sin\varphi &= \dot{\psi} \sin\theta_0 \sin\varphi \\ \frac{K_0}{J} \sin\theta_0 \cos\varphi &= \dot{\psi} \sin\theta_0 \cos\varphi \\ \frac{K_0}{J_z} \cos\theta_0 &= \dot{\varphi} + \dot{\psi} \cos\theta_0 \end{aligned} \quad (2.24)$$

Din prima relație:

$$\dot{\psi} = \frac{K_0}{J} = \text{constant} \quad (2.25)$$

Așadar, viteza unghiulară de precesie este constantă.

În continuare această viteză se va nota cu ω_1 .

Ecuația mișcării de precesie poate fi acum scrisă:

$$\psi(t) = \psi_0 + \omega_1 t \quad (2.26)$$

Tinând seama de (2.22), din relația (2.24) mai rezultă:

576592
763 F

$$\dot{\varphi} + \omega_1 \cos \theta_0 = \frac{K}{J_z} \cos \theta_0 \quad (2.27)$$

De unde se vede că

$$-\dot{\varphi} = \bar{\Omega} = \text{constant} \quad (2.28)$$

ceea ce înseamnă că viteza unghiulară de rotație proprie este constantă.

Ecuatia mișcării de rotație proprie va fi:

$$\varphi(t) = \varphi_0 + \bar{\Omega}t \quad (2.29)$$

In concluzie, în cazul Euler ($J_x = J_y = J$) solidul execută o mișcare de rotație proprie uniformă și o mișcare de precesie uniformă (unghiul de nătuție θ fiind constant). O astfel de mișcare se numește mișcare de precesie regulată.

Dacă $\bar{M} \neq 0$, mișcarea se numește precesie regulată constrinsă.

Problema inversă.

Mișcarea fiind caracterizată prin: $\theta = \theta_0 = \text{constant}$; $\dot{\varphi} = \bar{\Omega} = \text{constant}$; $\dot{\psi} = \omega_1 \neq \text{constant}$, se cere cuplul \bar{M}_0 sub a cărui acțiune solidul execută mișcarea dată (considerind $J_x = J_y = J$).

Fie triedrul $Ox_3y_3z_3$, (triedrul Resal), legat parțial de solid, în sensul că participă la toate mișcările afară

de mișcarea de rotație proprie. Triedrul O_{xyz} se rotește față de $Ox_1y_1z_1$ cu viteza unghiulară $\bar{\omega} = \bar{\Omega}_0 + \bar{\omega}_1$ (2.30)

Triedrul Resal $Ox_3y_3z_3$ se rotește față de triedrul fix cu viteza unghiulară

$$\bar{\omega}_1 = \bar{\omega} - \bar{\Omega} \quad (2.31)$$

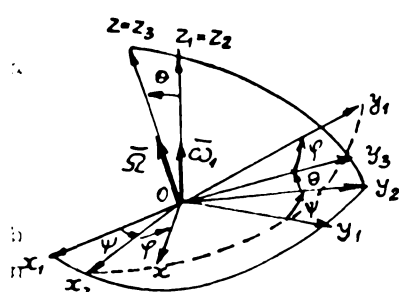


Figura nr. 24

Cum elipsoidul de inerție este o suprafață de revoluție în jurul axei $(Oz_1 - Oz_3)$ rezultă că: $J_{x_3} = J_{y_3} = J$ iar axele triedrului Resal sint și ele axe principale de inerție.

Vectorul \bar{K}_o va avea expresia:

$$\bar{K}_o = J_{x_3} \omega_{x_3} \bar{i}_3 + J_{y_3} \omega_{y_3} \bar{j}_3 + J_z \omega_{z_3} \bar{k}_3 \quad (2.32)$$

sau ținând cont că axele O_z și O_{z_3} coincid:

$$\bar{K}_o = J_{x_3} \omega_{x_3} \bar{i}_3 + J_{y_3} \omega_{y_3} \bar{j}_3 + J_z \omega_{z_3} \bar{k}_3$$

Proiectînd relația (2.33) pe axele triedrului Resal rezultă:

$$\omega_{x_3} = 0; \quad \omega_{y_3} = \omega_1 \sin \theta_o; \quad \omega_{z_3} = \Omega + \omega_1 \cos \theta_o \quad (2.34)$$

Expresia lui K_o devine:

$$\bar{K}_o = J \omega_1 \sin \theta_o \bar{j}_3 + J_z (\Omega + \omega_1 \cos \theta_o) \bar{k}_3 \quad (2.35)$$

Intrucît axele triedrului Resal se învîrtesc față de triedrul fix cu viteza unghiulară ω_1 derivata lui \bar{K}_o se scrie:

$$\frac{d\bar{K}_o}{dt} = \frac{\partial \bar{K}_o}{\partial t} + \bar{\omega}_1 \times \bar{K}_o \quad (2.36)$$

Tinând cont că $\theta = \theta_o = \text{constant}$; $\dot{\varphi} = \dot{\Omega} = \text{constant}$; $\dot{\psi} = \omega_1 = \text{constant}$ rezultă:

$$\frac{\partial \bar{K}_o}{\partial t} = 0 \quad (2.37)$$

Dar din teorema momentului cinetic:

$$\bar{M}_o = \bar{\omega}_1 \times \bar{K}_o \quad (2.38)$$

Introducînd expresia lui \bar{K}_o și $\bar{\omega}_1$:

$$\omega_1 = \omega_1 \sin \theta_o \bar{j}_3 + \omega_1 \cos \theta_o \bar{k}_3 \quad (2.39)$$

rezultă:

$$\bar{M}_o = [J_z (\Omega + \omega_1 \cos \theta_o) \omega_1 \sin \theta_o - J \omega_1^2 \sin \theta_o \cos \theta_o] \bar{i}_3 \quad (2.40)$$

Deci pentru a avea precesie regulată, trebuie să se aplique cuplul M_o după linia nodurilor.

Momentul acestui cuplu este:

$$M_o = J_z \Omega \omega_1 \sin \theta_0 (1 + \frac{J_z - J}{J} \frac{\omega_1 \cos \theta_0}{\Omega}) \quad (2.41)$$

Vectorial momentul se mai poate scrie:

$$\bar{M}_o = J_z \bar{\omega}_1 \times \bar{\Omega} (1 + \frac{J_z - J}{J} \times \frac{\omega_1 \cos \theta_0}{\Omega}) \quad (2.42)$$

$$\text{Dacă } (1 + \frac{J_z - J}{J} \frac{\omega_1 \cos \theta_0}{\Omega}) = 0, \text{ deci } \bar{M}_o = 0 \quad (2.43)$$

Regăsindu-se în acest fel rezultatul obținut de Euler cînd $J_x = J_y = J$.

În aplicații, unde de regulă $\Omega \gg \omega_1$, relația (2.42) se poate scrie:

$$\bar{M}_o \approx J_x \bar{\omega}_1 \times \bar{\Omega} = \bar{\omega}_1 \times \bar{M}_o \quad (2.44)$$

Invariabilitatea axei de rotație proprie

Fie un giroscop cu axa O_g orientată oricărui în spațiu, cu viteza unghiulară de rotație proprie.

Pentru a-și menține poziția e necesar ca $\bar{M}_g = 0$ adică $\bar{\omega}_1 = 0$. Presupunem că $\bar{\omega} = \bar{\Omega} + \bar{\omega}_1$ este deplasat puțin față de axa O_z și deci are componentele ω_x și ω_y după O_x și O_y . Întrucît $\bar{M}_o = 0$; $J_x = J_y = J$, ecuația Euler se scrie:

$$\begin{cases} J_x \dot{\omega}_x + (J_z - J) \omega_y \omega_z = 0 \\ J_y \dot{\omega}_y + (-J_z + J) \omega_z \omega_x = 0 \\ J_z \dot{\omega}_z = 0 \end{cases} \quad (2.45)$$

Din ultima ecuație rezultă $\omega_z = \omega_{z_0} = \text{constant}$, astfel că primele ecuații devin:

$$\begin{cases} \dot{\omega}_x + a \omega_y = 0 \\ \dot{\omega}_y - a \omega_x = 0 \end{cases} \quad (2.46)$$

unde:

$$a = \frac{J_z - J}{J}$$

Derivînd prima ecuație din (2.46) și ținînd cont de a doua rezultă:

$$\ddot{\omega}_y = a^2 \omega_x = 0$$

$$\ddot{\omega}_x + a^2 \omega_x = 0$$

și analog

$$\ddot{\omega}_y + a^2 \omega_y = 0 \quad (2.47)$$

Soluțiile acestor ecuații sunt:

$$\begin{cases} \omega_x = A \cos at - B \sin at \\ \omega_y = A \sin at + B \cos at \end{cases} \quad (2.48)$$

Din condițiile initiale:

$$\text{la } t = 0; \omega_x = \omega_{x_0} \text{ și } \omega_y = \omega_{y_0} \quad (2.49)$$

găsim valoarea constantelor și soluțiile devin:

$$\begin{cases} \omega_x = \omega_{x_0} \cos at - \omega_{y_0} \sin at \\ \omega_y = \omega_{y_0} \cos at + \omega_{x_0} \sin at \end{cases} \quad (2.50)$$

Adică, vitezele unghiulare ω_x și ω_y rămân în limitele valorilor initiale (mici).

Astfel a fost demonstrată stabilitatea axei de rotație proprie a giroscopului.

Mărimea a este o pulsărie, perioada oscilațiilor fiind:

$$T = \frac{2\pi}{a} = 2\pi \frac{J}{(J_z - J) \omega_{z_0}} \quad (2.51)$$

Ecuatiile lui Euler modificate

Ecuatiile giroscopului în raport cu triedrul Resal se numesc ecuațiile lui Euler modificate.

Rotatia triedrului Resal față de triedrul fix este:

$$\omega_1 = \dot{\alpha} \cos \beta \bar{i}_3 + \dot{\beta} \bar{j}_3 + \dot{\alpha} \sin \beta \bar{k}_3 \quad (2.52)$$

Momentul cinetic \bar{K}_0 , se exprimă:

$$\begin{aligned} \bar{K}_0 = & J \dot{\alpha} \cos \beta \bar{i}_3 + J \dot{\beta} \bar{j}_3 + \\ & + J_z (\Omega + \dot{\alpha} \sin \beta) \bar{k}_3 \end{aligned} \quad (2.53)$$

Exprimind cuplul \bar{M}_0 prin componente sale pe axele triedru-

ului Resal se obține:

$$\bar{M}_0 = M_x \bar{i}_3 + M_y \bar{j}_3 + M_z \bar{k}_3 \quad (2.54)$$

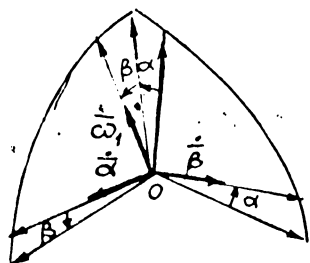


Figura nr. 2.5

Aplicînd teorema momentului cinetic, obțin ecuațiile:

$$\begin{cases} J\ddot{\alpha} \cos \beta - 2J\dot{\alpha}\dot{\beta} \sin \beta + J_z(\Omega + \dot{\alpha} \sin \beta)\dot{\beta} = M_{x_3} \\ J\ddot{\beta} + J\dot{\alpha}^2 \sin \beta \cos \beta - J_z(\Omega + \dot{\alpha} \sin \beta)\dot{\alpha} \cos \beta = M_{y_3} \\ J_z(\dot{\Omega} + \dot{\alpha} \dot{\beta} \cos \beta + \dot{\alpha} \sin \beta) = M_{z_3} \end{cases} \quad (2.55)$$

care se numesc ecuațiile lui Euler modificate.

In cazurile ingineresti unde α și β sunt mici, se poate luna:

$$\sin \alpha \approx \alpha, \sin \beta \approx \beta, \cos \alpha = \cos \beta \approx 1$$

La fel și $\dot{\alpha} \ll \Omega$, iar produsul $\dot{\alpha} \dot{\beta}$ se negligează ca infinit mic de ordin superior.

Cu aceste observații ecuațiile (2.55) devin:

$$\begin{cases} J\ddot{\alpha} + J_z\Omega\dot{\beta} = M_{x_3} \\ J\ddot{\beta} - J_z\Omega\dot{\alpha} = M_{y_3} \end{cases} \quad (2.56)$$

Cea de a treia ecuație descrie mișcarea după axa de rotație proprie Oz_3 ($M_{z_3} = 0$) și conduce la $\dot{\Omega} = 0$ sau $\Omega = \text{constant}$. In cazul $M_{y_3} = M_y = \text{constant}$; $M_{x_3} = 0$, și (pentru scopul suspendat în centrul de greutate), sistemul (2.56) devine:

$$\begin{cases} J\ddot{\alpha} + J_z\Omega\dot{\beta} = 0 \\ J\ddot{\beta} - J_z\Omega\dot{\alpha} = M_y \end{cases} \quad (2.57)$$

Derîvînd a doua ecuație și substituind-o în prima, se obține:

$$\ddot{\beta} + a^2\dot{\beta} = 0 \quad (2.58)$$

În următorul paragraf se arată că soluția ecuației (2.58) este pulsătînă oscilațiilor.

Ecuația carțieră elastică $r^3 + a^2r = 0$ admite rădăcinile $r_1 = 0$; $r_2 = i a$; $r_3 = -i a$.

Soluția ecuației (2.58) va fi de forma:

$$\dot{\beta} = A \cos at + B \sin at + C_3 \quad (2.66)$$

derivind de două ori (2.60) și substituind în (2.57) se obține:

$$\dot{\alpha} = \frac{M_y}{J_z \Omega} - \frac{J}{J_z \Omega} C_1 a^2 \cos at - \frac{J}{J_z \Omega} C_2 a^2 \sin at \quad (2.61)$$

înseamnă:

$$\ddot{\alpha} = - \frac{M_y}{J_z \Omega} t - C_1 \sin at - C_2 \cos at + C_4 \quad (2.62)$$

Punând condițiile initiale

$$\alpha(0) = \beta(0) = \dot{\alpha}(0) = \dot{\beta}(0) = 0 \quad (2.63)$$

ceea ce înseamnă că la momentul initial axa O_{z_3} coincide cu axa fixă O_{z_1} .

Rezultă pentru constantele de integrare valorile:

$$\begin{cases} C_2 = C_4 = 0 \\ C_3 = - C_1 = \frac{M_y}{a J_z \Omega} \end{cases} \quad (2.64)$$

Soluțiile devin:

$$\begin{cases} \alpha = - \frac{M_y}{J_z \Omega} t + \frac{JM_y}{(J_z \Omega)^2} \sin at \\ \beta = \frac{JM_y}{(J_z \Omega)^2} (1 - \cos at) \end{cases} \quad (2.65)$$

Analizând mișcarea se observă două componente: o mișcare de precesie cu viteza unghiulară $\dot{\alpha} = - M_y / J_z = \text{constant}$ și o mișcare oscilatorie, reprezentată prin termenii cu funcții trigonometrice, reprezentând mișcarea de nutație (în jurul axei momentului kinetic).

Amplitudinea mișcării osculatorii de precesie este:

$$\beta_{\max} = \frac{2JM_y}{(J_z \Omega)^2} \quad (2.66)$$

Traекторiile reprezintă cicloide pe o sferă. Mișcarea de nutație reprezintă oscilații de finală frecvență și mică amplitudine, de aceea în calculele ingineriei ea poate fi neglijată. În acest caz (denumit precesie pseudoregulată) ecuațiile de mișcare devin:

$$\begin{cases} J_z \dot{\Omega}_\beta = M_{x_3} \\ -J_z \dot{\Omega}_\alpha = M_{y_3} \end{cases} \quad (2.67)$$

Aceste ecuații se numesc ecuațiile de precesie ale giroscopului sau ecuațiile tehnice ale giroscopului și constituie un instrument pentru studiul funcționării giroscopelor clasice cu purtător de moment cinetic solid.

2.2. CONSIDERATII ASUPRA UTILIZARII APARARELOR GIROSCOPICE

2.2.1. Clasificarea aparatelor giroscopice

Clasificarea aparatelor giroscopice se poate face după diverse criterii.

a) Din punct de vedere constructiv, giroscopale se pot clasifica în:

- giroscopale clasice (convenționale);
- giroscopale neconvenționale.

Din familia giroscopelor clasice, fac parte aparattele care au un purtător de moment cinetic solid (rotor). Cu mici excepții această familie de giroscopale echipează în momentul de față întreaga aparatură de navigație inertială.

Cercetările din ultimele decenii dublate de noi posibilități tehnologice au condus la îmbunătățirea suspensiei astfel ca frecările să fie reduse la valori minime.

In acest sens au fost elaborate diverse soluții cum sunt: suspensia prin flotare, suspensia pe lagăre cu aer, suspensia cu ajutorul forțelor produse de cimpul electrostatic sau cel magnetic etc.

Din familia giroscopelor neconvenționale fac parte:

- giroscopale hidrodinamice;
- giroscopale vibratoare (girotroane);
- giroscopale M.H.D.;
- giroscopale cu laser;
- giroscopale criogenice (cu rezonanță magnetică).

Exceptând giroscopale hidrodinamice și M.H.D. care au un purtător de moment cinetic (lichid), celelalte tipuri de giroscopale necorelate sunt bazează pe rotor.

cu totul alte principii fizice.

Din această categorie de giroscoape au depășit faza testărilor de laborator doar giroscopul vibrator și giroscopul cu laser.

b) Din punct de vedere funcțional deosebim:

• - Aparate giroscopice poziționale - sau de memorare a unei direcții date. Ele utilizează proprietatea giroscopului liber de a-și menține neschimbată orientarea în spațiu a momentului cinetic.

Cum însă de regulă direcțiile de memorat sunt meridianul geografic și verticala locului care nu sunt fixe, ci se rotesc ca urmare a rotației pământului și a deplasării vechiului lui, rezultă că giroscopul liber nu este suficient, el trebuind să fie corectat (un corector pendular pentru girosoapele de verticală sau un traductor de cimp magnetic pentru cele de direcție).

→ Compasuri giroscopice

Sunt aparate la care axa de rotație are proprietatea de a se orienta în azimut ca urmare a deplasării centrului de masă față de punctul de suspensie. Aceste aparate nu au sistem de corecție.

→ Stabilizatoare giroscopice

Sunt de două tipuri: directe și indirecte.

La primele giroscopul servește ca element de forță care asigură stabilitatea unui dispozitiv de la bord.

La stabilizatoarele indirecte giroscopul servește numai ca traductor, semnalul oferit de acesta, amplificat, asigură prin servomotoare stabilizarea efectivă.

→ Girometre - servesc pentru măsurarea vitezei unghiulare. Acestea sunt larg utilizate în sistemele de comandă automată. Există girometre de tip P (girotahometre), girosoape de derivare (D), girosoape de integrare simplă și dublă (I , I^2) și cu funcții combinate: PD, PI, P.P.D. etc.

→ Girosoape integratoare de acceleratie liniară

Servesc la măsurarea vitezei liniare de mișcare a

centrului de masă al suportului. Un asemenea aparat constă dintr-un giroscop cu două grade de libertate care are inelul de suspensie interior cu centrul de masă deplasat.

- Relee giroscopice

Semnalul de ieșire oferit de giroscopul propriu-zis și utilizat de sistemul automat este un semnal logic cu două sau trei valori distincte.

- Giroscopă de comandă, giroaccelerometre etc.

2.2.2. Parametrii giroscopelor actuale

Directii de cercetare în vederea perfectionării aparaturii giroscopice

Semnalul de ieșire oferit de aparatura giroscopică ar trebui ca în cazul ideal să reprezinte fidel, fără distorsiuni de amplitudine și fază semnalul măsurat.

Existența frecările în lagările suspensiilor, dezechilibrările existente totuși și în cele mai perfectionate construcții, influența factorilor de natură dinamică - de neînlăturat - prin însăși principiul de funcționare al giroscopului, condițiile grele de funcționare (vibratiile în spectru întins de frecvență, cu amplitudini ale accelerării mergind pînă la 20 g, cîmpuri de temperaturi greu de controlat etc.), rigiditatea limitată a elementelor constructive, fac posibilă apariția unor erori în indicația aparatului giroscopic.

Pentru a face posibilă utilizarea aparatului în condițiile actuale se impun restricții severe asupra preciziei indicațiilor. Astfel în familia aparatelor de clasă inertială după [17] măsurarea vitezelor trebuie să se facă cu o precizie de ordinul 10^{-4} , ceea ce implică o precizie de ordinul 10^{-5} pentru multe componente ale aparatului.

După același autor, girometrele trebuie să satisfacă următoarele cerințe de precizie:

- deriva datorată cuplurilor aleatorii $< 0,3^\circ/h$;
- deriva datorată dezechilibrărilor $< 0,1^\circ/h/g$;
- deriva de anizoclasticitate $< 0,01^\circ/h/g^2$.

Pentru accelerometre se impun următoarele cerințe:

- incertitudine de zero $< 10^{-4}$ g;
- neliniaritate de scală $< 10^{-4}$ g.

Desigur, aceste condiții sunt mai puțin severe în cazul aparaturii de la bordul avioanelor, torpilelor, vehiculelor blindate etc.

Astfel, după [17] giroorizonturile perfectionate de tip AGD-1 oferă următoarele performanțe:

1) Precizia de stabilizare a axei giroscopului:

- pentru unghiurile de ruliu ... $0,25^\circ$;
- pentru unghiurile de tangaj ... $0,2^\circ$.

2) Eroarea de indicare a unghiului de ruliu - max. 3° (după executarea unui viraj de 360°).

3) Eroarea de transmitere la indicator a unghiurilor de ruliu și tangaj:

- la 0° 1° ;
- pînă la 30° $1,5^\circ$
- peste 30° $2,5^\circ$

4) Pragul de sensibilitate ... $< 0,3^\circ$.

Giroverticalul "Sperry" indică verticale locului cu o eroare de max. $15'$ [34].

Parametrii asemănători au și giroorizonturile AGB-1, AGB-2, AGB-3, AGI-1 etc.

După [17] parametrii unor girometre (fabricație în jurul anului 1970) sunt date în tabelul următor:

-	-	-	-
-	-	-	-
-	-	-	-

Tabel nr. 2.1

Tipul girometrelor	Domeniul de măsurare (o/s)	Pragul de sensibilitate (o/s)	Frecvența proprie f_o (Hz)	Coeficientul de amortizare	Gru-tatea Igr)
---(susp.hidro.)	± 30	0,06	25	$0,7 \pm 0,2$	566
FT.8 (hidrostatic)	1 rad/s	-	65	1,0	690
CN - 40 H	400	0,01	76	0,6	-
CN - 60 H	600	0,01	76	0,6	110
KEARFOTT					
T 2008-1A-10	10		12-23	$0,4-0,8$	730-770
T 2008-1A-29	29	0,023	17-20	0,4-1	730-770
T 2008-1A-90	90	0,09	33-38	$0,4-1,2$	730-770
T 2008-1A-111	114	-	37-41 ..	$0,8-1,2$	730-770

Caracteristicile unor accelerometre [17] sunt date în tabelul nr. 2.2

Tabelul nr. 2.2

Tipul accelerometrului	Pragul de sensibilitate (g)	Precizia (%)	Domeniul de măsurare (g)	Frecvența proprie (Hz)	Gru-tate (gr)
F-2401(pendular)	$5 \cdot 10^{-5}$	0,01	+20	180	113
LA-300 (liniar)	$1 \cdot 10^{-4}$	-	1-80	-	90
GG 56C (pendular)	$1 \cdot 10^{-4}$	0,05	± 10	90	180
A-141-02 (pendular)	$5 \cdot 10^{-5}$	0,01	± 15	-	200
A-200, A-300 (pendular)	$5 \cdot 10^{-5}$	0,01	± 20	-	74

Tabloul nr. 2.3

Tipul	Moment cinetic (gr.cm. s.)	Giromotor	Greutate (gr.)	Deriva (grad/h)			Putere electrica (W)
				a	g	g^2	
	102	-	220	-	0,5	-	2,5
GG 37	1.020	-	2.043	-	0,05	-	-
G1 - H5	30	Rulmenti	2.335	3	3,0	0,13	3
G1 - T1- B	1.800	Lagăre cu gaze	1.587	-	-	-	6

Se remarcă informațiile puține publicate de firmele constructoare. Faptul este explicabil având în vedere faptul că aparatura respectivă este utilizată preponderent în domeniul militar.

2.3. DIRECTII DE CERCETARE IN VEDEREA PERFECTIONARII APARATURII GIROSCOPICE

Deglăzii au dat rezultate bune, giroscopapele clasice prezintă totuși unele dezavantaje. Printre acestea enumerăm: siguranță mică de funcționare, condiții restrictive de funcționare, existența unor elemente mobile, persistența unor deviații etc. De aceea cercetările efectuate în scopul perfecționării giroscopelor s-au orientat în două direcții principale.

In primul rînd s-a urmărit perfecționarea giroscopelor clasice la care purtătorul de moment cinetic este un corp solid. In această privință s-a urmărit îmbunătățirea suspensiei astfel ca frecările să fie reduse la valori minime. Au fost elaborate diverse soluții cum sunt: suspensia prin flotare, suspensia cu ajutorul forțelor produse de cimpul electrostatic sau cel magnetic, suspensia pe lagăre, cu aer etc. Pe această cale deviația giroscopelor a putut fi micșorată pînă la cîteva miimi sau chiar pînă la zecimi de miimi de grad pe oră.

In al doilea rînd, cercetările au urmărit realizarea de giroscopă bazate pe principii noi la care purtătorul de moment cinetic nu mai este un solid în nicioare de

rotație. Eliminîndu-se piesele în mișcare, există toate premisele de a se obține giroscopale cu performanțe superioare care să poată fi întrebuințate în sistemele de navigație destinate misiunilor de lungă durată.

Din direcțiile de perfecționare a giroscopelor clasice enumerate anterior, vom examina pe rînd cîteva din cele mai importante, precum și realizările obținute.

Micorarea frecărîilor din lagăre

Frecarea reprezintă un fenomen nedorit în funcționarea giroscopelor. Astfel, la giroscopale integratoare de pe platformele de stabilizare (cu două grade de libertate) frecările din lagăre au ca urmare apariția unor momente reziduale, ceea ce înseamnă nesatisfacerea condiției $M=0$ necesară pentru invariabilitatea axei de rotație în spațiu. La girometre frecările din lagăre determină acțiunea unui cuplu de frecare după axa de ieșire, fapt care influențează negativ funcționarea aparatului.

O primă soluție a fost folosirea rulmenților activi de diferite tipuri.

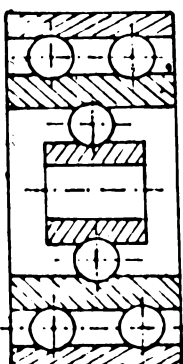


Figura nr. 2.7
de ani, printre primele cercetări menționate fiind în Germania în anul 1935 în legătură cu producerea rachetelor V₂ [78].

Valoarea momentului rezidual de frecare a putut fi redusă de 5-10 ori, obținîndu-se momente de 0,002 - 0,005 gr.cm/kg sarcină și deviații de ordinul cîtorva milimi de grad pe oră. Prezintă dezavantajul principal al unei durabilități reduse (cîteva sute de ore).

O altă soluție a fost găsită în utilizarea lubrificării cu gaze. Eforturi în această direcție au fost întreprinse încă acum 40

Astăzi numeroase firme sau întreprinderi din SUA, URSS, Anglia, Franța, Germania etc. produc în mod curent apăratură giroscopică pe lagăre lubrificate cu gaze pentru

diferite scopuri: nave cosmice, sateliți, rachete intercontinentale, avioane, vapoare, submarine etc. Cercetările și realizările în domeniul lubrificației cu gaze au fost conduse în trei direcții: o primă direcție a fost cea a realizării articulațiilor cardanice pe lagăre cu gaze; a doua a fost cea a realizării rotorului pe lagăre cu gaze, iar a treia este cea de a realiza în întregime giroscopul pe lagăre cu gaze. Detalii tehnologice, precum și unele informații asupra performanțelor acestor giroscroape sunt cuprinse în [17].

O soluție de perspectivă în domeniu se anunță cea a lagărelor magneto-aerodinamice.

Pentru a realiza ionizarea gazelor, se preconizează introducerea unor atomi de Cs, Na, K etc. în gazul lubrifiant (N_2 , Ar, He, H_2) putîndu-se obține conductibilități electrice de ordinul $0,1 \Omega^{-1} m^{-1}$. De asemenea, se poate realiza una din suprafete radioactivă pentru a mări gradul de ionizare și conductibilitatea gazului. Existând în momentul de față magneti permanenti puternici astfel încît în final să se poată obține numere Hartmann

$$H_a = B_0 h \sqrt{\frac{S}{\eta}} \quad (2.68)$$

de ordinul de mărime al unității. (h = jocul de lagăr, B_0 = inducția magnetică).

In acest fel capacitatea portantă a lagărului crește de cîteva ori putîndu-se înlocui alimentarea sub presiune a lagărului.

De asemenea, se încearcă realizarea unor lagăre cu forță de susținție pur magnetică reprezentate în figura nr.

2.8.

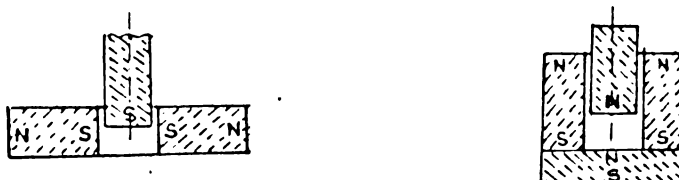


Figura nr. 2.8

In figura nr. 2.9 sunt reprezentate cîteva tipuri

constructive de lagăre cu aer.

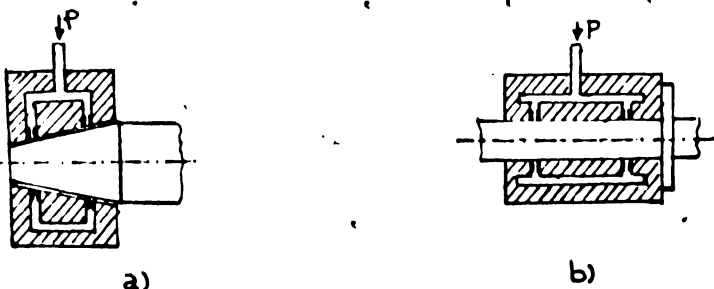


Figura nr. 2.8

In aceiasi directie se incearcă realizarea unor giroscopă cu sustenție electrostatică.

Cealaltă direcție de cercetare, care urmărește realizarea de giroscopă principal noi, a dus la realizarea de giroscopă cu sustenție electrostatică, criogenice, hidrodinamice, vibratoare, cu rezonanță magnetică, laser, MHD.

2.3.1. Giroscopul cu sustenție electrostatică

Cercetările din ultimii ani au condus la elaborarea mai multor soluții constructive pentru realizarea sustenției rotorului cu ajutorul forțelor electrostatice. În una dintre aceste variante giroscopul este compus dintr-un rotor sferic, confectionat din beriliu, plasat într-o cameră sferică având perete din material ceramic special. Pe suprafața interioară a camerei sferice se găsește un sistem de electrozi care, fiind sub tensiune, produc un cîmp electrostatic. Din interacțiunea acestui cîmp cu sfera metalică rezultă forțe electrostatice ce mențin rotorul perfect centrat în camera sferică. La deplasarea rotorului în interiorul camerei se modifică capacitatea dintre electrozi și sferă. Un sistem de reglaj automat comandă variația tensiunilor aplicate electrozilor, ceea ce are ca rezultat schimbarea forțelor electrostatice și deci restabilirea centrajului.

Punerea în funcțiune a rotorului se face cu ajutorul unui cîmp magnetic invărtitor produs de o înfășurare bifazată sau trifazată, alimentată cu un sistem de curenti de frecvență ridicată. În camera rotorului se stabilește un vid foarte înaintat, de ordinul 10^{-8} mm Hg, din care cauză,

practic, frecările lipsesc iar rotorul, o dată pus în mișcare, se rotește în virtutea inertiei timp de cîteva săptămâni, asigurînd o precizie foarte bună.

Cu toate că acest tip de giroscop are deviații foarte mici și nu necesită temperaturi criogenice, el este totuși dificil de fabricat și de pus în funcțiune. Astfel, toleranțele de sfericitate ale rotorului și ale centrajului sunt extrem de strînse. Totodată, pentru realizarea sustenției este necesar să se aplique tensiuni foarte mari între electrozi și rotor. De obicei, se lucrează cu tensiuni în jur de 5.000 V, iar distanța dintre electrozi și rotor este de numai 0,1 mm. Rezultă astăzi un cîmp electric cu o intensitate de 50 kV/mm, din care cauză apar fenomene de ionizare și descărcări electrice greu de evitat.

Indicațiile giroscopului se citesc cu ajutorul unor apărate optice, prin observarea poziției rotorului sferic.

Aparatele realizate pînă în prezent sunt caracterizate prin deviații de ordinul unei milii de grad pe oră. Există perspectiva de a se asigura deviații de numai o zece-miile de grad pe oră, ceea ce ar satisface cele mai exigente cerințe privind întrebunțarea lor la automatele de navigație inertială.

2.3.2. Giroscopul cu susținție magnetică

Spre deosebire de giroscopul cu levitație electrostatică în acest caz susținția se realizează cu ajutorul cîmpului magnetic. Fiind menținut la temperaturi foarte joase, rotorul devine supraconductor. În această stare el nu mai este străbătut de cîmpul magnetic, iar ca urmare a interacțiunii dintre cîmp și masa metalică rezultă forțe de susținție care echilibrează greutatea proprie. Fenomenul se prezintă ca și cum ar pluti rotorul în cîmpul magnetic.

Intrucît funcționează la temperaturi foarte joase (sub 18°K) acest aparat este cunoscut și sub denumirea de giroscop criogenic.

Giroscopul cu susținție magnetică este compus dintr-o sferă masivă din titan, avînd la suprafață un strat

subțire de niobiu, introdusă într-o cameră sferică ermetică, care se videază pînă la 10^{-6} - 10^{-7} mm Hg. Pe stator (camera sferică) se găsesc trei perechi de bobine orientate după trei axe reciproc perpendiculare, care realizează levitația magnetică. Pe lîngă aceste bobine, giroscopul mai are încă o infăsurare ce funcționează numai la pornire și care produce cîmpul invîrtitor necesar lansării sferei în mișcare de rotație.

Giroscopul astfel constituit se introduce într-un criostat răcit cu heliu la temperatura de aproximativ 4°K , la care toate bobinile, precum și stratul de niobiu de pe rotor sunt aduse în stare de supraconductivitate.

Realizarea practică a acestui tip de giroscop implică o serie de dificultăți. Dintre acestea menționăm faptul că abaterea de sfericitate și descentrarea rotorului trebuie să aibă valori foarte mici. Pe de altă parte, necesitatea unei instalații criogeneice în apropierea giroscopului complică mult construcția acestuia. O altă dificultate constă în aceea că, pentru a nu fi necesare cîmpuri magnetice intense, greutatea rotorului este limitată la valori mici. Această condiție este impusă de faptul că starea de supraconductibilitate dispare dacă intensitatea cîmpului magnetic depășește agă-numita valoare critică.

2.3.3. Giroscopul hidrodinamic

Caracteristic tuturor tipurilor de giroscope descrise pînă aici este faptul că în compunerea lor intră un corp solid cu mișcare de rotație (rotorul). În ultimul timp au fost realizate giroscope la care purtătorul de moment cinetic este un fluid.

În figura 2.10 este prezentat schematic un giroscop hidrodinamic. Cilindrul 1 are în interiorul său o cavitate sferică, 2, umplută cu un lichid de mare densitate. Acest ansamblu este antrenat într-o mișcare de rotație în jurul axei cilindrului, cu viteza unghiulară Ω . Lichidul comunică cu un traductor de presiune diferențial 4, prin două conducte, 3, situate într-un plan, ce conține axa rotorului, pe care o intersectează sub unghiuri de 45° . Cînd viteza instantanea de rotație este orientată după axa cilindrului presiunile culese la cele două orificii ale conductelor 3

sînt egale, iar traductorul 4, nu emite nici un semnal. Să presupunem că viteza instantaneă de rotație are o componentă ω_1 după o direcție perpendiculară pe axa cilindrului.

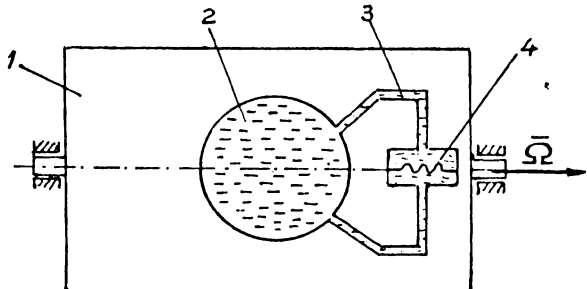


Figura nr. 2.10

In baza celor arătate anterior axa de rotație a lichidului se menține orientată invariabil în spațiu și, ca urmare, va forma un unghi anumit cu axa cilindrului. Din punctul acesta de vedere orificiile 3 captează presiuni diferite, ce variază periodic în timp. Traductorul 4 măsoară o diferență de presiune variabilă, a cărui amplitudine și fază depind de rotația ω_1 . Dispozitivul poate fi utilizat atât ca girometru. Se apreciază că deviațiile giroscopului hidrodinamic vor putea fi micșorate pînă la 0,01 grade pe oră.

2.3.4. Giroscopul vibrator

In afara de giroscopul clasic cu un grad de libertate se pot utiliza ca girometre și alte dispozitive, în care rotul rotorului revine unui corp ce are o mișcare oscilatorie. Deși acest tip de aparat nu reprezintă efectiv un giroscop, el este întîlnit în literatura științifică sub denumirea de giroscop vibrator sau girotron. Lipsa inelului de suspensie și a lagărcelor conferă giroscopului vibrator o serie de calități constructive și funktionale.

Intr-o formă simplificată, giroscopul vibrator este compus dintr-un diapazon fixat pe o platformă rigidă, 1, cu ajutorul unei bare elastice, 2. Brațele diapazonului, 3, sînt antrenate fiecare într-o mișcare oscilatorie în anti-fază, cu pulsăția ω , așa cum se arată în figură. La apariția unei rotații Ω_0 , în jurul axei Ox a diapazonului,

asupra fiecărui punct al brațelor acestuia vor acționa forțe de inertie Cariolis. Se înțelege că, întrucât mișcarea unui braț se execută în sens opus mișcării celuilalt, forțele Cariolis ce acționează asupra punctelor simetrice de pe cele două brațe sunt egale și opuse ca sens. Cuplul forțelor de inertie Cariolis, corespunzător tuturor punctelor celor două brațe, trebuie să răsucească diapazonul în jurul axei Ox, torsionând bara de legătură cu platforma. Această răsucire este cu atât mai intensă, cu cât viteza unghiulară este mai mare. Așadar viteza unghiulară poate fi determinată prin analiza răsucirii barei elastice a diapazonului.

In schemă brațele diapazonului sunt înlocuite cu două puncte materiale de masă $M_0/2$ legate de suport prin două tije elastice de masă neglijabilă. Notăm cu R distanța instanțanei a unui din puncte față de axa Ox. Datorită vibrației diapazonului se poate scrie că:

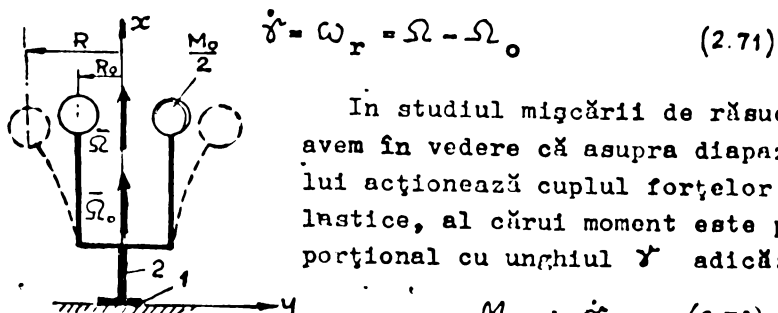
$$R = R_0 + \Delta R \sin \omega_0 t, \quad (2.69)$$

în care R_0 este distanța corespunzătoare poziției de repaos a tijelor, ΔR - amplitudinea, iar ω_0 - pulsulația oscilațiilor brațelor diapazonului în planul xOy .

Notăm cu Ω viteza unghiulară a răsucirii diapazonului în jurul axei Ox; viteza relativă a acestuia față de platformă pe care este montat va fi:

$$\omega_r = \Omega - \Omega_0 \quad (2.70)$$

Corespunzător acestei mișcări relative, diapazonul este răsucit la un moment dat cu unghiul γ astfel că:



In studiul mișcării de răsucire avem în vedere că asupra diapazonului acționează cuplul forțelor elastice, al cărui moment este proporțional cu unghiul γ adică:

$$M_e = k_1 \dot{\gamma} \quad (2.72)$$

Figura nr. 2.11

precum și un cuplu de amortizare, al cărui moment poate fi exprimat prin:

$$M_a = -k_2 \ddot{\gamma} \quad (2.73)$$

Aplicînd teorema momentului cinetic, se obține:

$$\frac{d}{dt}(M_o R^2 \Omega) = M_e + M_a \quad (2.74)$$

sau ținînd seama de expresiile (2.73) și (2.74)

$$M_o R^2 \dot{\Omega} + 2 M_o R R \dot{\Omega} + k_2 \dot{\gamma} + k_1 \gamma = 0 \quad (2.75)$$

Se observă că:

$$\dot{\Omega} = \ddot{\gamma} \quad (2.76)$$

avem:

$$\dot{R} = \omega_o \cdot \Delta R \cos \omega_o t \quad (2.77)$$

Cu aceste rezultate ecuația devine:

$$\begin{aligned} M_o (R_o \dot{\Omega} + \Delta R \sin \omega_o t)^2 \ddot{\gamma} + (k_2 + 2M_o R_o \omega_o \Delta R \cos \omega_o t + \\ + 2M_o \omega_o \Delta R^2 \sin \omega_o t \cos \omega_o t) \dot{\gamma} + k_1 \gamma = \\ = -2M_o (R_o + \Delta R \sin \omega_o t) \omega_o \dot{\Omega} \Delta R \cos \omega_o t \end{aligned} \quad (2.78)$$

Să arătăm că $\Delta R \ll R_o$ și $\omega_r \ll \omega_o$ astfel că, neglijînd termenii mici din (2.78) se obține:

$$M_o R_o^2 \ddot{\gamma} \ddot{\gamma} + k_2 \dot{\gamma} + k_1 \gamma = -2M_o R_o \omega_o \dot{\Omega} \Delta R \cos \omega_o t$$

sau

$$\ddot{\gamma} + 2\zeta \omega_1 \dot{\gamma} + \omega_1^2 \gamma = -2 \frac{\Delta R}{R_o} \dot{\Omega} \omega_o \cos \omega_o t \quad (2.79)$$

în care s-au introdus notațiile:

$$\left\{ \begin{array}{l} \frac{k_1}{M_o R_o^2} = \omega_1^2 \\ \frac{1}{2} \frac{k_2}{R_o \sqrt{M_o k_1}} = \zeta \end{array} \right. \quad (2.80)$$

De regulă, parametrii constructivi M_o , R_o și k_1 se aleg astfel încît pulsăția oscilațiilor de torsiune, ω_1 să fie egală cu pulsăția ω_o a oscilațiilor diapazonului adică:

$$\omega_1 = \omega_o = \sqrt{\frac{k_1}{M_o R_o^2}} \quad (2.81)$$

relație care reprezintă condiția de rezonanță.

Soluția ecuației diferențiale în cazul cind $\omega_1 = \omega_0$ este:

$$\ddot{\theta} = -\omega_0^2 \xi^2 (A \cos \omega_2 t + B \sin \omega_2 t) - \frac{\Delta R}{R} \frac{\Omega_0}{\omega_0 \xi} \sin \omega_0 t \quad (2.82)$$

în care

$$\omega_2 = \omega_0 \sqrt{1 - \xi^2} \quad (2.83)$$

iar A și B sunt constante de integrare; s-a considerat că $\xi < 1$.

Intrucit ω_0 are o valoare mare, termenul $\exp(-\omega_0^2 t)$ tinde foarte repede către zero, astfel că în analiza oscilațiilor de torsion se poate considera doar expresia:

$$\ddot{\theta} \approx -\frac{\Delta R}{R} \frac{\Omega_0}{\omega_0 \xi} \sin \omega_0 t \quad (2.84)$$

După cum se observă din (2.84) amplitudinea oscilațiilor este proporțională cu viteza unghiulară Ω_0 în jurul axei de intrare Ox. Prin urmare, pentru a obține informații asupra rotației platformei, Ω_0 în jurul axei Ox este suficient să se măsoare amplitudinea oscilațiilor ΔR . În acest scop se utilizează diferite tipuri de traductoare electrice montate pe diapazon și instrumente indicatoare pentru afișarea valorii măsurate a vitezei de rotație Ω_0 .

Giroscopapele vibratoare se întâlnesc în tehnică sub diferite variante constructive []. Utilizarea acestora la unele sisteme de navigație a fost determinată de o serie de calități, printre care menționăm: simplitatea constructivă, rezistența mare la suprasarcini, stabilitatea și greutatea extrem de reduse, finală siguranță în funcționare, timpul inițial scurt de pornire și consumul redus de energie electrică.

2.3.5. Giroscopape cu rezonanță magnetică

Proprietățile giromagnetice ale particulelor elementare sunt aplicate în funcționarea unor apărate cu destinații diverse, printre care se numără și cele cu caracteristici similară giroscopelor. Se are în vedere faptul că rotindu-se în jurul nucleului peste orbite ferme, aceste

particule sunt echivalente, din punct de vedere mecanic, cu un giroscop elementar de moment cinetic ΔK , iar din punct de vedere magnetic, cu o buclă de curent, de moment magnetic, $\Delta \bar{m}$. Între aceste două mărimi există relația:

$$\Delta \bar{m} = \gamma \Delta \bar{K}, \quad (2.85)$$

unde γ este așa numitul raport giromagnetic care, în funcție de natura substanțelor, poate fi pozitiv, negativ sau nul.

Aplicarea în giroscopie a proprietăților și omogeneitățile ale substanțelor prezintă două aspecte. Astfel se poate pune problema realizării unui giroscop care să "emoreze" o direcție fixă în spațiu, întocmai ca giroscopul liber. În acest scop se folosește un eșantion de volum determinat, cuprindând un număr de $10^{12} - 10^{22}$ atomi dintr-un lichid sau gaz având proprietăți paramagnetice; substanța se magnetizează cu ajutorul unui cîmp exterior, al cărui vector \vec{B} (inducția magnetică) servește ca direcție de referință, vectorul magnetizației \vec{M} , precum și vectorii \vec{K} fiind orientați după direcția lui \vec{B} . Dacă se suprimă apoi orice cîmp magnetic exterior care ar putea perturba orientarea dată particulelor, vectorul magnetizației își conservă orientarea inițială, indiferent de rotațiile pe care le execută eșantionul. Variatia modulului acestui vector în raport cu timpul este dată de relația:

$$M = M_0 \exp(-t/\tau) \quad (2.86)$$

în care τ reprezintă timpul de relaxație. Cu cît acest timp este mai lung cu atît magnetizația durează mai mult. Timpul de relaxație depinde atât de natura materialului paramagnetic folosit, cât și de agitația moleculară, adică de temperatură. Cu scăderea temperaturii τ crește, astfel că la temperatura heliului lichid (aproximativ 4°K) timpul de relaxare poate fi, pentru unele materiale de cîteva ore.

Agadar, pentru a realiza un giroscop cu rezonanță magnetică este necesar să fie rezolvate următoarele probleme fundamentale:

- obținerea unei magnetizații M într-o substanță dată, având o orientare de referință cunoscută;
 - suprimerarea totală a oricărui câmp magnetic exterior, folosindu-se în acest scop ecrane supraconductoare;
 - obținerea unui timp de relaxație cât mai lung;
 - detectarea direcției memorate de către vectorul M .
- Condițiile menționate ridică o serie de dificultăți în realizarea practică a acestui tip de giroscop.

Proprietățile particulelor elementare pot fi utilizate și pentru realizarea unor giroscope de viteză. În acest sens au fost experimentate două tipuri de girometre: cu variație de frecvență Larmor sau cu inducție nucleară [6].

Giroscopale cu rezonanță magnetică prezintă avantajul eliminării oricărei piese în mișcare și deci a cauzelor care produc deviații. Datorită acestui fapt ele constituie obiectul a numeroase cercetări teoretice și experimentale.

2.3.6. Giometrul cu laser

Emissiunea de lumină coerentă se situează printre fenomene fizice aplicate cel mai recent la realizarea de giroscopale lipsite de piese mecanice în mișcare. Cercetările experimentale au început în anul 1962, iar primele apariții destinate explorației au fost realizate în anul 1966.

Să considerăm un contur plan, de arie A și lungime l_1 , antrenat în mișcare de rotație cu viteza unghiulară ω după o axă perpendiculară pe planul său. Presupunem că acest contur este parcurs de o rază de lumină coerentă în sensul mișcării lui de rotație. Se demonstrează că distanța l'_1 parcursă efectiv de lumină poate fi calculată cu formula:

$$l'_1 = l_1 + 2A \frac{\omega}{c} \quad (2.87)$$

în care c este viteza luminii.

Dacă raza de lumină se propagă în sens contrar direcției, distanța efectiv parcursă de lumină este:

$$l'_2 = l_2 - 2A \frac{\omega}{c}$$

Lungimea l_1' este parcursă în timpul t_1 , iar lungimea l_2' în timpul t_2 , adică:

$$\left\{ \begin{array}{l} t_1 = \frac{l_1'}{c} \\ t_2 = \frac{l_2'}{c} \end{array} \right. \quad (2.89)$$

Dacă cele două raze de lumină se propagă simultan, diferența duratelor de parcurs este dată de:

$$\Delta t = t_1 - t_2 = \frac{4A\Omega}{c^2} \quad (2.90)$$

Intrucit frecvența celor două surse de lumină este aceiași diferența Δt traduce printr-o diferență, Δf , a frecvențelor cu care se recepționează cele două raze de lumină, exprimată prin relația:

$$f = \frac{4A\Omega}{1\lambda} \quad (2.91)$$

în care λ este lungimea de undă a luminii emise.

Din relația de mai sus se observă că viteza unghiulară poate fi obținută prin măsurarea diferenței de frecvență Δf .

Pentru a realiza practic un contur parcurs în ambele sensuri de cîte o rază de lumină se poate folosi dispozitivul reprezentat mai jos, constituit din trei oglinzi - ce formeză între ele unghiuri de 60° și dintr-un laser cu zmeu, ale cărui capete de emisie formează două surse luminoase sincrone.

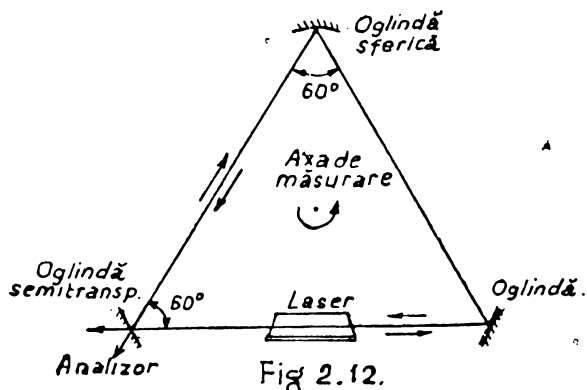


Fig 2.12.

In cavitatea rezonantă astfel formată undele progressive se propagă în ambele sensuri. Dacă dispozitivul este rotit cu viteza unghiulară Ω se detectează un semnal Δf a cărui valoare depinde și de lungimea de undă .

Măsurarea diferenței de frecvență Δf se poate efectua captind cele două fascicule de laser pe un tub fotomultiplicator, acesta furnizează un curent electric modulat cu frecvența Δf .

Girometrul cu laser, fiind lipsit de piese mecanice în mișcare, prezintă o serie de avantaje importante.

Astfel, intrucât momentele cuplurilor perturbatoare (de frecare și de descentrare) sunt nule, girometrelor cu laser nu au deviații și ca urmare precizia lor este superioară celei oferite de girometrele clasice. Pe de altă parte punerea în funcțiune a girometrului cu laser se poate face practic instantaneu în timp ce dispozitivele clasice reclamă un timp oarecare pentru obținerea turării nominale a rotorului. În plus, acest nou tip de giroscop are o construcție compactă, foarte rigidă iar funcționarea sa nu este influențată de accelerării.

Gama de măsurare a girometrului cu laser este foarte largă; unele aparate realizate recent măsoară viteză de rotație cuprinse între 0,1 grade pe oră pînă la 1200 grade pe oră; fără a-și pierde liniaritatea. Sensibilitatea acestor giroscope este comparabilă cu a celor mai perfectionate aparate clasice (10^{-3} grade pe oră).

Este de remarcat că girometrul cu laser poate furniza mărimea măsurată sub formă numerică, astfel încît poate fi couplat direct la calculatoarele numerice ale sistemului de navigație.

Dintre neajunsurile giroscopului cu laser menționăm că el nu poate detecta nici valoarea unghiului de rotație și nici sensul mișcării; primul neajuns este eliminat dacă se couplează ieșirea girometrului la un circuit de integrare. Pentru valori ale vitezei unghiulare sub un prag, de ordinul a 100 grade pe oră, în funcționarea girometrului cu laser apare un blocaj, care constă în dispariția frecvenței Δf .

fenomenul se datorenă retrodifuziei celor două fascicule laser ce se propagă în sensuri opuse. Pentru a coborî nivelul pragului de blocaj s-au propus mai multe soluții, cum săint: limitarea retrodifuziunii prin diminuarea influenței reciproce dintre cele două fascicule, reducerea cuplajului, prin mărîră suprafetei conturului și a diametrului fasciculului și.a.

Sfera cercetărilor întreprinse pentru realizarea unor noi tipuri de giroscopăe cuprinde și alte fenomene fizice.

Trebuie să menționăm că giroscopale neclasicice, deși se găsesc încă în faza cercetărilor de laborator, deschid perspective noi în domeniul construcției aparatelor de măsură.

Cap.3 GIROSCOPUL M.H.D.

3.1. CONSIDERATII GENERALE

Pentru înălțarea unor neajunsuri ale giroscopelor convenționale au fost întreprinse cercetări (17,71,76) care urmăresc înlocuirea purtătorului de moment cinetic solid cu un purtător constituit dintr-un lichid greu electroconductor. Pentru a justifica aceasta este suficient să amintim cîteva din neajunsurile giroscopelor clasice.

Neechilibrările elementelor constitutive (rotor, insole) ale giroscopului conventional reprezintă une din sursele principale de erori. Ori cît de precise ar fi tehnologiiile de fabricație - nestabilitatea materialelor, uzura rulmenților, modificarea grosimii stratului de lubrifiant, gradienții de temperatură, propagarea neuniformă a căldurii etc. - conduc la apariția unor dezechilibrări. Înălțarea acestor cauze este greu de făcut, necesită cercetări îndelungate, experimentări, prelucrări mecanice de înaltă precizie.

Prin utilizarea unui lichid greu, electroconductor (Hg) care umple un volum dat, masa rotitoare constituită de fluid este prin definiție echilibrată.

De asemenea, avînd în vedere densitatea mare a mercurului la același gabarit se poate reduce turăția, păstrând constantă valoarea momentului cinetic K. Nu se impun condiții de precizie deosebită a recipientului, iar modificarea formei în timp nu influențează asupra echilibrării.

De importanță majoră este omogenitatea lichidului și legăt de aceasta - modul de transmitere al căldurii mai ales în direcția axială (51.).

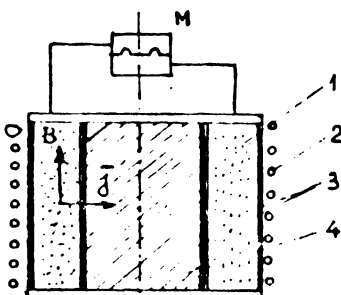
Antrenarea mercurului în mișcare de rotație se face prin acțiunea cîmpului magnetic și electric asupra sa. Distribuția spațială a cîmpului nu trebuie să permită apariția unor circulații locale ce ar conduce la distribuții neuniforme de temperatură și deci la dezechilibrări.

3.1.1. Construcția giroscopului MHD

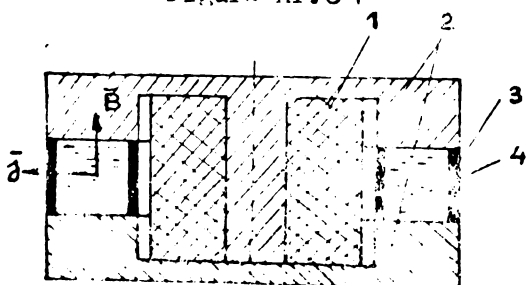
Principial, construcția giroscopului MHD este posib -
lă într-o multitudine de forme avind în vedere modul de rea-
lizare al antrenării.

Astfel se pot deosebi giroscope MHD cu alimentare
în curent continuu și în curent alternativ.

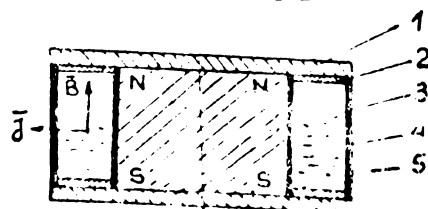
Mai jos sunt date cîteva tipuri posibile de giros-
cope MHD cu antrenare în cc [72].



1-mercur; 2 -inductor; 3-electrozi; 4-miez magnetic
Figura nr.3.1



1-bobinaj; 2-piese polare; 3-electrozi; 4-mercur
Figura nr. 3.2



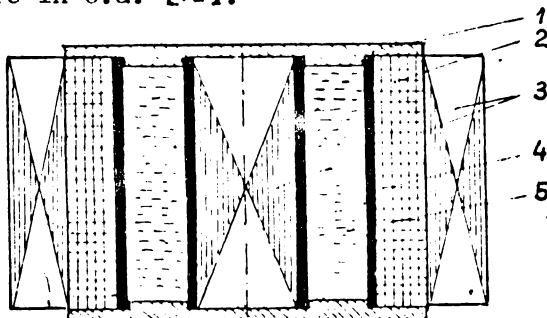
1-piese polară; 2-capac izolator; 3-magnet; 4-mercu

Figura nr. 3.3

Apariția în ultima perioadă de timp a unor magneti permanenti puternici (3 - 5000 Gs.) care se fabrică și în țară face posibilă realizarea unei soluții asemănătoare cu cea de la [92] cu rezultate promițătoare.

Antrenarea în c.a. a purtătorului de moment cinetic este atrăgătoare din punct de vedere al turăilor ce se pot obține, dar necesită un generator trifazic cu frecvență ridicată. De asemenea apariția efectului pelicular conduce la necesitatea micșorării lățimii canalului. Această are ca efect pozitiv scăderea amortizării cîmpului dar, și scăderea numărului Re deci o situație a surgerii în zona laminară, ceea ce conduce la o disipare mai mare de energie ca urmare a creșterii coeficientului de pierderi linare. O soluție de perspectivă ar consta în obținerea unor amalgame ale metalelor cu proprietăți fero magnetice, care ar putea avea și proprietăți magnetice corespunzătoare.

Mai jos sunt date cîteva variante de giroscopie NIL cu antrenare în c.a. [72].



1 - capac; 2 - inductor; 3 - armături; 4 - canal; 5 - mercur
Figura nr. 3.4

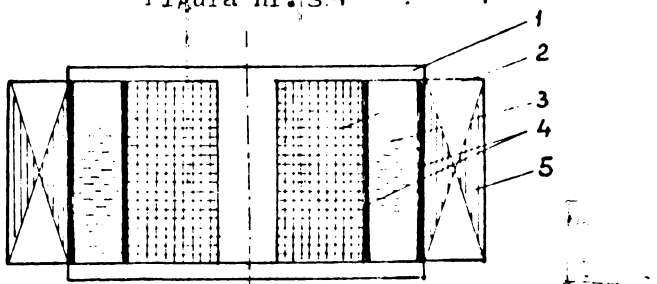
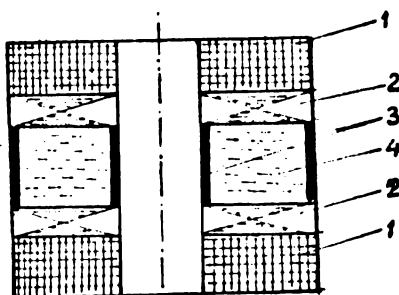


Figura nr. 3.5

1 - capac; 2 - inductor; 3 - mercur; 4 - canal; 5 - armături



1 - inductor; 2 - armături; 3 - canal; 4 - mercur

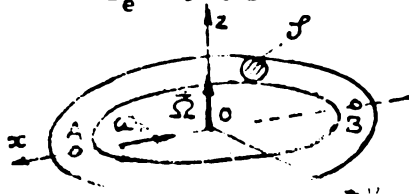
Figura nr. 3.6

Particularitățile de construcție și de funcționare ale giroscopului MHD, impun utilizarea unor materiale cu proprietăți adecvate. Astfel, pentru realizarea pieselor polure săt necesare materiale magnetice speciale (miumetal, permaloy etc.) pentru confectionarea corelărilor permanență puternici se utilizează ferite speciale cu cantitățile de oxizi de bariu și stronțiu, pentru confectionarea electrozilor săt necesare materiale cu conductivitate electrică și termică bună și cu proprietăți magnetice (oteluri și aliaje speciale). Nici unul dintre aceste materiale nu pune înăuntrul probleme speciale. ele producindu-se în formă de aneluri materialele electrotehnice și componentele electronice necesare convertizorului se produc în țară.

3.1.2. PRINCIPIUL DE FUNCȚIONARE AL GIROSCOPULUI MHD

Prințipial, giroscopul MHD constă dintr-o masă cu o anel electroconductor de formă toroidală sau înelară, întrenat într-o mișcare de rotație proprie cu vînt la unghiul α (figura nr. 3.7). Antrenarea se face prin intermediul unei forțe ponderomotorie a naturii electrică:

$$\mathbf{f}_e = \mathbf{j} \times \mathbf{B} \quad (3.1)$$



La apariția unei viteze unghiulare a suportului (vasul care conține fluidul electroconductor) după o axă de sensibilitate (ω_x) va apărea un moment giroscopic:

$$\bar{M}_g = J_z \cdot \bar{\Omega} \times \bar{\omega}_x \quad (3.2)$$

Prezent fizic, printr-o distribuție de presiuni corespunzătoare ce acționează asupra peretilor vasului și având punctele de extrem dispuse pe un diametru paralel cu axa de sensibilitate, adică punctele A, B de pe axa O_x. Mărimea de ieșire ΔP_{AB} se preleveză și se transformă în semnal electric prelucrat apoi în calculatorul de bord. Schematic, situația se prezintă ca în figura nr. (3.8).

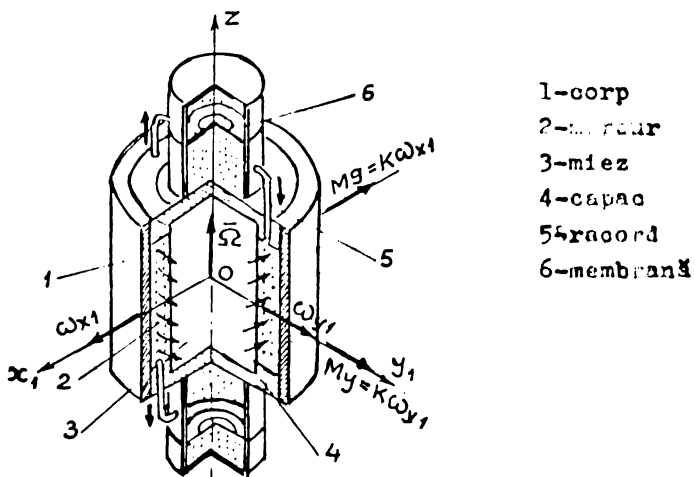


Figura nr. 3.8

Se observă că datorită simetriei și axa O_y poate deveni axă de sensibilitate, mărimea de ieșire prelevindu-se din punctele A'B'.

Dacă diferența de presiune Δp este aplicată pe fețele unei membrane, deformația acesteia

$$\Delta h = K M_g \quad (3.3)$$

unde K este un coeficient de proporționalitate depinzind de construcția membranei.

Dar, cum $M_g = (J_z \bar{\Omega}) \omega_x$ rezultă că:

$$\Delta h = A \cdot U_e = K(J_z \bar{\Omega}) \omega_x$$

sau

$$U_e = B \omega_x \quad (3.4)$$

Este evident că aparatul îndeplinește oficiul de girometru cu două axe de sensibilitate.

Dacă în locul membranei la cele două puncte de măsură A, B se conectează un cilindru cu piston (figura nr. 3.9) atunci pistonul se va deplasa cu viteza $\Delta h = a \omega_x$. Spatiul

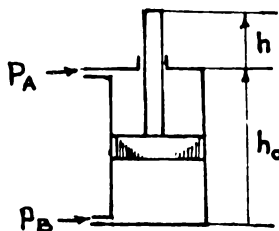


Figura nr. 3.9
parcurs de tija pistonului va fi:

$$h = h_o + a \int_0^t \omega_x dt \quad (3.5)$$

Deci aparatul funcționează ca giroscop integrator, mărimea de ieșire electrică fiind:

$$U_e = C \int_0^t \omega_x dt \quad (3.6)$$

3.2. MATERIALE UTILIZATE IN CONSTRUCTIA GIROSCOPULUI MHD

3.2.1. FLUIDE DE LUCRU

Tinând cont de expresia termenului care exprimă forța de natură electrică ce antrenează fluidul în mișcare de rotație

$$\vec{F} = \vec{J} \times \vec{B} \quad (3.7)$$

precum și de faptul că este de dorit un giroscop cu moment kinetic mare

$$\bar{K} = J_z \bar{\Omega} \quad (3.8)$$

condițiile care se impun fluidului de lucru sunt următoarele:

- Deoarece

$$K = J_z \Omega = 2 \pi R_m^3 \sigma L \cdot \Omega \quad (3.9)$$

pentru un giroscop cu rotor inelar (figura nr. 3.8) și întrucât mărimile geometrice sunt limitate de considerente pe care le vom analiza ulterior, este necesar ca fluidul să aibă greutatea specifică γ cît mai mare și să permită imprimarea unei viteze de rotație proprie cît mai mari.

Lucrul mecanic mare, necesar antrenării va putea fi produs asupra unui fluid care acceptă forțe de natură electrică mari

$$\bar{f} = \bar{j} \times \bar{B} = \text{max}$$

Deoarece valorile inducției practic realizabile sunt limitate, fluidul va trebui să permită trecerea unor curenți importanți.

Din legea lui Ohm sub formă locală

$$\bar{j} = \sigma (\bar{E} + \bar{v} \times \bar{B}) \quad (3.10)$$

rezultă necesitatea unui fluid cu conductivitatea σ mare.

De asemenea, este nevoie ca încălzirea produsă prin frecarea fluidului de pereti să fie minimă. De aici necesitatea unui fluid cu viscozitate dinamică η mică.

In ultima vreme și-a făcut apariția o clasă nouă de fluide înzestrate cu proprietăți magnotice-ferofluidele.

Ferofluidele sunt dispersii coloidale ale unor particule magnetice subdomenice, având dimensiunile sub 150 Å, care își păstrează proprietățile de lichid la aplicarea unor cimpuri magnotice exterioare și permit inducerea pe această cale a unui cimp de forțe masice.

In afara fluidului anterior, în ultimul timp se fac cercetări intense în vederea realizării unui ferofluid pe bază de mercur. Astfel, [60,44] prezintă caracteristicile și modul de preparare a unui ferofluid cu particule de fier subdomenice acoperite cu antimoniul. Proprietățile sunt atrăgătoare dar din punct de vedere de stabilitate în timp este limitată la maximum cîteva ore.

Rotatia ferofluidelor produsa pe cale magnetica a fost pusă în evidență în 1967 de către Moskowitz și Rosenswig.

In cadrul M.C.M.H. - Timisoara, au fost inițiate o serie de cercetări experimentale cu privire la acest efect. Rezultatele publicate [9] au adus o serie de lămuriri asupra fenomenului. S-a observat astfel că o rotație macroscopică se obține pentru un inductor cu două perechi de poli și pentru valori relativ ridicate ale inducției. Efectul maxim produs împreună unei probe de ferofluid cu particule relativ mari, a semnalat viteze de ordinul 0,5 m/s.

Având în vedere cele arătate anterior se poate concluziona că utilizarea ferofluidelor clasice ca fluid de lucru în giroscopul MHD - datorită greutății specifice reduse și a vitezelor de rotație modeste - nu este indicată. De asemenea, din motive legate de necesitatea unor instalații de încălzire anexe, utilizarea metalelor topite este exclusă. Singurul fluid corespunzător scopului rămâne mercurul, fluid care este utilizat în toate giroscopapele MHD studiate. Dacă se va reuși să se realizeze un ferofluid stabil pe bază de mercur, proprietățile giroscopului MHD se vor putea îmbunătăți.

3.2.2. MATERIALE MAGNETICE

Din punctul de vedere al comportării lor în cîmpul magnetic, materialele se împart în trei categorii:

a) Substanțe diamagnetice (Ag, Cu, Pb, Hg)

La aplicarea unui cîmp magnetic exterior ele produc o componentă îndreptată în sens contrar cîmpului fiind respinse spre regiunile de cîmp minim. Repulsia este proporțională cu intensitatea cîmpului aplicat. Magnetizarea este negativă și foarte slabă.

b) Substanțe paramagnetice

La aplicarea unui cîmp exterior, aceste substanțe se magnetizează slab proporțional cu intensitatea cîmpului aplicat. Din această categorie fac parte Pt, Al, Cr, Mn.

c) Substanțe feromagnetice

La aplicarea unui cîmp magnetic aceste substanțe se magnetizează puternic și păstrează în oricare măsură magnetismul la încetarea cîmpului exterior. Magnetizarea lor variază neliniar cu intensitatea cîmpului. Din această categorie fac parte Fe, Ni, Co.

Din punctul de vedere al utilizării la giroscopul MHD sunt interesante materialele pentru obținerea de magneti permanenti, puternici cu inducție remanentă mare.

Se pare că valoarea maximă obținută pînă acum (22.000 Gs) o are Remendur-ul - un aliaj de tip Vicalloy cu compoziția 3,5% V, 52% Co, 0,5% Mn - rest Fe [37].

In R.S.România, aliajele magnetice dure pentru realizarea de magneti permanenti care conferă calități maxime sunt de tipul ALNICO.

- Alnico 24 S.C./4,5 cu $B_r = 13.500$ Gs, comparabile cu aliajele similare produse în R.F.G., Anglia, U.R.S.S.

Magnetii produgi prin sintetizare din pulberi de aliaje Alni și Alnico, Bi-Mn, oferă inducții remanente de ordinul 4000 - 7000 Gs.

Magnetii din ferite de Ba și Sr (produgi și în R.S.R.), oferă inducții remanente de 2000 - 4300 Gs.

In R.S.R., la I.C.E., s-au produs magneti din ferite de stronțiu cu $B_r = 3500$ Gs.

(In S.U.A. la Tehn.Inst.of Massachussets s-a realizat un magnet cu $B = 100.000$ Gs prin supraconductibilitate).

De asemenea, interesează materialele magnetice moi, caracterizate prin ciclu histerezis îngust, permeabilitate magnetică mare, cîmp coercitiv mic. Ele se magnetizează puternic în cîmpuri magnetice de intensitate mică și își pierd magnetismul la încetarea acțiunii cîmpului exterior. Sunt utilizate în domeniul curentilor slabî și tari, în c.c. și o.a. de la frecvențe industriale pînă la frecvențe înalte și foarte înalte.

Pierderi magnetice

In cîmpuri alternative, materialele magnetice moi trebuie să asigure pierderi minime de energie. Aceste pierderi se compun din:

- pierderi prin histerezis;
- pierderi prin curenti turbionari;
- pierderi reziduale.

Ele pot fi prezentate ca o sumă de rezistențe conectate în serie:

$$R_{Fe} = R_h + R_t + R_r \quad (3.11)$$

Pierderi prin histerezis.

Ele pot fi exprimate prin relația:

$$P_h = \frac{1000 E.f.lo^{-10}}{\gamma} [W/daN] \quad (3.12)$$

E - pierderile la remagnetizare $J/cm^3/ciclu$;

f - frecvența Hz;

γ - greutatea specifică daN/dm³

Sînt datorate deformărilor rețelei cristaline cauzate de incluziunile nemagnetice.

Pierderi prin curenti turbionari.

Pot fi deduse din legea inducției și se calculează cu relația:

$$P_t = \frac{1.643}{\delta} \frac{1}{\rho} d^2 f^2 \left(\frac{B_{max}}{1000}\right)^2 \cdot 10^{-7} [W/daN] \quad (3.13)$$

δ - daN/dm³ - greutatea specifică;

ρ - [Ωcm] - rezistivitatea;

f - [Hz] - frecvența .

d - grosimea tablei [cm]

B_{max} - amplitudinea inducției în miez (Gs).

Reducerea pierderilor prin curenti turbionari se obține prin micșorarea grosimii tablelor sau prin mărirea rezistivității prin aliere.

Pierderile reziduale apar la variația temporară a inducției și sunt proporționale cu frecvența și intensitatea curentului.

Au drept cauză deformările rețelei cristaline.

In figura nr.3.10 este reprezentată variația pierderilor în funcție de grosimea tablelor.

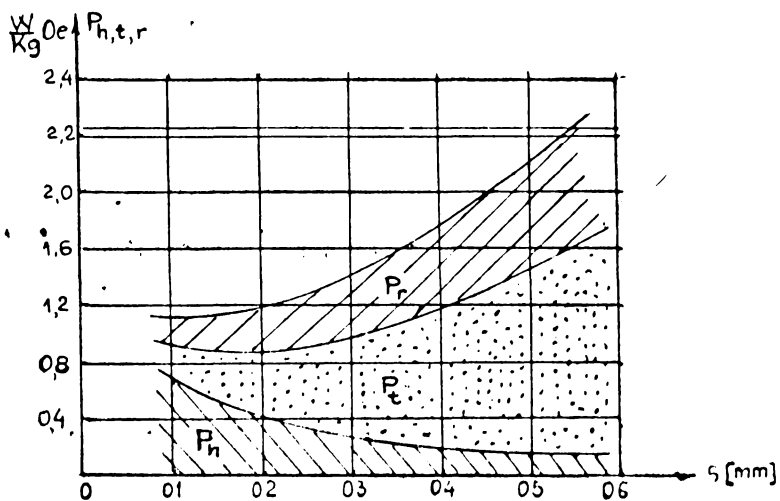


Figura nr. 3.10

Din categoria materialelor magnetice moi suscepțibile de utilizări în construcția miezurilor magnetice ale giroscopului MHD, interesează în special fierul ARMOC, fierul sărac în carbon, tabla silicioasă dublu orientată cu textură cubică, alfenoul.

Cîteva din caracteristicile acestor materiale magnetice moi [4] sunt date în tabelele de mai jos.

Tabelul nr.3.1

Materiale	Permeabilitatea		Cîmpul coercitiv Hc (ol)	Intensitatea de magnetizare la satura- tie I ₄ (Gs)
	Initială i (Gs/ol)	Maximă m (Gs/ol)		
Fier Armco	500-1000	7000-20000	0,1	22000
Fier sărac în C (technic pur)	4000	180000	0,025	-
Alfenol	4000	100000	0,024	8000

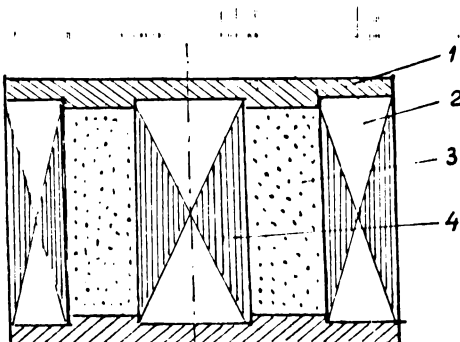
Tabelul nr.3.2.

Material	Pierderi la magn. W/kg max		Inducție mag. Wb/m ² min		
	P ₁₀	P ₁₅	B ₅	B ₅₀	B ₃₀₀
Tablă silicioasă laminată la cald	3,6-1	8,6-2,4	1,2-1,3	1,55-1,63	1,89-1,98
Tablă texturată	3,2-0,5	7,5-1	13 - 17	17,5-18,5	19,8-20
Tablă silicioasă dublu texturată			15-17,5	18,2-19,3	20-23

3.2.3. SOLUTII CONSTRUCTIVE UTILIZATE IN CONSTRUCTIA GIROSCOPULUI MHD

Literatura de specialitate oferă puține informații cu privire la soluțiile constructive adoptate pentru construcția giroscopului MHD. În evidență OSIM există două brevete de giroscop MHD aparținând Firmei SPEIDEL CORP-U.S.A. (brevetat la 24.05.1960 în S.U.A., Franța, R.F.G., Anglia) și Institutului "Energosetiproiect" - U.R.S.S. - autor ing. A.A.Nefedov (brevetat la 20.10.1972 cu nr.UKD 63.752.4).

Giroscopul firmei SPEIDEL-CORP, este un giroscop cu inducție a cărui schemă este arătată în figura nr.3.11.



1 - flanșă Cu; 2 - inductor; 3 - mercur; 4 - miez
Figura nr.3.11.

Inductorul are 4 perechi de poli și este alimentat de la rețeaua de c.a. cu $f = 60$ Hz. Diametrul interior este de $2"$ iar diametrul exterior al canalului este de $2 \frac{1}{2}"$. Se remarcă grosimea δ a canalului destul de mare (aprox.6 mm).

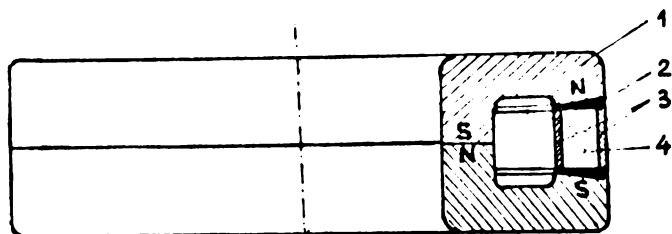
Giroscopul sovietic este un giroscop cu conductie (de curent continuu).

Cîmpul magnetic acționează axial și este produs de doi magneti permanenți toroidali. S-a ales această formă pentru a dispune de o inducție suficientă la gabarit mic. Cîmpul electric este radial, sursa de tensiune conectîndu-se la cele două inele - exterior și interior. Pentru a compensa reacția de inducție, intrefierul s-a realizat cu varisime variabilă. Nu se dau informații cu privire la gabarite sau calitatea magnetilor permanenți utilizati.

O schiță a acestui giroscop este prezentată în figura nr.3.12.

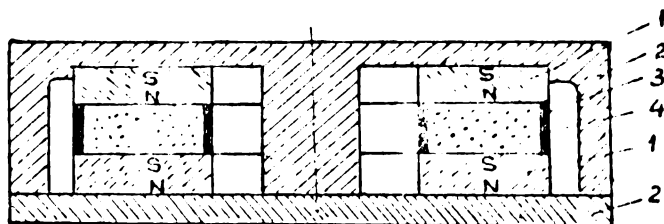
Pe baza informațiilor de mai sus și avînd în vedere posibilitățile concrete, am optat pentru realizarea și încarcarea a trei tipuri de giroscop MHD.

Primul tip este un giroscop cu conductie reprezentat în figura nr.3.13.



1-magneți permanenti toroidali; 2-întrefier variabil;
3-electrozi inelari; 4 - mercur.

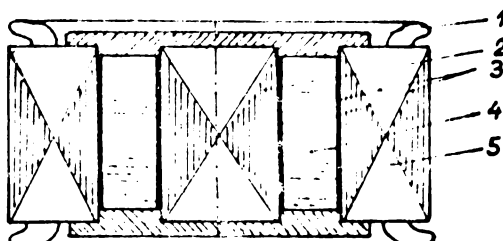
Figura nr. 3.12



1-magneți permanent din ferită cu bariu $\varnothing 115 \times \varnothing 52 \times 15$
cu $B=3500$ Gs; 2-piese polare-fier Armco;
3-electrozi inelari, Cu cromat; 4-mercur.

Figura nr. 3.13

Variantele 2 și 3 sunt microcoape cu inducție a căror schema este prezentată în figura nr.3.14



1-flange Cu cromat; 2-miere magnetice; 3-cu ; 4-mercur
5-inductor trifazic.

Figura nr. 3.14

Inductoarele în ambele variante sunt de la a . fol
fri țiderului "Arctic" și are $\varnothing 17 \times 25 \times 45$ mm.

In cele 24 ancoze ale miezului a fost realizat in primul caz un bobinaj cu o singura pereche de poli, iar in al doilea caz cu 2 perechi de poli. Alimentarea se face prin autotransformator de la reteaua de curent trifazat 380 V/50 Hz.

3.3 ECUATIILE FUNDAMENTALE ALE MAGNETOHIDRODINAMICII

3.3.1. ECUATIILE GENERALE ALE MISCARII MEDIULUI CONTINUU ELECTROCONDUCTOR

Setul de ecuații ce descriu mișcarea generală a mediului continuu electroconductor este alcătuit din ecuația de continuitate, ecuațiile de mișcare și de conservare a energiei, la care se adaugă ecuațiile cîmpului electromagnetic (Maxwell) și expresia legii lui Ohm.

Ecuările de mișcare și de conservare a energiei ne deosebesc de ecuațiile corespunzătoare cunoscute din mecanica fluidelor datorită apariției unui cîmp suplimentar de forțe masice, de natură electromagnetică, precum și aportului energetic suplimentar datorat fenomenelor electrice. În afara acestor ecuații care descriu mișcarea lichidelor electroconductive și a gazelor ionizate disciplina cunoscută sub denumirea de "Magnetohidrodinamică" – denumire care cum impropriu după părerea noastră, termenul de "Mecanica fluidelor electromagnetice" reprezentînd mai exact domeniul disciplinei – studiază și mișcarea fluidelor cu proprietăți magnetice, ferofluidele, pentru care setul ecuațiilor amintite anterior are alte expresii.

O dată cu apariția fluidelor dotate atît cu proprietăți electroconductive cît și cu proprietăți magnetice au fost stabilite și ecuațiile generale care guvernează mecanica acestora, evident, mai complexe decît toate celelalte [86] și care cuprind sub formă particulară, ecuațiile mișcării continuu-ului electroconductor.

a) Ecuația de continuitate

Este evident identică cu cea din mecanica fluidelor,

sau

$$\left\{ \begin{array}{l} \frac{\partial \rho}{\partial t} + \nabla (\rho \bar{v}) = 0 \\ \frac{1}{\rho} \frac{d\rho}{dt} + \nabla \bar{v} = 0 \end{array} \right. \quad (3.14)$$

Ecuările sunt valabile pentru toate mișcările și fluidele.

Diferite forme particolare se obțin cînd se fac ipoteze asupra naturii fluidului sau mișcării, astfel:

- pentru fluide incompresibile ($\rho = \text{ct}$)

$$\nabla \cdot \vec{v} = 0$$

- pentru fluide compresibile în mișcare permanentă

$$\nabla(\rho \vec{v}) = 0$$

In cazul în care cîmpul vitezelor sau densităților prezintă discontinuități se folosesc forma integrală:

$$\int_v \left[\frac{\partial \rho}{\partial t} + \operatorname{div}(\rho \vec{v}) \right] dv = 0 \quad (3.15)$$

b) Ecuatiile de mișcare

Au forma clasică Navier-Stokes, cu un termen suplimentar datorat forțelor masice de natură electromagnetică. De regulă cîmpul forțelor de greutate se neglijeează, astfel încât:

$$\rho \left[\frac{\partial \vec{v}}{\partial t} + (\vec{v} \cdot \nabla) \vec{v} \right] = -\nabla p + \rho \vec{f}_e + \rho \nabla^2 \vec{v} + \left(\gamma_1 + \frac{\gamma_2}{3} \right) \nabla(\nabla \cdot \vec{v})$$

Expresia forțelor electromagnetice ce acționează împreună unității de masă este:

$$\vec{f}_e = \frac{1}{\mu_0} (\vec{j} \times \vec{B}) \quad (3.16)$$

Care mai poate fi scrisă:

$$\vec{f}_e = \frac{1}{\mu_0} (\nabla \times \vec{B}) \times \vec{B} \quad (3.17)$$

c.u.

$$\vec{f}_e = \frac{1}{\mu_0} (\vec{E} + \vec{v} \times \vec{B}) \times \vec{B} \quad (3.18)$$

In cazul ferofluidelor electroconductive, cu rotație internă ecuațiile de mișcare au forma :

$$\rho \frac{d\vec{v}}{dt} = -\nabla p + (\gamma_1 + \gamma_2) \nabla(\nabla \cdot \vec{v}) + \rho \nabla^2 \vec{v} + \nabla \times [2\gamma_1 (\vec{\omega} - \vec{\bar{\omega}}) + \rho_0 \vec{E} + \vec{j} \times \vec{B} + (\vec{P} \cdot \nabla) \vec{B} + (\vec{H} \cdot \nabla) \vec{H} + \vec{P}_x (\nabla \times \vec{B}) + \vec{H}_x (\nabla \times \vec{H}) + \rho \vec{b}] \quad (3.19)$$

În cîteva semnificații notăților este următoarea:

\vec{E} - inducția magnetică;

\vec{B} - intensitatea cîmpului magnetic aplicat;

\vec{j} - intensitatea cîmpului electric;

$\vec{\omega}$ - magnetizația;

$\vec{\bar{\omega}}$ - polarizarea electrică;

\vec{P} - vîrfarea de vîrstă care este de

\vec{E} și \vec{B} .

$$\vec{\omega} = \frac{1}{2} \text{rot } \vec{v}$$

$\vec{\omega}$ - viteza unghiulară de rotație a particulelor în suspensie.

c) Ecuatia de conservare a energiei

Pentru fluide electroconductive expresia ecuației de conservare are forma:

$$\rho \frac{d}{dt} (1 + \frac{v^2}{2}) = Q_0 + \frac{\gamma_m}{2} (\nabla \times \vec{B})^2 + \frac{\partial p}{\partial t} + \nabla \left(\frac{\chi}{C_p} \nabla T \right) + \Phi^* \quad (3.20)$$

unde:

T - entalpia unității de masă;

C_p - capacitatea specifică la presiune constantă;

χ - conductivitatea termică a fluidului;

$$\frac{\gamma_m}{m} = \frac{1}{6\mu_0} - vîscozitatea magnetică;$$

Φ^* - funcția de disipație.

d) Ecuatiile cîmpului electromagnetic (Maxwell)

Ecuatiile generale ale electromagnetismului sunt:

- legea inducției electomagnetică: $\oint_{\Gamma} \vec{E} \cdot d\vec{s} = - \frac{d\Phi}{dt} \quad (3.21)$

- legea fluxului electric: $\iint_{\Sigma} \vec{D} \cdot d\vec{A} = q_e \quad (3.22)$

- legea inducției electrice: $\vec{D} = \epsilon_0 \vec{E}$ valabilă pentru dielectrii liniari și fără polarizație permanentă ($\vec{P}=0$).

(In cazul general $\vec{D} = \epsilon_0 \vec{E} + \vec{P}$; $\vec{P}_t = \epsilon_0 \chi_e \vec{E}$); $\quad (3.23)$

- legea circuitului magnetic: $\oint_{\Gamma} \vec{H} \cdot d\vec{s} = 0 + \frac{d\Phi}{dt} \quad (3.24)$

- legea fluxului magnetic: $\iint_{\Sigma} \vec{B} \cdot d\vec{A} = 0 \quad (3.25)$

($\vec{B} = \mu_0 \vec{H} + \mu_0 \vec{M}$, \vec{M} fiind vectorul magnetizației)

(In mediile liniare și fără magnetizație permanentă $\vec{B} = \mu_0 \vec{H}$);

- legea conductiei electrice (Ohm) $\vec{J} = \sigma (\vec{E} + \vec{v} \times \vec{B}) + \vec{J}_e \quad (3.26)$

- legea Joule-Lenz $\vec{p}_j = \vec{E} \cdot \vec{J} \quad (3.27)$

Formele locale ale legilor generale ale cîmpului în medii cu proprietăți fizice locale netede și imobile, poartă numele de ecuațiile Maxwell, sunt des utilizate în magnetohidrodinamică și au următoarele expresii:

$$\left\{ \begin{array}{l} \nabla \times \vec{H} = \vec{J} + \frac{\partial \vec{B}}{\partial t} \\ \nabla \times \vec{E} = - \frac{\partial \vec{B}}{\partial t} \\ \nabla \cdot \vec{D} = \rho_e \\ \nabla \cdot \vec{B} = 0 \end{array} \right. \quad (3.28)$$

pentru medii în mișcare formele (3.21 - 3.25) se completează astfel:

$$\nabla \times \vec{H} = \vec{J} + \frac{\partial \vec{D}}{\partial t} + \xi_e \vec{v} + \nabla(\vec{D} \times \vec{v}) - \text{legea circuitului magnetic} \quad (3.29)$$

$$\nabla \times \vec{E} = \frac{\partial \vec{B}}{\partial t} - \nabla \times (\vec{B} \times \vec{v}) - \text{legea inducției electromagnetice} \quad (3.30)$$

Legea inducției scrisă simplificat, prin neglijarea termenilor de convecție, de deplasare și Röentgen sub forma:

$$\frac{\partial \vec{B}}{\partial t} = \nabla \times (\vec{v} \times \vec{B}) - \nabla \cdot (\gamma_m \nabla \times \vec{B}) \quad (3.31)$$

împreună cu legea lui Ohm $\vec{J} = \sigma(\vec{E} + \vec{v} \times \vec{B})$, ecuația de conservare a masei, ecuația de mișcare și ecuația de conservare a energiei constituie setul de ecuații fundamentale ale magnetohidrodinamicii.

**3.4. STUDIUL MISCARII FLUIDULUI ELECTROCONDUCTOR
IN GIROSCOPUL M.H.D.**

**3.4.1 STUDIUL MISCARII FLUIDULUI ELECTROCONDUCTOR IN
G.M.H.D. DE CURENT CONTINUU**

Problema este abordată în literatura de specialitate în mai multe lucrări [92,72]. Se consideră incinta cuprinsă între 2 cilindri coaxiali, conductori idealii, de lungime finită. Inducția \bar{B} este orientată de-a lungul axei girometrului ($\bar{B} = B_0 \hat{i}_z$) ca în figura nr. 3.15.

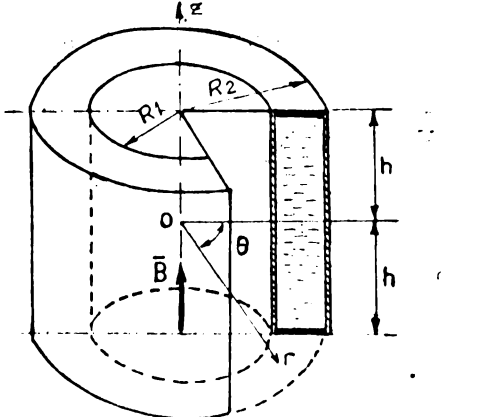


Figura nr. 3.15

Pereții așezăți la $z = \pm h$ sunt izolatori idealii. Mărcarea se consideră permanentă ($\frac{\partial}{\partial t} = 0$) și axial simetrică ($\frac{\partial}{\partial \theta} = 0$). Fluidul se consideră omogen și incompresibil. Se neglijeează efectul Hall și transferul de căldură.

Ecuatiile M.H.D. devin:

$$(\nabla \cdot) v_r - \frac{v^2}{r} = - \frac{1}{\rho} \frac{\partial p}{\partial r} + \frac{1}{\mu \rho} \left[(\bar{B} \cdot \nabla) B_r - \frac{B_0^2}{r} \right] + \frac{\gamma}{\rho} \left(\Delta v_r - \frac{v_r}{r^2} \right) \quad (3.32)$$

$$(\nabla \cdot) v_\theta + \frac{v_\theta v_r}{r} = \frac{1}{\mu \rho} \left[(\bar{B} \cdot \nabla) B_\theta + \frac{B_0 B_r}{r} \right] + \frac{\gamma}{\rho} \left(\Delta v_\theta - \frac{v_\theta}{r^2} \right) \quad (3.33)$$

$$(\nabla \cdot) v_z = - \frac{1}{\rho \mu} \frac{\partial p}{\partial z} + \frac{1}{\mu \rho} (\bar{B} \cdot \nabla) B_z + \frac{\gamma}{\rho} \Delta v_z \quad (3.34)$$

$$(\bar{B} \cdot \nabla) v_r = (\bar{B} \cdot \nabla) v_r = v_m (\Delta B_r - \frac{B_r}{r^2}) \quad (3.35)$$

$$(\bar{B} \cdot \nabla) B_\theta = (\bar{B} \cdot \nabla) v_\theta + \frac{1}{r} (v_\theta B_r - v_r B_\theta) = v_m (\Delta B_\theta - \frac{B_\theta}{r^2}) \quad (3.36)$$

$$(\bar{\nabla} \cdot \bar{\nabla}) B_z - (\bar{B} \cdot \bar{\nabla}) V_z = \gamma_m \Delta B_z \quad (3.1)$$

$$\frac{\partial V_r}{\partial r} + \frac{V_r}{r} + \frac{\partial V_z}{\partial z} = 0 \quad (3.2)$$

$$\frac{\partial B_r}{\partial r} + \frac{B_r}{r} + \frac{\partial B_z}{\partial z} = 0 \quad (3.3)$$

unde: $P_m = p + \frac{B^2}{2\mu}$

$$(\bar{\nabla} \cdot \bar{\nabla}) = V_r \frac{\partial}{\partial r} + V_z \frac{\partial}{\partial z}$$

$$(\bar{B} \cdot \bar{\nabla}) = B_r \frac{\partial}{\partial r} + B_z \frac{\partial}{\partial z}$$

$$\Delta = \frac{\partial^2}{\partial r^2} + \frac{1}{r} \frac{\partial}{\partial r} + \frac{\partial^2}{\partial z^2}$$

Sistemul este greoi și nu poate fi rezolvat decât aproximativ. Dacă se admite:

$$V_r = V_z = 0$$

$$B_r = 0$$

$$B_z = B_0 = \text{ct.}$$

Sistemul de ecuații (3.32 - 3.33) se poate scrie:

$$-\frac{V_0^2}{r} = -\frac{1}{\rho} \frac{\partial p}{\partial r} - \frac{B_0}{\mu \rho} \frac{1}{r} \frac{\partial(rB_0)}{\partial r} \quad (3.4)$$

$$0 = \frac{B_0}{\mu \rho} \frac{\partial B_0}{\partial z} + \frac{\eta}{\rho} \left(\Delta V_0 - \frac{V_0}{r^2} \right) \quad (3.4)$$

$$0 = \frac{\partial}{\partial z} \left(p + \frac{B_0^2}{2\mu} \right) \quad (3.4)$$

$$-B_0 \frac{\partial V_0}{\partial z} = \gamma_m \left(\Delta B_0 - \frac{B_0}{r^2} \right) \quad (3.4)$$

Din (3.41) și (3.43) dezvoltând ΔV_0 și ΔB_0 se obține:

$$\frac{\eta}{\rho} \left(\frac{\partial^2 V_0}{\partial r^2} + \frac{1}{r} \frac{\partial V_0}{\partial r} + \frac{\partial^2 V_0}{\partial z^2} - \frac{V_0}{r^2} \right) + \frac{B_0}{\mu \rho} \frac{\partial^2 B_0}{\partial z^2} = 0 \quad (3.4)$$

$$\gamma_m \left(\frac{\partial^2 B_0}{\partial r^2} + \frac{1}{r} \frac{\partial B_0}{\partial r} + \frac{\partial^2 B_0}{\partial z^2} - \frac{B_0}{r^2} \right) + B_C \frac{\partial V_0}{\partial z} = 0 \quad (3.4)$$

Din legea lui OHM:

$$\begin{aligned} E_r &= -\nu_m \frac{\partial B_0}{\partial z} = B_0 V_0 \\ E_0 &= 0 \\ E_z &= \nu_m \frac{1}{r} \frac{\partial}{\partial r} (r B_0) \end{aligned} \quad (3.56)$$

Din $E_0 = 0$ rezultă $\bar{J}_0 = 0$ deoarece $(\bar{v} \times \bar{B})_0 = 0$. Din ultima relație din (3.56) rezultă că:

$\frac{\partial}{\partial r} (r B_0) = 0$ la $r = R_1$ și $r = R_2$, și ca urmare a continuității cîmpului, deoarece nu sunt curenti de suprafață, pe peretei transversali ($z = \pm h$) se poate admite B_0 o funcție continuă.

Dacă adoptăm:

$$\begin{aligned} B_0 &= 0 \text{ la } z = +h \\ B_0 &= -\frac{\mu I}{2\pi r} \text{ la } z = -h \end{aligned} \quad (3.57)$$

(I = intensitatea curentului aplicat)

vom putea scrie sistemul anterior sub formă adimensională, cu notatiile:

$$\begin{aligned} r^* &= \frac{r}{h}; z^* = \frac{z}{h}; v^* = \frac{V_0}{V_C}; B_0^* = \frac{B_0}{B_C}; E_r^* = \frac{E_r}{E_C} \\ \text{unde: } V_C &= \frac{E_C H_a}{B_0}; B_C = \frac{E_C \cdot h}{\nu_m}; E_C = \text{constantă arbitrată}; \text{astfel:} \end{aligned}$$

$$\frac{\partial^2 v^*}{\partial r^{*2}} + \frac{1}{r^*} \frac{\partial v^*}{\partial r^*} - \frac{v^*}{r^{*2}} + \frac{\partial^2 B_0^*}{\partial z^{*2}} + H_a \frac{\partial B_0^*}{\partial z^*} = 0 \quad (3.58)$$

$$\frac{\partial^2 B_0^*}{\partial r^{*2}} + \frac{1}{r^*} \frac{\partial B_0^*}{\partial r^*} - \frac{B_0^*}{r^{*2}} + \frac{\partial^2 B_0^*}{\partial z^{*2}} + H_a \frac{\partial v^*}{\partial z^*} = 0 \quad (3.59)$$

$$E_r^* = -\frac{\partial B_0^*}{\partial z^*} = H_a v^* \quad (3.60)$$

în care: $H_a = B_0 h \sqrt{\frac{\epsilon}{\eta}}$

Condițiile la limită sunt:

$$v_0^* = 0 \text{ la } z^* = \pm 1; (r^* = r_1^*; r^* = r_2^*) \quad (3.61)$$

$$B_0^* = 0 \text{ la } z^* = 1; B_0^* = -\frac{I^*}{r^*} \text{ la } z^* = -1$$

unde:

$$I^* = \frac{I}{2\pi \sigma h^2 E_0}$$

Se poate trage concluzia că $B_0 \sim \frac{1}{r}$

Forța Lorentz se poate scrie

$$\bar{F} = \bar{J}_x \bar{B}_0, \text{ adică } \bar{F} \sim r^{m-1}$$

iar

$$v_0^x = \frac{I}{r^m} v(z^x) \quad (3.62)$$

$$B_0^x = \frac{1}{r^m} \quad (3.63)$$

$$E_r^x = -\frac{1}{r^m} e(z^x) \quad (3.64)$$

Observație. Admitând condițiile anterioare, condiția $v_0^x = 0$ la $r^x = r_1^x$ și $r^x = r_2^x$ nu va fi satisfăcută. În schimb, condițiile pe peretii cilindrici vor fi identice satisfăcute pentru B_0^x , deoarece $E_z = 0$.

Inlocuind (3.62, 3.63, 3.64) în (3.58, 3.59, 3.60) găsim:

$$\begin{cases} \frac{\partial^2 V}{\partial z^m} + H_a \frac{\partial b}{\partial z^m} = 0 \\ \frac{\partial^2 b}{\partial z^m} + H_a \frac{\partial V}{\partial z^m} = 0 \\ e = \frac{\partial b}{\partial z^m} + H_a r = 0 \end{cases} \quad (3.65)$$

cu condițiile la limită:

$$\begin{cases} V = 0 \text{ la } z^m = \pm l \\ b = 0 \text{ la } z^m = l \\ b = -I^x \ln z^m = -l \end{cases} \quad (3.66)$$

Dacă tensiunea la electrozi U este constantă sistemul se poate integra ușor.

Inlocuind b cu $b + \frac{I^x}{2}$, ecuațiile nu se schimbă, schimbându-se doar condițiile la limită:

$$b = \pm \frac{I^x}{2} \text{ la } z^m = \pm l$$

Funcția v va fi pară de z^m iar b împără din (3.65) rezultă că $\frac{\partial v}{\partial z^m} = 0$ sau $v = ct.$

Integrind (3.65) se găsește:

$$\frac{\partial v}{\partial z^m} + H_a b = 0 \quad (3.67)$$

$$\frac{\partial b}{\partial z^m} + H_a v = 0 \quad (3.68)$$

Eliminând $\frac{\partial b}{\partial z^m}$ din (3.68) obținem:

$$\frac{\partial^2 v}{\partial z^m \partial z^n} - H_a^2 v = H_a e \quad (3.69)$$

Alegînd E_C arbitrar se poate pune $e = 1$.

Integrînd (3.62) între r_1^m și r_2^m și egalînd cu U se obține:

$$E_C = \frac{U}{h \ln \frac{r_2}{r_1}}$$

Soluția ecuației (3.69) este:

$$v(z^m) = \frac{1}{H_a} \frac{sh H_a - ch H_a \cdot z^m}{ch H_a} \quad (3.70)$$

Inlocuind în (3.67) rezultă:

$$b(z^m) = \frac{1}{H_a} \frac{sh H_a z^m}{ch H_a} \quad (3.71)$$

Dar din condițiile la limită:

$$I^m = \frac{2}{H_a} th H_a \quad (3.72)$$

Inlocuind în (3.62 - 3.64) și tinînd cont de expresia lui E_C rezultă:

$$v_g = \frac{U}{B_0 \ln \frac{r_2}{r_1}} \frac{1}{r} \left(1 - \frac{ch H_a \frac{z^m}{h}}{ch H_a} \right) \quad (3.73)$$

$$B_0 = \frac{U}{\gamma_m \ln \frac{r_2}{r_1}} \frac{h}{r} \frac{sh H_a \frac{z^m}{h}}{H_a \cdot ch H_a} \quad (3.74)$$

$$I = \frac{4 \pi G h^2}{\ln \frac{r_2}{r_1}} \frac{h}{r} \frac{sh H_a \frac{z^m}{h}}{H_a \cdot ch H_a} \quad (3.75)$$

Din (3.42) rezultă imediat că $p + \frac{B_0^2}{2} \neq f(z)$ iar din (3.58) se poate scrie că:

$$p = \frac{-B_0^2}{2\mu} f(r)$$

$$\text{unde } f(r) \text{ satisface } \frac{\partial f(r)}{\partial r} = \frac{\sigma V_0^2 - B_0^2/\mu}{r} \quad (3.76)$$

Inlocuind expresiile lui B_0 și V_0 găsim expresia pre-
ciunii:

$$p = p_0 - \frac{U^2}{2(\ln \frac{r_2}{r_1})^2} \left[\frac{h^2}{2\mu \nu_m^2} \left(\frac{\operatorname{sh} H_a(\frac{z}{a})}{H_a \operatorname{ch} H_a} \right)^2 \left(1 - \frac{1}{r^2} \right) + \right.$$

$$\left. + \frac{\sigma}{B_0^2} \frac{1}{r^2} \left(1 - \frac{\operatorname{ch} H_a(\frac{z}{a})}{\operatorname{ch} H_a} \right)^2 \right] \quad (3.77)$$

In lucrare [92] se atrage atenția asupra faptului că soluția este aproximativă și că nu satisface ipoteza aderenței.

Se observă faptul important că soluția constructivă nu este cea mai avantajoasă, deoarece pentru a obține o sensibilitate acceptabilă este necesară o lungime $2h$ mare a incintei. Cum însă mărirea lungimii reprezintă mărirea întreținerii circuitului magnetic și deci o scădere importantă a inducției, este logic să se abordeze o construcție la care direcția cîmpului magnetic să fie radială, iar electrozi disponibili pe capacă.

Vom aborda această variantă în cele ce urmează.

Pie incinta din figura nr. 3.15 cu peretei cilindrici izolatori ideali și capacele electroconductoare, constituind electrozi la care se aplică o tensiune continuă U . Fluidul se consideră cu proprietăți constante iar mișcarea staționară $\frac{\partial}{\partial t} = 0$ și axial simetrică ($\frac{\partial}{\partial \theta} = 0$).

Cîmpul magnetic aplicat are direcție radială și este omogen $\bar{B} = \bar{B}_x$; Tensiunea aplicată la electrozi produce un cîmp electric axial $\bar{E} = E\bar{z}$.

Neglijind termenii de convenție, Röntgen și de deplasare, expresia legii lui Ohm devine:

$$\bar{J} = \sigma (\bar{E} + \nabla \times \bar{B})$$

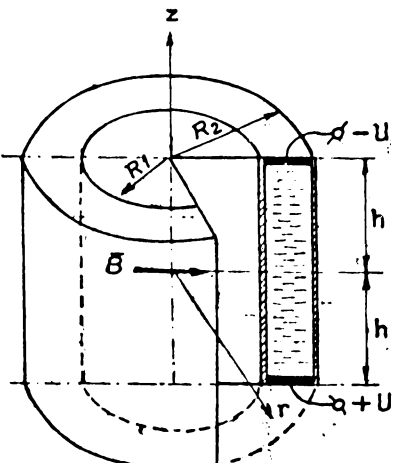


Figura nr. 3.15

Ecuatiile cimpului (Maxwell) $\bar{D} = \epsilon \bar{E}$; $\nabla \cdot \bar{D} = 0$ și $\nabla \times \bar{B} = 0$ trebuie să fie satisfăcute și prin urmare:

$$\nabla \times \bar{B} = \frac{1}{r} \left[\frac{\partial}{\partial r} (r B_r) + \frac{1}{r} \frac{\partial}{\partial \theta} (r B_\theta) + \frac{\partial}{\partial z} (r B_z) \right] = 0 \quad (3.78)$$

Dar cum $\bar{B} = B \hat{I}_r$ ($B_\theta = B_z = 0$) rămîne:

$$\frac{d}{dr} (r B_r) = 0 \text{ sau } \frac{B}{r} + \frac{dB}{dr} = 0 \quad (3.79)$$

Care se integrează imediat, astfel că $\ln B = -\ln r + \ln C$.

Cum la $r=R_1$ avem $B=B_1$, rezultă $C=B_1 R_1$, iar:

$$\bar{B} = B_1 \frac{R_1}{r} \hat{I}_r \quad (3.80)$$

Similar: $\nabla \cdot \bar{D} = \epsilon \nabla \cdot (\bar{E}) = 0$, sau:

$$\frac{1}{r} \left[\frac{\partial}{\partial r} (r \epsilon E_r) + \frac{1}{r} \frac{\partial}{\partial \theta} (\epsilon E_\theta) + \frac{\partial}{\partial z} (r \epsilon E_z) \right] = 0 \quad (3.81)$$

Dar peretii cilindrici fiind izolatori ($E_r = 0$) și alimentarea electrică axial-simetrică rămîne:

$$\epsilon \frac{d E_z}{dz} = 0 \quad (3.82)$$

adică

$$\bar{E} = E_0 \bar{I}_K \quad (3.83)$$

Din expresia legii lui Ohm:

$$\bar{J} = \sigma (\bar{E} + \bar{v} \times \bar{B})$$

ținind cont că $\bar{J} = j \bar{I}_z$, găsim:

$$\bar{J} = j_z \bar{I}_z = \sigma [E_0 \bar{I}_z + V_z B_r \bar{I}_0 - B_r V_0 \bar{I}_z] \quad (3.84)$$

ceea ce implică $V_z = 0$, rămnind:

$$\bar{J} = j_K \bar{I}_K = \sigma [E_0 - B_r V_0] \bar{I}_K \quad (3.85)$$

Ecuatia de continuitate este satisfăcută identic:

$$\frac{1}{r} \left[\frac{\partial}{\partial r} (r V_r) + \frac{\partial}{\partial z} (r V_z) \right] = 0, \text{ deoarece } V_r = V_z = 0$$

Cîmpul forțelor ponderomotoare Lorentz este:

$$\bar{f} = \bar{J} \times \bar{B} = \sigma [E_0 B_r - B_r^2 V_0] \bar{I}_0 \quad (3.86)$$

Cu aceste observații prealabile ecuațiile de mișcare devin:

$$\left\{ -\frac{V_0^2}{r} = \frac{1}{\sigma} \frac{\partial p}{\partial r} \quad (3.87) \right.$$

$$\left. 0 = \frac{\sigma}{\rho} [E_0 B_r - B_r^2 V_0] + \nu \left[\frac{\partial^2 V_0}{\partial r^2} + \frac{1}{r} \frac{\partial V_0}{\partial r} - \frac{V_0}{r^2} + \frac{\partial^2 V_0}{\partial z^2} \right] \quad (3.88) \right.$$

$$0 = \frac{1}{\sigma} \frac{\partial p}{\partial z} \quad (3.89)$$

Relațiile (3.87, 3.88, 3.89) sunt valabile în tot domeniul mișcării, cu excepția unor zone din proximitatea capacelor. Relația (3.89) ne permite să scriem $\frac{\partial p}{\partial r} = \frac{dp}{dr}$, sau $p = p(r)$, iar (3.87) implică că și $V_0 = V_0(r)$, deci $\frac{\partial V_0}{\partial z} = 0$, iar (3.88) se poate scrie:

$$\frac{d^2 V_0}{dr^2} + \frac{1}{r} \frac{d V_0}{dr} - \frac{V_0}{r^2} - \frac{\sigma}{\rho \nu} B_r^2 V_0 = - \frac{\sigma}{\rho \nu} B_r E_0 \quad (3.90)$$

Tinind cont de (3.80) și înmulțind cu r^2 , putem scrie:

$$r^2 \frac{d^2 V_0}{dr^2} + r \frac{dV_0}{dr} - V_0 \left(1 + \frac{B_1^2 R_1^2}{\gamma}\right) = - \frac{\epsilon B_1 E_0 R_1}{\gamma} r \quad (3.91)$$

Ecuatia omogenă asociată $r^2 V_0'' + r V_0' - p^2 V_0 = 0$ admite soluții de forma $V_0 = r^n$ unde $n = \pm p$; $p = \sqrt[3]{1 + \frac{\epsilon B_1^2 R_1^2}{\gamma}}$ iar soluția generală va fi:

$$V_0 = A \cdot r^n + \frac{B}{r^n} \quad (3.92)$$

Ecuatia omogenă admite o soluție particulară de forma: $V_0 = C \cdot r$, unde $C = \frac{E_0}{B_1 R_1}$ și prin urmare: soluția generală a ecuației neomogene va fi:

$$V_0 = \frac{E_0}{B_1 R_1} r + A \cdot r^n + B \cdot r^{-n} \quad (3.93)$$

Determinarea constantelor A și B se face obligând soluția (3.93) să satisfacă condițiile la limită: $V_0(R_1) = V_0(R_2)$.

$$V_0 = \frac{E_0}{B_0 R_1} \left[r - \frac{R_2^{n+1} - R_1^{n+1}}{R_2^{2n} - R_1^{2n}} r^n - \frac{(R_1 R_2)^n}{R_2^{2n} - R_1^{2n}} \frac{R_2 R_1 - R_1 R_2^n}{R_2^{2n} - R_1^{2n}} r^{-n} \right] \quad (3.94)$$

Valoarea cîmpului electric E_a se determină imediat. Pe tensiunea aplicată la electrozi. Rezistența electrică a canalului (în ipoteza rezistenței de contact mercur-electrozi nulă) este $R_e = \frac{2h}{\pi \epsilon (R_2^2 - R_1^2)}$. Currentul global I va fi $I = \frac{U}{R_e} =$

$$= \frac{\pi \epsilon U (R_2^2 - R_1^2)}{2h}, \text{ iar densitatea de curent } j = \frac{I}{\pi (R_1^2 - R_2^2)} \text{ și}$$

deci $j = \frac{\epsilon U}{h}$. Cum $E_0 = \frac{1}{\epsilon}$ găsim:

$$E = \frac{U}{h}$$

Cum $n = \sqrt[3]{1 + \frac{B_1^2 R_1^2}{\gamma}}$, expresia finală a profilului vitezei tangențiale va fi:

$$v_0 = \frac{U}{B_0 R_1} \left[r - \frac{\frac{R_2}{(1 + \frac{6 B_1^2 R_1^2}{\eta})} - R_1}{r - \frac{\frac{R_2}{(1 + \frac{6 B_1^2 R_1^2}{\eta})} - R_1}{(R_1 R_2) \sqrt{1 + \frac{6 B_1^2 R_1^2}{\eta}}}} \right] \frac{1}{\sqrt{1 + \frac{6 B_1^2 R_1^2}{\eta}}} \quad (3.95a)$$

Pentru profilul dat de (3.95) s-a întocmit un program la calculatorul Felix C 256 și s-au trăsăt profilele teoretice pentru diverse valori ale tensiunii de alimentare U și ale inducției B , prezentate în cele ce urmează.

Distribuția de presiuni se determină imediat din (3.87)

$\frac{dp}{dr} = \frac{v^2}{r^2}$, care prin integrare de la R_2 la r , ne oferă legea de variație a presiunii cu raza:

$$P = P_2 + \frac{g}{2} \frac{U^2}{(zB_1R_1)^2} \int_{R_2}^r \left[r - \frac{R_2^{n+1} - R_1^{n+1}}{(n+1)(R_2^{2n} - R_1^{2n})} r^n - \right. \\ \left. - \frac{(R_1R_2)^n(R_1R_2^n - R_2R_1^n) \cdot 1}{(1-n)(R_2^{2n} - R_1^{2n})} \right]^2 dr \quad (3.95b)$$

Pentru cazul giroscopului de curent continuu cu inducție axială setul de ecuații care descriu mișcarea se poate scrie:

$$\begin{cases} \rho \frac{d\bar{v}}{dt} = -\nabla p + \bar{j} \times \bar{B} + \gamma \nabla^2 \bar{v} \\ \nabla \cdot \bar{v} = 0 \\ \nabla \cdot \bar{B} = 0 \\ \nabla \times \bar{B} = \mu_0 \epsilon_0 (\bar{E} + \bar{v} \times \bar{B}) \\ \bar{j} = \sigma (\bar{E} + \bar{v} \times \bar{B}) \end{cases} \quad (3.96)$$

Care, în sistemul de coordonate cilindrice alese anterior și în ipoteza inducției axiale $\bar{B} = B_0 \hat{z}$ și a electrozilor radiali ($\bar{j} = j \hat{r}$) se reduce în ultimă instanță la integrarea ecuației diferențiale:

$$\frac{d^2 V_\theta}{dr^2} + \frac{1}{r} \frac{dV_\theta}{dr} - \left(\frac{1}{r^2} + a \right) V_\theta = -b \frac{1}{r} \quad (3.97)$$

în care:

$$a = \frac{\sigma B_0^2}{\gamma} ; b = -\frac{6 \mu_0 \epsilon_0 R_1}{\gamma} \dots$$

Cu condițiile la limită $V_\theta = 0$ la $r = R_1$ și $r = R_2$ (3.98)

Partea omogenă a ecuației (3.97) este o ecuație diferențială reductibilă la ecuația de tip Bessel modificată prin două schimbări de variabilă: $x = ir$, respectiv $\xi = \sqrt{a}x$:

$$v'' \xi^2 + v' \xi + (\xi^2 - 1)v = 0 \quad (3.99)$$

Ecuația caracteristică este $p^2 - v^2 = p^2 - 1$ având soluția $p = 1$, ecuația neomogenă (3.97) admite o soluție particulară de formă:

$$V_\theta = -\frac{b}{a} \frac{1}{r} \quad (3.100)$$

Soluția generală a ecuației (3.97) fiind deci:

$$V_\theta = A I_n(\xi) + B K_n(\xi) - \frac{b}{a} \frac{1}{r} \quad (3.101)$$

unde I_n și K_n sunt funcțiile lui Bessel modificate de prima respectiv a doua specie și ordin 1, având expresiile generale:

$$I_n(\xi) = i^n J(i\xi) = \sum_{s=0}^{\infty} \frac{1}{\prod(s)\prod(n+s)} \left(\frac{\xi}{2}\right)^{n+s} \quad (3.102)$$

$$K_n(\xi) = (-1)^{n+1} I_n(\xi) \ln\left(\frac{\xi}{2}\right) + \frac{1}{2} \sum_{s=0}^{\infty} \frac{(-1)^s \prod(n-s-1)}{\prod s} \left(\frac{\xi}{2}\right)^{-n+2s} +$$

$$+ (1-i)^n \cdot \frac{1}{2} \sum_{s=0}^{\infty} \frac{1}{\prod(n+s)} \left(\frac{\xi}{2}\right)^{n+2s} \cdot \{ \varphi(s) + \varphi(n+s) \} \quad (3.103)$$

și care, pentru $n=1$ devin:

$$I_1 = \sum_{s=0}^{\infty} \frac{1}{s! \cdot (1+s)!} \cdot \left(\frac{\xi}{2}\right)^{s+1} \quad (3.104)$$

respectiv

$$K_1 = \sum_{s=0}^{\infty} \frac{1}{s! \cdot (1+s)!} \left(\frac{\xi}{2}\right)^{s+1} \cdot \ln \frac{\xi}{2} + \frac{1}{2} \sum_{s=0}^{\infty} \left(\frac{\xi}{2}\right)^{2s-1} - \\ - \frac{1}{2} \sum_{s=1}^{\infty} \frac{1}{(1+s)!} \left(\frac{\xi}{2}\right)^{2s+1} \cdot \{ \varphi(s) + \varphi(s+1) \} \quad (3.105)$$

unde $\varphi(s) = \frac{1}{1} + \frac{1}{2} + \dots + \frac{1}{s}$; $[\varphi(0)=0]$ respectiv

$$\varphi' = \frac{1}{1} + \frac{1}{3} + \dots + \frac{1}{s+1}$$

În cont de schimbările de variabilă efectuate se poate reveni la vechea variabilă r . Se observă în plus că $\xi = \frac{E_1 R_1}{B_0}$ iar $\sqrt{a} = \sqrt{\frac{6B^2R_1^2}{\eta}} = \frac{1}{R_1} \sqrt{\frac{6B_0^2R_1^2}{\eta}} = \frac{H_a}{R_1^2}$; H_a fiind numărul lui Hartman. După calcule, se obține expresia vitezei:

$$v_0 = -\frac{E_1 R_1}{B_0} \frac{1}{r} + [A+B \ln \frac{H_a}{2R_1^2} \cdot r] \sum_{s=0}^{\infty} \left(\frac{H_a}{2R_1^2} \cdot r\right)^{2s+1} \cdot \frac{1}{s!(s+1)!} + \\ + \frac{1}{2} \sum_{s=0}^{\infty} \left(\frac{H_a}{2R_1^2} \cdot r\right)^{2s-1} - \frac{1}{2} \sum_{s=1}^{\infty} \frac{1}{(1+s)!} \left(\frac{H_a}{2R_1^2} \cdot r\right)^{2s-1} \{ \varphi(s) + \varphi(s+1) \} \quad (3.106)$$

Constantele A și B determinăndu-se din condițiile inițiale (3.98). Cu toate acestea, după o analiză lățită a circuitului de giroscop concret, construit ($B_0 = 0,35$ T, $R_1 = 4$ mm, $= 30$ mm) și pentru tensiuni aplicate, de ordinul $U = 100$ mV, ceea ce corespunde unei puteri electrice cuprinse între $10^{-10} \text{ W} + 50 \text{ W}$, facind o comparație între ordinul $A = 10^{-10}$ și diversilor termeni ai ecuației (3.97) rezultă,

$$a \approx 8 \cdot 10^7 m^{-2}; \quad r \in (26 + 30) \cdot 10^{-3}$$

$$\frac{1}{r^2} \leq \frac{1}{R_1^2} = 1470 \text{ m}^{-2} \ll a$$

Această observație ne permite neglijarea termenului $\frac{1}{r^2}$ în comparație cu a , ecuația omogenă asociată putindu-se scrie:

$$\frac{d^2 v_\theta}{dr^2} + \frac{1}{r} \frac{dv_\theta}{dr} - av_\theta = 0 \quad (3.107)$$

De asemenea, în primă aproximare se poate considera $r = r_m = \frac{R_1 + R_2}{2}$ pe intervalul dat, ecuația (3.107) devinând o ecuație cu coeficienți constanti:

$$\frac{d^2 v_\theta}{dr^2} + \frac{1}{r_m} \frac{dv_\theta}{dr} - av_\theta = 0 \quad (3.108)$$

Ecuția caracteristică

$$\alpha^2 + \frac{1}{r_m} \alpha - a = 0 \quad (3.109)$$

are rădăcinile

$$\alpha_{1,2} = -\frac{1}{2r_m} \pm \sqrt{\left(\frac{1}{2r_m}\right)^2 + a} = \frac{1}{2r_m} \pm \sqrt{a(1 + \frac{1}{8ar_m^2})}$$

Termenul $\frac{1}{8ar_m^2} \approx 2 \cdot 10^{-6} \ll 1$ poate fi, evident neglijat.

Pentru valorile concrete considerate s-ar putea neglija și termenul $\frac{1}{2r_m} \approx 18$, făcând de termenul $\sqrt{a} \approx 9000$. În acest caz soluția generală ar fi mai simplă:

$$v_\theta = \frac{b}{a} \left[\frac{1}{r} + A \cdot e^{-\sqrt{a}x} + B e^{-\sqrt{a}(R_2 - x)} \right] \quad (3.110)$$

sau, după determinarea constantelor A și B pentru condițiiile la limită date

$$v_\theta = \frac{b}{a} \left[\frac{1}{r} - \frac{1}{R_1} e^{-\sqrt{a}x} - \frac{b}{R_2} e^{-\sqrt{a}(R_2 - x)} \right] \quad (3.111)$$

unde s-a notat $x = r - R_1$ și $\delta = R_2 - R_1$.

Distribuția vitezelor este dată de legea hiperbolică, cu excepția zonelor din proximitatea peretilor unde le-

gea este distorsionată de condițiile la limită.

Pentru un calcul mai exact, în eventualitatea că are valori mult mai mici, se poate lua:

$$\alpha_1 = \alpha - \frac{1}{2r_m}; \quad \alpha_2 = -\alpha - \frac{1}{2r_m}$$

In această situație

$$v_\theta = \frac{b}{a} \left[\frac{1}{r} + A_1 e^{\alpha_1 r} + B_1 e^{\alpha_2 r} \right] \quad (3.112)$$

condițiile la limită (3.98) permit determinarea constantelor de integrare A_1 și B_1 :

$$(-\alpha R_1 - \frac{R_1}{2r_m})$$

$$A_1 = -\frac{b}{aR_2} \frac{e}{(\alpha d - 1)} \quad (3.113)$$

$$(\alpha R_2 - \frac{R_2}{2r_m})$$

$$B_1 = -\frac{b}{aR_1} \frac{e}{(\alpha d - 1)} \quad (3.114)$$

După unele calcule elementare, soluția generală capătă forma:

$$v_\theta = \frac{b}{a} \left[\frac{1}{r} - \frac{1}{R_1} e^{-\frac{1}{2r_m}x} - \frac{1}{R_2} e^{-\frac{1}{2r_m}(d-x)} \right] \quad (3.115)$$

unde x și d au semnificațiile arătate anterior ($x=r-R_1$; $d=R_2-R_1$). Pentru forma (3.115) a soluției generale, profilul vitezelor are

alura prezentată în figura nr. 3.16

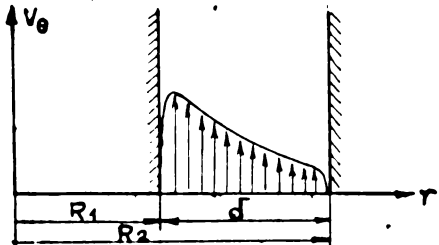


Figura nr. 3.16

Forma (3.115) este preferabilă în special în cazul cînd se dorește determinarea efortului tangențial la perete. Pentru cazul giroscopului construit, diferențele între profilul vitezei dat de

(3.111) și de (3.115) sunt complet neglijabile. Se observă un aspect foarte important și anume, scăderea vitezei cu raza, fapt imputabil în cazul construcției unor giroscopă cu sensibilitate ridicată.

-3.42 STUDIUL MISCARII FLUIDULUI ELECTROCONDUCTOR IN CAZUL G.M.H.D. DE CURENT ALTERNATIV

Problema G.M.H.D. de curent alternativ în care fluidul este antrenat în mișcare de rotație de către un cîmp magnetic invîrtitor a fost abordată de un număr relativ mare de autori. În exclusivitate, forma vasului care conține fluidul electroconductor este un cilindru de lungime infinită sau un cilindru de lungime finită prevăzut cu capace electroconductive.

Autorii lucrării [55] analizează rezultatele obținute pe baza modelelor propuse de diversi autori [50, 54, 58, 59] comparîndu-le cu rezultatele experimentale. Rezultatul acestei analize este prezentat în figura nr. 3.17

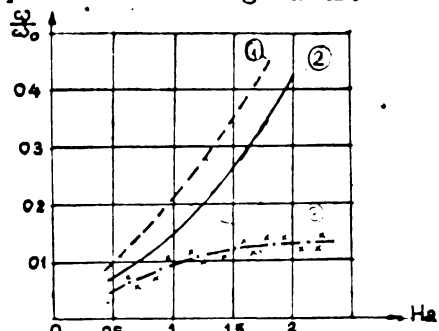


Figura nr. 3.17

Curba (1) construită pe baza modelelor liniare propuse în [50] depășește de aproape 4 ori valorile experimentale (notate cu \square) pentru valori ale numărului $H_a = B \cdot R \sqrt{\frac{6}{2\eta}} \gg 2$. Pentru valori și mai mari ale numărului H_a diferențele cresc și mai mult.

Autorii lucrării [55] explică deosebirile prin neîndeplinirea în practică a condiției cu privire la absența unei curgeri secundare cauzată de influența puternică a prezenței capacelor mai ales la valori mari ale numărului R_e .

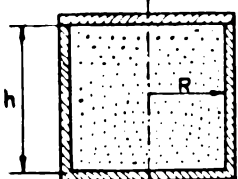
Autorii lucrării [54] construiesc o schema neliniară la baza căreia stă faptul că la valori mari ale numărului R_e , viscozitatea se manifestă numai în vecinătatea peretilor.

Rezultatele acestei teorii se apropie mai bine de rezultatele experimentale, dar diferențele rămân totuși mari.

In lucrarea [55] se dezvoltă și se generalizează modelul [54], considerind că în proximitatea capacelor se dezvoltă un strat limită turbulent.

Rezultatele obținute concordă bine cu rezultatele experimentale.

Modelul a avut forma unui pahar cu două capace având dimensiunile următoare:



$$\begin{aligned} R &= 30 \text{ mm} \\ h &= 60 \text{ mm} \\ \omega_0 &= 314 \text{ rad/s} \end{aligned}$$

Figura nr. 3.18

Fluidul de lucru a fost mercurul.
 $(\sigma = 10^6 \frac{1}{m}, \rho = 1,35 \cdot 10^4 \text{ kg/m}^3, \nu = 1,17 \cdot 10^{-7} \text{ m}^2/\text{s})$.

Totuși, la valori ale numărului $H_a > 10$ curba teoretică (3 - figura nr. 3.17) cade deasupra valorilor experimentale.

Pentru motivele arătate mai sus vom analiza mai în detaliu ipotezele făcute de autori.

Cimpul magnetic învărtitor este considerat de forma:

$$\bar{B} = B_r \bar{i}_r + B_\theta \bar{i}_\theta$$

unde: $B_r = B_0 \sin(\varphi - \omega_0 t)$
 $B_\theta = B_0 \cos(\varphi - \omega_0 t)$ - (3.15 b)

Sistemul de coordonate este cel cilindric; se consideră mișcarea axial simetrică ($\frac{\partial}{\partial \theta} = 0$) și staționară $\frac{\partial}{\partial t} = 0$. Proprietățile fluidului (ρ, σ, ν) se consideră constante.

Se admite pentru \bar{V} forma:

$$\bar{V} = V_r \bar{i}_r + V_\theta \bar{i}_\theta + V_z \bar{i}_z$$

Sistemul de ecuații diferențiale care guvernează mișcarea este:

$$\left\{ \begin{array}{l} v_r \frac{\partial v_r}{\partial r} + v_z \frac{\partial v_r}{\partial z} - \frac{v_0^2}{r} = - \frac{1}{\rho} \frac{\partial p}{\partial r} + f_r + \frac{1}{\rho} (\operatorname{Div} 2 \mu D_{ij})_r \\ v_r \frac{\partial v_\theta}{\partial r} + v_z \frac{\partial v_\theta}{\partial z} + \frac{v_r v_\theta}{r} = f_\theta + \frac{1}{\rho} (\operatorname{Div} 2 \mu D_{ij})_\theta \\ v_r \frac{\partial v_z}{\partial r} + v_z \frac{\partial v_z}{\partial z} = - \frac{1}{\rho} \frac{\partial p}{\partial z} + f_z + \frac{1}{\rho} (\operatorname{Div} 2 \mu D_{ij})_z \\ \frac{1}{r} \left[\frac{\partial}{\partial r} (r v_r) + \frac{\partial}{\partial z} (r v_z) \right] = 0 \\ v_B = 0 \end{array} \right. \quad (3.116)$$

unde: f_r ; f_θ ; f_z reprezintă componentele forței Lorentz pe axele sistemului de coordonate cilindrice.

Sistemul (3.116) este greoi și în această formă nu poate fi integrat direct.

Soluțiile sistemului pot fi puse sub forma:

$$\left\{ \begin{array}{l} v_r = A F_1(r) \cdot f_1(z) \\ v_\theta = B F_2(r) \cdot f_2(z) \\ v_z = C F_3(r) \cdot f_3(z) \end{array} \right. \quad (3.117)$$

Pentru presiuni rezultă din analiza (3.116), (3.117) o expresie de forma:

$$\frac{p}{\rho} = P_1 \frac{r^2}{2} + P_2(z) \quad (3.118)$$

Autorii fac apoi ipoteza că la numere R_e mari, (caz frecvent întâlnit în aplicațiile practice) efectul viscozității se face simțit numai în vecinătatea capacelor, în restul volumului mișcarea având loc ca între două discuri de rază infinită.

Deci, exceptând zona capacelor, în restul volumului efectul forțelor de viscozitate este neglijabil și se admite $\operatorname{Div} 2 \mu D_{ij} = 0$, sistemul (3.116) simplificându-se în consecință. De asemenea, în expresiile v_r , v_θ (3.117) funcțiile $f_1(z)$, $f_2(z)$ devin constante, rămânind:

$$\begin{aligned} v_r &= A' F_1(r) \\ v_\theta &= B' F_2(r) \end{aligned} \quad (3.119)$$

Se face apoi ipoteza că distribuția vitezelor tangențiale este de tipul celei întâlnite la solidul rigid:

$$v_\theta = \omega \cdot r \quad (B' = 1, F_2(r) = \omega \cdot r) \quad (3.120)$$

unde ω este viteza unghiulară a zonei centrale, considerată fără viscozitate.

Soluțiile (3.117) ale sistemului capătă forma:

$$\begin{cases} V_r = C_r \cdot r \\ V_\theta = \omega \cdot r \\ V_z = C_z \cdot z \\ p = P_1 \frac{r^2}{2} + P_2(z) \end{cases} \quad (3.121)$$

Inlocuind (3.121) în (3.116) se găsește după calcule:

$$\begin{cases} V_r = \frac{1}{4} \frac{6B^2}{\delta} \left(\frac{\omega_0 - \omega}{\omega} \right) r \\ V_\theta = \omega \cdot r \\ V_z = \frac{6B^2}{2\delta} h \left[\frac{\omega_0 - \omega}{\omega} \right] \left[1 - \frac{z}{h} \right] \\ p = \frac{(\omega h)^2}{2} \left[\frac{1}{2} \left(\frac{\omega_0 - \omega}{\omega} \right)^2 - \frac{\omega_0 - \omega}{\omega} \right] \left[\left(\frac{r}{h} \right)^2 - \right. \\ \left. - \left(\frac{6B^2}{\omega \delta} \right) \left[\frac{1}{8} + \left(\frac{z}{h} \right)^2 - \left(\frac{z}{h} \right) \right] \right] \end{cases} \quad (3.122)$$

unde ω_0 este viteza unghiulară a cimpului învîrtitor, ω , viteza unghiulară a zonei centrale fără viscozitate și care este necunoscută. Pentru determinarea lui ω se consideră că în proximitatea capacelor se dezvoltă un strat limită turbulent cu un profil de viteză dat de legea "1/7", valabil pentru intervalul $3 \cdot 10^3 \ll R_e < 10^5$:

$$\frac{\tilde{V}}{V_d} = 8,74 \left(\frac{V_d \cdot z}{\delta} \right)^{1/7} \quad (3.123)$$

Prin \tilde{V} s-a notat valoarea mediată în timp a vitezei în interiorul stratului limită iar V_d este viteza dinamică (de frecare) dată de:

$$V_d = \sqrt{\frac{\xi_p}{\delta}} \quad (3.124)$$

ξ_p fiind efortul tangențial la perete. Totodată:

$$\tilde{V} = V_f \left(\frac{z}{\delta} \right)^{1/7} \quad (3.125)$$

unde cu V_f s-a notat viteza la frontieră stratului limită de grosime δ .

Combinând (3.123 - 3.125) găsim expresia efortului tangen-

țial la perete:

$$\frac{1}{\delta} \zeta_{p,r,\theta} = \left(\frac{v_{f,r,\theta}}{8,74} \right)^{7/4} \left(\frac{r}{\delta} \right)^{1/4} = 0,0225 v_{f,r,\theta}^2 \left(\frac{r}{v_{f,r,\theta} \delta} \right)^{1/4} \quad (3.126)$$

Notă. Sistemul de coordonate a fost modificat astfel încât capacele se află la $z=0$.

In vecinătatea peretilor subzistă doar v_r și v_θ , v_z devinind nulă,

Inmulțind primele 2 ecuații din (3.126) cu r și integrând pe grosimea stratului limită găsim:

$$\left\{ r \int_0^\delta \tilde{v}_r \frac{\partial \tilde{v}_r}{\partial r} dz - \int_0^\delta v_\theta dz = - \frac{r}{\delta} \int_0^\delta \frac{\partial p}{\partial r} dz + r \int_0^\delta v_r dz + \frac{\zeta_{p,r}}{\delta} \Big|_0^\delta \quad (3.127) \right.$$

$$\left. \left\{ r \int_0^\delta v_r \frac{\partial v_\theta}{\partial r} dz - \int_0^\delta v_r dz = r \int_0^\delta v_\theta dz + \frac{1}{\delta} \zeta_{p,\theta} \Big|_0^\delta \quad (3.128) \right. \right.$$

In ecuațiile (3.127-3.128) $\zeta_{p,r,\theta}$ reprezintă efortul tangențial la perete datorat componentelor de viteză v_r , v_θ .

Tinând cont de (3.122), (3.125), (3.126) găsim:

$$\left\{ \begin{array}{l} \frac{\zeta_{p,r}}{\delta} = 0,225 \left[\frac{1}{4} \zeta B_o^2 \frac{\omega_o - \omega}{\omega} \cdot r \right]^{7/4} \left(\frac{r}{\delta} \right)^{1/4} \\ \frac{\zeta_{p,\theta}}{\delta} = 0,0285 \left[\omega r \right]^{7/4} \left(\frac{r}{\delta} \right)^{1/4} \end{array} \right. \quad (3.129)$$

iar apoi din (3.127-3.128)

$$\left\{ \begin{array}{l} \frac{A^2 \Omega (7\Omega + 18) - (\frac{\omega_o}{1 + \Omega})^2 (72\Omega^2 - 144\Omega - 112)}{3,14 (\frac{A}{4} \Omega r)^{7/4} \cdot \nu^{1/4}} r^2 \delta^{5/4} = 1 \\ \frac{-4 \omega_o \Omega (1 + \Omega)}{0,045 (\omega_o r)^{7/4} \cdot \nu^{1/4} \cdot r^2 \delta^{5/4}} = 1 \end{array} \right. \quad (3.130)$$

Combinând cele 2 relații (3.130) găsim:

$$\frac{\Lambda \omega_0 \Omega (1 + \Omega)^{3/4}}{0,045 \omega_0^{7/4}} = \frac{\left(\frac{\omega_0}{1+\Omega}\right)^2 (72\Omega^2 - 144\Omega - 112) - \Lambda^2 \Omega (7\Omega + 18)}{3,14 \left(\frac{\Lambda \Omega}{4}\right)^{7/4}}$$

In relatiile (3.130), (3.131) s-au facut notatiile:

$$\sigma B_0^2 = \Lambda; \frac{\omega_0 - \omega}{\omega} = \frac{\omega_0}{\omega} - 1 = \Omega$$

Ecuatia (3.131) permite determinarea lui Ω (respectiv ω) pentru diverse valori a lui ω_0 respectiv B_0 . Modul acesta de procedura este diferit de cel folosit in [56], unde, datorita considerarii vitezelor pe frontiera stratului limita ca fiind cunoscute, cu exceptia unei constante, este nevoie de o relatie in plus.

In acest scop se utilizeaza ecuatia de conservare a momentului cinetic:

$$\int_0^R 2\pi r^2 |\zeta_0| dr = \int_0^R \int_0^{h/2} |f_0| \cdot 2\pi r^2 dr dz \quad (3.152)$$

Problema cufercerii turbulentelor in conducte de dimensiuni finite sub actiunea fortelelor electromagnetice produse de un inductor circular a fost studiată și în [50] dar cu utilitatea unui număr mai mare de ipoteze simplificatoare. Parametrii hidrodinamici au fost calculați cu ajutorul calculatorului electronic, folosind metoda creșterilor finite.

Analizind modelul propus in [54] se pot face cîteva observații critice.

Astfel, forma componentelor vitezei (3.124) este nevero-similă din punct de vedere al lui V_r și V_z . Existenta unei componente radiale crescătoare liniar cu rază și independentă de (z) nu poate fi explicată fizic, la fel cum nici componenta v_z dependentă numai de z nu poate explica pe unde se întoarce fluidul în zona centrală.

Analizind forma cîmpului invîrtitor 3.15.b raportată la structura concretă a inductorului trifazic cu o singură perche de poli (figura nr. 3.19) la un moment " t_0 " dat, la care intensitatea maximă a cîmpului o are perchea de poli 1.1-1,2, iar perchele 2.1 - 2.2, respectiv 3.1 - 3.2 au valorile:

indicate în diagrama din figura nr. 3.20.

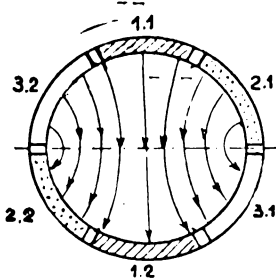


Figura nr. 3.19

Distribuția liniilor de cîmp arată clar apariția componentei B_r "vinovată" de apariția componentelor V_r și V_z ale mișcării parazite suprapusă mișcării de rotație.

Se observă însă că distribuția $B_0(\theta)$ este discontinuă și că sub această formă componenta B_0 se rotește cu viteza unghiulară ω_0 a cîmpului. Componentele forței Lorentz f_r și f_z au sensuri diferite în cele două zone

ale cilindrului alăturate perechii de poli 1.1 - 1.2, ca în figura nr. 3.21 fapt ce a fost omis prin acceptarea uniformității cîmpului.

Componentele forței Lorentz se pot calcula astfel:

$$\bar{f} = \bar{J} \times \bar{B} \quad (\text{Forță Lorentz}) \quad (3.133)$$

$$\bar{J} = \sigma (\bar{E} + \bar{v} \times \bar{B}) \quad (\text{Ohm}) \quad (3.134)$$

$$\bar{V} = V_r \bar{i}_r + V_{\theta} \bar{i}_{\theta} + V_z \bar{i}_z$$

Cîmpul electric aplicat $\bar{E} = 0$.

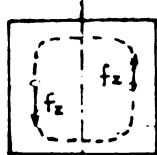
$$\bar{B} = B_r \bar{i}_r + B_{\theta} \bar{i}_{\theta}$$

$$B_r = B_0 \sin(\theta - \omega_0 t)$$

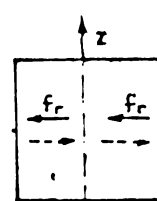
$$B_{\theta} = B_0 \cos(\theta - \omega_0 t)$$

Rezultă imediat:

$$\bar{f} = \sigma (\bar{v} \times \bar{B}) \times \bar{B}$$



a)



b)

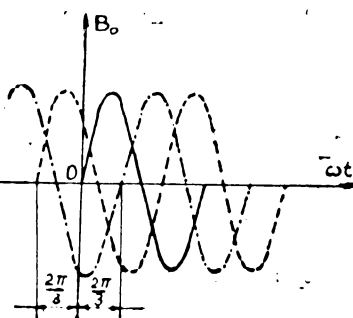


Figura nr. 3.20

$$(3.135)$$

Figura nr. 3.21

Efectuind produsele vectoriale și proiectând pe axele sistemului de coordinate găsim:

$$\left\{ \begin{array}{l} f_r = V_0 B_0^2 \cos(\theta - \omega_0 t) \sin(\theta - \omega_0 t) - \epsilon V_r B_0^2 \cos^2(\theta - \omega_0 t) \end{array} \right. \quad (3.136)$$

$$\left\{ \begin{array}{l} f_\theta = V_r B_0^2 \sin(\theta - \omega_0 t) \cos(\theta - \omega_0 t) - \epsilon V_0 B_0^2 \sin^2(\theta - \omega_0 t) \end{array} \right. \quad (3.137)$$

$$\left\{ \begin{array}{l} f_z = V_z B_0 [\sin^2(\theta - \omega_0 t) + \cos^2(\theta - \omega_0 t)] \end{array} \right. \quad (3.138)$$

Pentru un " θ " dat (pentru simplitate se admite $\theta=0$) vor media în timp f_r , f_θ , f_z .

Astfel:

$$f_r = \epsilon V_0 B_0^2 \frac{1}{T} \int_0^T \frac{1}{2} \sin^2(-\omega_0 t) dt - \epsilon V_r B_0^2 \frac{1}{T} \int_0^T \cos^2(-\omega_0 t) dt;$$

cum $T = \frac{2\pi}{\omega_0}$, prima integrală se anulează și din cea de a 2-a rămîne:

$$f_r = -\frac{\epsilon B_0^2 V}{T} \left[\frac{1}{4} \sin(-2\omega_0 T) + \frac{1}{2} \omega_0 T \right] = -\frac{1}{2} \epsilon B_0^2 V_r \quad (3.139)$$

Procedînd similar se găsește:

$$f_\theta = \frac{\epsilon B_0^2}{2} (\omega_0 r) \left[1 - \frac{V_0}{\omega_0 r} \right] \quad (3.140)$$

$$f_z = -\epsilon B_0^2 V_z \quad (3.141)$$

Notă: Componența tangențială a vitezei care produce forță trebuie considerată viteza relativă dintre cimp și fluid adică: $(\omega_0 r - V_0)$.

Medierea făcută poate fi acceptată datorită vitezei mari de variație a cimpului care nu poate fi urmărită fidel de fluid, acesta avînd rolul unui "volant" care "netezegă" mișcarea.

Cu toate avantajele enumerate, acest model nu poate satisface în întregime, mai ales pentru cazul concret al giroscopului construit unde pentru motivele arătate anterior s-a optat pentru o formă a vasului cuprinsă între doi cilindri coaxiali, cu extensie radială mică - 6 mm ($R_1 = 24$ mm; $R_2 = 30$ mm) și înălțime $h = 40$ mm.

Distribuția cîmpului va fi diferită (figura nr.3.22) față de modelul [55].

După cum se observă, componenta tangențială a cîmpului

va fi minimă, dată practic de cîmpul de scăpări, și neglijabilă în comparație cu B_r . Acest fapt este avantajos, căci componentele V_r și V_z care perturbă funcționarea giroscopului devin neglijabile ($f_r = f_z = 0$)

Pe de altă parte, valoarea inducției B_r va fi variabilă ~~linear~~ cu raza. Deoarece $\nabla \cdot \vec{B} = 0$ găsim:

$$\frac{B_r}{r} + \frac{dB_r}{dr} = 0 \text{ sau } \ln B_r = -\ln r + \ln C = \ln \frac{C}{r}$$

Cum la $r = R_1$, $B_r = B_1$ avem: $B_1 = \frac{C}{R_1}$ și deci $C = B_1 R_1$, iar $B_r = B_1 \frac{R_1}{r}$ (3.142)

Cu aceste observații și considerind mișcarea staționară și axial simetrică ($\frac{\partial \vec{v}}{\partial \theta} = 0$; $\frac{\partial \vec{v}}{\partial \phi} = 0$), proprietățile fluidului (β, σ, ν) constante, iar forțele masice neglijabile, ecuațiile de continuitate și de mișcare pentru giroscopul reprezentat în figura nr. 3.23, se scriu:

$$\left\{ \begin{array}{l} (\vec{v} \cdot \vec{v}) \vec{v} = \vec{r} - \frac{1}{\beta} \nabla p + \nu \Delta \vec{v} \\ \nabla \cdot \vec{v} = 0 \\ \nabla \cdot \vec{B} = 0 \end{array} \right.$$

Efectuind proiecțiile pe sistemul de coordonate ales și ținând cont că $f_r = f_z = 0$, $V_r, V_z \approx 0$, găsim:

$$-\frac{V_\theta^2}{r} = -\frac{1}{\beta} \frac{\partial p}{\partial r}$$

$$0 = f_\theta + \nu \left[\frac{\partial^2 V_\theta}{\partial r^2} + \frac{1}{r} \frac{\partial V_\theta}{\partial r} - \frac{V_\theta}{r^2} + \frac{\partial^2 V_\theta}{\partial z^2} \right] \quad (3.144)$$

$$0 = \frac{1}{\beta} \frac{\partial p}{\partial z}$$

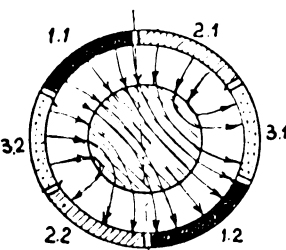


Figura nr. 3.22

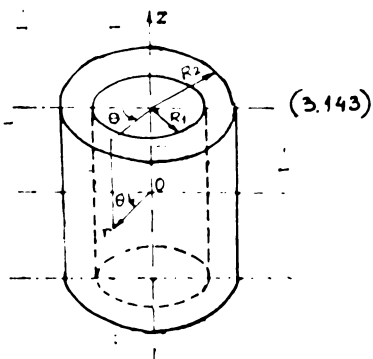


Figura nr. 3.23

Ecuatia de continuitate este satisfacta identic.

Ultima relatie din (3.144) ne conduce la:

$$p \neq p(z) \text{ si deci } \frac{\partial p}{\partial r} = \frac{dp}{dr} = F(r)$$

Examinind si prima relatie:

$$\frac{v^2}{r} - \frac{1}{\rho} \frac{dp}{dr} = F(r) \Leftrightarrow v_0^2 \approx r \cdot F(r)$$

adică $v_0 = v_0(r)$.

(3.145)

Aceasta ipoteza poate fi acceptata pentru tota masa fluidului, mai putin zonele din proximitatea capacelor.

$$\text{Inlocuind in ecuatie a doua din (3.144) } f_0 = \frac{1}{2} \frac{6B^2}{\rho} (\omega_0 r + v_0)$$

$B(r) = \frac{B_1 R_1}{r}$ si tinind cont ca $\frac{\partial v_0}{\partial z} = 0$ gasim:

$$\downarrow \left(\frac{\partial^2 v_0}{\partial r^2} + \frac{1}{r} \frac{\partial v_0}{\partial r} - \frac{v_0}{r^2} \right) = - \frac{\sigma B_1^2 R_1^2}{2 \rho r^2} (\omega_0 r - v_0)$$

sau incat:

$$r^2 \frac{\partial^2 v_0}{\partial r^2} + r \frac{\partial v_0}{\partial r} - \left(1 + \frac{B_1^2 R_1^2}{2 \rho} \right) v_0 = - \frac{B_1^2 R_1^2}{2} \cdot \omega_0 r \quad (3.146)$$

$$\text{Notind } \left(1 + \frac{B_1^2 R_1^2}{2 \rho} \right) = q^2 = (1 + N);$$

$$\frac{B_1^2 \rho R_1^2}{2 \rho} = N = \frac{H^2}{2}$$

ecuatie (3.146) se scrie:

$$r^2 v_0'' + r v_0' - q^2 v_0 = -N \omega_0 r \quad (3.147)$$

Ecuatia omogenă asociată admite solutii de forma:

$$v_0 = r^n \quad (3.148)$$

de unde: $v_0' = n \cdot r^{n-1}$; $v_0'' = n(n-1)r^{n-2}$ si $n(n-1)r^{n-2} \cdot r^2 + nr^{n-1} \cdot r = -q^2 r^n \Rightarrow 0$

sau $n(n-1) + n = q^2$ si deci:

$$n = \pm q = \pm \sqrt{1+N} \quad (3.149)$$

Găsim astfel:

$$v_0 = A r^n + \frac{B}{r^n} \quad (3.150)$$

Ecuatia (3.147) admite o solutie particulară de forma:

$$v_0 = Cr \quad (3.151)$$

Intr-adevăr:

$$C \cdot r = C\eta^2 r = -N\omega_0 r, \text{ sau înca}$$

$$C(1 - \eta^2) = -N\omega_0$$

$$C = \frac{N\omega_0}{\eta^2 - 1} = \frac{N\omega_0}{1 + N - 1} = \omega_0$$

$$C = \omega_0 \quad (3.152)$$

Soluția generală a ecuației (3.147) va fi:

$$v_0 = A \cdot r^n + \frac{B}{r^n} + \omega_0 r \quad (3.153)$$

Punind condițiile la limită:

$$v_0 = 0 \text{ pentru } r = R_1 \text{ și } r = R_2$$

obținem:

$$\begin{cases} 0 = AR_1^n + \frac{B}{R_1^n} + \omega_0 R_1 \\ 0 = AR_2^n + \frac{B}{R_2^n} + \omega_0 R_2 \end{cases}$$

și în final:

$$\begin{cases} A = -\omega_0 \frac{R_2^{n+1} - R_1^{n+1}}{R_2^{2n} - R_1^{2n}} \\ B = -\omega_0 \left(\frac{R_1 R_2^n - R_2 R_1^n}{R_2^{2n} - R_1^{2n}} \right) (R_1 R_2)^n \end{cases} \quad (3.154)$$

Tinând cont de faptul că $B \ell \sqrt{\frac{\sigma}{\rho v}} = H_a$ (în cazul nostru $\ell = R_1$) exponentul n se poate scrie:

$$n = \sqrt{1 + \frac{\theta B_1^2 R_1^2}{2 \rho v}} = \sqrt{1 + \frac{H_a^2}{2}}$$

Expresia distribuției de viteze $v_0(r)$ devine:

$$\begin{aligned}
 v_0 = \omega_0 \left[r - \frac{\sqrt{1 + \frac{H_a^2}{2}} + 1}{R_2^2} - R_1 \sqrt{1 + \frac{H_a^2}{2}} + 1 - \sqrt{1 + \frac{H_a^2}{2}} \right. \\
 - \frac{R_2^2 \sqrt{1 + \frac{H_a^2}{2}} - R_1^2 \sqrt{1 + \frac{H_a^2}{2}}}{(R_1 R_2) \cdot (R_1 R_2 - R_2 R_1)} \left. - \frac{1}{\sqrt{1 + \frac{H_a^2}{2}}} \right] \\
 (3456)
 \end{aligned}$$

Pentru trasarea grafică a profilului vitezei tangențiale s-a întocmit un program de calcul (anexa nr. 1 b). Curvele obținute sunt date în figurile nr. 3.60 → 3.65

Se observă ușor că pentru $n \rightarrow \infty$, $v_0 \rightarrow \omega_0 r$. De asemenea, analizând alura curbelor obținute se pot trage concluzii interesante sub aspect practic.

Astfel, pentru valori ale lui n ce depășesc 80-100 ($H_a = 110 - 140$) creșterea vitezei maxime este nesemnificativă, fapt explicat prin creșterea importantă a disipației viscoase și a pierderilor prin efectul Joule-Lenz. De asemenea, în acest domeniu, al numărului Hartman, se observă o liniarizare a profilului vitezei tangențiale, zona de disipație viscoasă de la perete fiind din ce în ce mai mică pe măsura creșterii numărului H_a , iar gradientul vitezei din ce în ce mai mare, fapt ce susține afirmația anterioară cu privire la creșterea disipației viscoase.

Programul pentru calculul vitezei este dat în anexă.

• 3.43 Misarea fluidului electroconductor în proximitatea
capacelor G.M.H.D.

Problema mișcării de rotație a fluidelor electroconduc-toare în vecinătatea pereților frontalii ai incintelor ce le conțin este abordată în numeroase lucrări din literatură [55], [53, 54, 51, 49], în diverse ipoteze. Astfel, în [55] se admite existența unui strat limită de tip turbulent cu un profil de viteză de forma:

$$\frac{\tilde{v}}{v^x} = C \left(\frac{v^x z}{\nu} \right)^{1/n} \quad (3.157)$$

și se presupune că întreaga disipație viscoasă se produce numai în proximitatea capacelor, fapt ce permite determinarea unor mărimi ce stabilesc distribuția de viteză în întregul volum de lumen al G.M.H.D. Modul acesta de abordare cap.(3.42) prezintă cel puțin două inconveniente. Pe de o parte, așa cum s-a arătat anterior(3.42) în vecinătatea pereților cilindrici ai incintei are loc o disipație puternică de natură viscoasă, iar pe de altă parte, problema existenței unei mișcări turbulente este discutabilă. Problema stabilității mișcării este destul de mult abordată în lucrările de specialitate, în totalitatea cazurilor prin metoda perturbațiilor [51, 58, 73, 92] care constituie singura posibilitate de analiză teoretică, cel puțin pînă în momentul de față. În comparație cu hidrodinamica clasică, studiul stabilității mișcării fluidelor electroconductive este mai dificil, deoarece trebuie să se țină seama și de perturbațiile cîmpului electromagnetic. Criteriile teoretice de trecere la mișcarea turbulentă propuse depășesc de regulă cu mult valorile stabilite pe bază experimentală, faptul datorindu-se, după cîte se pare, existenței unor perturbații finite, în timp ce tratarea teoretică folosește perturbații infinit mici. Totuși, ca o regulă generală, se poate afirma că prezența cîmpului are un efect stabilizator asupra mișcării, fapt confirmat și de cercetările experimentale. Astfel, Murgatroyd [92], analizînd rezultatele experimentale obținute de Hartmann-Lazarus, Lock g.a., a propus următorul criteriu privitor la trecerea de la mișcarea laminară la mișcarea turbulentă, în interiorul stratului limită:

$$Re_{cr} = 250 \frac{H_a^2 \cdot th(H_a)}{H_a - th(H_a)} \quad (3.158)$$

Cercetările ulterioare ale lui Branover și Lielausis, au confirmat justitatea criteriului propus. Astfel, studiind curgerea în canale M.H.D. și acceptând legile semiempirice de tip Prandtl propuse de Harris, aceștia au obținut o relație de calcul pentru coeficientul pierderilor hidraulice,

$$\lambda = \lambda_0 (1 + 2 f) \quad (3.159)$$

unde: λ_0 este coeficientul pierderilor hidraulice fără cimp ($\bar{B}, \bar{E} = 0$), iar f este numărul Stuart ($f = \frac{\mathcal{H}_a^2}{R_e}$). (3.160)

Drept criteriu al stabilității a fost folosit (3.158). În figura nr. 3.24 se arată corespondența valorilor date de relația (3.159) cu rezultatele experimentale.

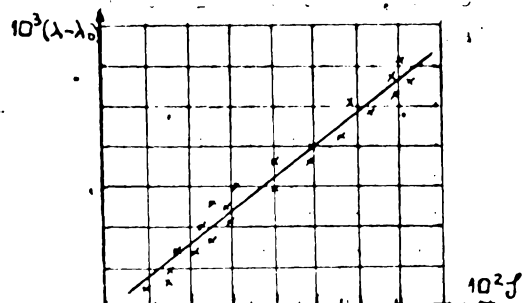


Fig 3.24.

Relația (3.158) conduce la $R_{\text{crit}} = 90.000$ pentru $\mathcal{H}_a = 100$, ceea ce, pentru cazul real de giroscop cercetat arată că suntem încă departe de apariția turbulentei ($R_a = 30-40.000$), deci există motive ca modelul propus [55] să nu fie accepțabil. Dintre modelele propuse, cel mai apropiat de cazul nostru este cel propus de [53] în care se admite existența unui strat de fricare de tip "disc în mișcare de rotație". În cinta se consideră formată din doi cilindri coaxiali, fluidul cu proprietăți constante, cimpul omogen și paralel cu axa cilindrilor. De asemenea, pentru restul domeniului, se admite existența unei singure componente a vitezei, cea tangențială și care variază cu raza după o lege de tipul:

$$V_r = r^n$$

Mișcarea se consideră staționară și axial simetrică

$$\frac{\partial}{\partial t} = 0; \frac{\partial}{\partial \theta} = 0$$

Să neglijeză de asemenea cîmpul magnetic induș în comparație cu cel inițial. Problema este rezolvată printr-o metodă integrală cu doi parametrii, analoagă metodei din teoria stratului limită din hidrodinamica clasică.

Alegind sistemul de coordonate cilindrice (r, θ, z) cu axa z trecind prin centrul discului și paralelă cu inducția \vec{B} , și considerind densitatea ρ , viscozitatea cinematică ν și conductivitatea σ constante, se pot introduce mărimele adimensionale:

$$\begin{aligned} \xi &= \frac{\sigma B_0^2 r}{\rho \nu}; \quad \eta = \frac{z}{\delta_M}; \quad J_M = \sqrt{\frac{\rho \nu}{\sigma B_0^2}}; \quad F_r = \frac{v_r}{\nu \xi}; \quad F_\theta = \frac{v_\theta}{\nu \xi}; \quad F_z = \frac{\delta_M v_z}{\nu}; \\ g_1 &= \frac{j_r}{\sigma \nu B_0}; \quad g_2 = \frac{j_\theta}{\sigma \nu B_0}; \quad g_3 = \frac{\delta_M \cdot j_z}{\nu \sigma B_0} \end{aligned} \quad (3.161)$$

unde v_r , v_θ și v_z sunt componentele vitezei în stratul limită iar j_r , j_θ , j_z , densitățile de curent după cele 3 axe. Notațiile ξ și η au fost adoptate din considerente de analiză dâmențională și parțial din condițiile la limită.

Cu aceasta, ecuațiile stratului limită se pot scrie sub formă adimensională astfel:

$$\left\{ \begin{array}{l} (1-n) \quad F_r \frac{\partial F_r}{\partial \xi} + \frac{\eta}{\xi} F_r^2 + F_z \frac{\partial F_r}{\partial \eta} + \frac{1}{\xi} (1 - F_\theta^2) = \frac{\partial^2 F_r}{\partial \eta^2} - F_r \\ (1-n) \quad F_r \frac{\partial F_\theta}{\partial \xi} + \frac{1+n}{\xi} F_r F_\theta + F_z \frac{\partial F_\theta}{\partial \eta} = \frac{\partial^2 F_\theta}{\partial \eta^2} + (1 - F_\theta) \\ (1-n) \quad \frac{\partial F_z}{\partial \xi} + \frac{1+n}{\xi} F_r F_z + \frac{\partial F_z}{\partial \eta} = 0 \\ g_1 = (1 - F_\theta); \quad g_2 = -F_r; \quad (1-n) \frac{\partial F_\theta}{\partial \xi} - \frac{1+n}{\xi} (1 - F_\theta) + \frac{\partial F_\theta}{\partial \eta} = 0 \end{array} \right. \quad (3.162)$$

Cu condițiile la limită:

$$\begin{array}{ll} F_r = 0; \quad F_\theta = 0; \quad F_z = 0, \quad g_3 = 0 & \text{la } \eta = 0 \\ F_r = 1; \quad F_\theta = 1 & \text{la } \eta \rightarrow \infty \end{array} \quad (3.163)$$

Eliminînd F_z din primele 3 ecuații și integrînd de la 0 la ∞ , cu respectarea (3.163) se obțin ecuațiile:

$$(1-n) \frac{\partial}{\partial \xi} \int_0^\infty F_r^2 d\xi + \frac{2n+1}{\xi} \int_0^\infty F_r^2 d\xi + \frac{1}{\xi} \int_0^\infty (1 - F_\theta^2) d\eta = -(\frac{\partial F_r}{\partial \eta})_0 - \int_0^\infty F_r d\eta$$

$$(1-n) \frac{\partial}{\partial \xi} \int_0^\infty F_r (1 - F_\theta) d\xi + \frac{1+n}{\xi} \int_0^\infty F_r (1 - 2F_\theta) d\xi = -(\frac{\partial F_\theta}{\partial \eta})_0 - \int_0^\infty (1 - F_\theta) d\eta \quad (3.164)$$

Soluția sistemului (3.164)

se căută pentru $\xi \geq 1$

sub forma unei serii de puteri cu exponent negativ al lui ξ . Reținând numai primii termeni ai dezvoltărilor se poate scrie:

$$\left\{ \begin{array}{l} F_r = \frac{1}{\xi} \left[(\gamma - \frac{1}{3}) e^{-\gamma} + \frac{1}{3} e^{-2\gamma} \right] \\ F_0 = 1 - e^{-\gamma} \end{array} \right. \quad (3.165)$$

$$(3.166)$$

F_0 , fiind o funcție cu variație monotonă între 0 și 1, cu ajutorul ei putindu-se determina mărimea adimensională

$$\delta = \int_0^\infty (1 - F_0) d\gamma \quad (3.167)$$

că caracterizează stratul de deplasare. Se observă că aceasta are valoarea 1, dacă folosim variabilele adimensionale alese. Graficele celor două funcții au alura din figura nr. 3.25-3.26

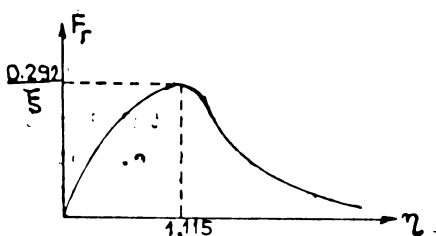


Figura nr. 3.25

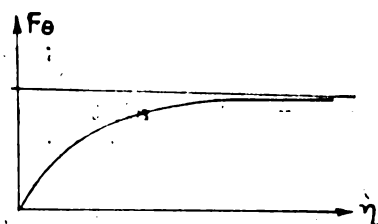


Figura nr. 3.26

Având în vedere cele arătate, se admit ca parametrii: grosimea stratului de deplasare $\delta = \delta^* / \delta_M$ și α , care caracterizează maximumul funcției F_r , astfel încât soluțiile (3.165) și (3.166) pot fi puse sub forma:

$$\left\{ \begin{array}{l} F_r = \frac{\alpha}{\xi} \left[\left(\frac{\gamma}{\delta} - \frac{1}{3} \right) e^{-\gamma/\delta} + \frac{1}{3} e^{-2\gamma/\delta} \right] \\ -\gamma/\delta \end{array} \right. \quad (3.168)$$

$$\left\{ \begin{array}{l} F_0 = 1 - e^{-\gamma/\delta} \end{array} \right. \quad (3.169)$$

Parametrii α și δ vor fi funcții de ξ și vor trebui să verifice condițiile la limită.

Inlocuind soluțiile (3.168) și (3.169) în (3.162)

și integrând, se obțin ecuațiile:

$$\left\{ \begin{array}{l} (1-n) \frac{\alpha \delta^2}{\xi} \frac{d\alpha}{d\xi} + (27n + 16) \frac{\alpha^2 \delta^2}{\xi^2} + \frac{\alpha \delta}{\xi} - 64\alpha + 9\delta^2 = 0 \\ \frac{1-n}{2} \frac{\alpha^2}{\xi} \frac{d}{d\xi} (\delta^2) - (46n + 32) \frac{\alpha^2 \delta^2}{\xi^2} - 37\alpha \delta^2 + 100\alpha - 9\delta^2 = 0 \end{array} \right. \quad (3.170)$$

Pentru $n=1$ sistemul devine un sistem algebric cu soluțiiile:

$$\left\{ \begin{array}{l} \alpha = \sqrt{(8,1\delta^2)^2 + 2(8,1\delta^2)} - (8,1\delta^2) \end{array} \right. \quad (3.172)$$

$$\left\{ \begin{array}{l} \delta = \frac{1}{1 + \frac{8}{9} \frac{\alpha}{\delta^2}} \end{array} \right. \quad (3.173)$$

unde S este numărul Stuart local (3.160).

Pentru năl ecuațiile pentru calculul lui α și σ constituie un sistem de două ecuații diferențiale neliniare de ordinul I, pentru care e dificil de găsit o soluție analitică.

Utilizând o dezvoltare în serie pentru α și σ de forma

$$\begin{cases} \alpha = 1 + \frac{A_1}{\xi} + \frac{A_2}{\xi^2} + \frac{A_3}{\xi^3} + \dots \\ \sigma = 1 + \frac{B_1}{\xi} + \frac{B_2}{\xi^2} + \frac{B_3}{\xi^3} + \dots \end{cases} \quad (3.174)$$

și înlocuind expresiile (3.144) în (3.170), (3.171) se obține un sistem algebric pentru calculul coeficienților A_i , B_i , cu soluția următoare:

$$\begin{cases} A_1 = B_1 = 0 \\ A_2 = -\frac{32}{81} + \frac{n}{3}; B_2 = -\frac{23}{36} - \frac{n}{4} \\ A_3 = 0; B_3 = 0 \\ A_4 = \frac{4}{9}B_4 - \frac{5}{9}A_2B_2 + \frac{12n+6}{9}A_2 + \frac{5n-2}{9}B_2 \\ B_4 = \frac{5n-37}{36}A_2 - \frac{2n+39}{36}B_2 \end{cases} \quad (3.175)$$

Pentru valori mici ale lui ξ sistemul poate fi integrat numeric. Rezultatele integrării pentru valori ale lui $n = 1, \frac{1}{2}, 0, -\frac{1}{2}, -1$, sunt date în graficele din figura nr. .

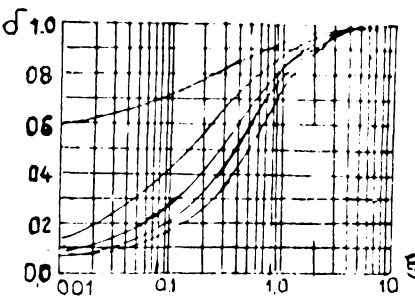
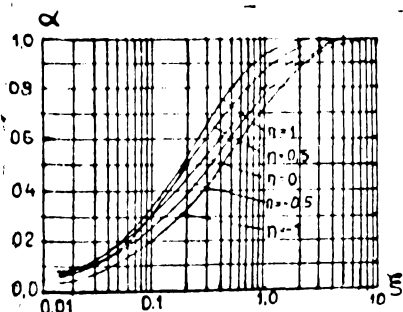


Figura nr. 3.27 corecte

Valorile pot fi acceptate ca fiind doar pînă la $\xi \approx 0,5$ iar pentru $\xi = 0$, profilul vitezelor admis, va difera mult de cel real [59] și rezultatele nu vor fi satisfăcătoare.

Pentru modele de giroscop construite, profilul vitezelor tangențiale este de forma

$$V_0 = \omega_0(r - Ar^n - Br^{-n}) \quad (3.177)$$

Urmărind însă graficele trasate, confirmate și de măsurători, se observă (figura nr. 3.28) că, exceptând zonele I și

II din vecinătatea peretilor cilindrici unde influența termenilor Ax^n și Bx^{-n} se face simțită, în zona centrală III, ce ocupă ma-

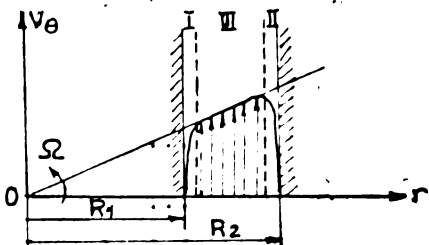


Figura nr. 3.28

Joritatea volumului la numere $\mathcal{H}_a \gg 80 - 100$, distribuția vitezelor este liniară: $V_0 = \Omega r$
ceea ce ne permite să admitem $n=1$ în dezvoltarea anterioară. În acest mod, în stratul de frecare vom avea două componente ale vitezei, date de relațiile (3.163,9) în care valorile lui α și δ , pentru $n=1$ se scoat din graficele din figura nr. 3.27. Se observă totodată că pentru $n=1$ putem scrie:

$$V_0 = V_0 \frac{\xi}{r_0} \text{ și } \xi = \frac{6B^2}{\rho \nu} = \text{ct} = \mathcal{F}$$

adică ξ este constant și are valoarea numărului Stuart local.

Cu această observație componentele vitezei V_r și V_θ vor avea expresiile:

$$V_r = \Omega^2 \cdot r \frac{\alpha_0 \cdot \rho}{6B^2} \left[\left(\frac{\sqrt{6B^2}}{\delta_0} r - \frac{1}{3} \right) \cdot \frac{\delta_0}{\delta_0} + \frac{1}{3} \right] \quad (3.178)$$

$$V_\theta = \Omega \cdot r \left(1 - \frac{\sqrt{6B^2}}{\delta_0} \right) \quad (3.179)$$

în care α_0 și δ_0 sunt valori corespunzătoare ale lui α și δ calculate cu (3.172) (3.173) sau scoase din graficele din figura nr. 3.27

Pentru relațiile (3.178) (3.179) s-a întocmit un program de calcul pentru diverse valori ale numărului Stuart (B variabil) și s-au traseat curbele de variație din figura nr. 3.74.a,b,c

Observatie: Relațiile (3.178) și (3.179) nu pot fi admise pentru zonele inelare de "colțurile" incintei, unde, probabil se va dezvolta un sistem de virtejuri, creând o zonă de turbulentă.

Neglijind acest aspect, este ușor de calculat valoarea momentului de frecare pe cele două capace:

$$\zeta_{\theta z_p} = 2\eta D_{\theta z} \quad (3.180)$$

unde $D_{\theta z}$ este componenta tensorului tensiunilor, iar $\zeta_{\theta z}$ eforul tangențial pe capace. Cum:

$$D_{\theta z} = \frac{1}{2r} \frac{\partial V_z}{\partial r} + \frac{1}{2} \frac{\partial V_\theta}{\partial z} \quad (3.181)$$

Vom putea scrie:

$$\begin{aligned} \zeta_{\theta z_p} &= \eta \frac{\partial V_\theta}{\partial z} \Big|_{z=0} \\ \zeta_{\theta z} &= \eta \Omega r (1 + \epsilon \frac{\sqrt{\frac{\zeta_B^2}{\zeta_V}}}{\delta^0} \cdot z)_{z=0} = 2\eta \Omega r \quad (3.182) \\ M_{f_c} &= \int_{R_1}^{R_2} 2\eta \Omega r \cdot 2\pi r dr = 4\pi \eta \Omega \frac{(R_2^3 - R_1^3)}{3} \quad (3.183) \end{aligned}$$

Pentru determinarea momentului de frecare pe peretei laterali, cilindrici, ai incintei, se utilizează profilul vitezei tangențiale determinat anterior, astfel incit:

$$\begin{aligned} \zeta_p &= \eta \frac{\partial V_\theta}{\partial r} \Big|_{r=R_1, R_2} \\ M_{f_1} &= 2\pi \eta R_1 h \omega_0 \left(1 - nAr^{n-1} + \frac{nB}{r^{n+1}} \right) \quad (3.184) \end{aligned}$$

$$M_{f_2} = 2\pi \eta R_2 h \omega_0 \left(1 - nAr^{n-1} + \frac{nB}{r^{n+1}} \right) \quad (3.185)$$

De valoarea momentului total de frecare

$$M_f = M_{f_1} + M_{f_2} + 2M_{f_c} \quad (3.186)$$

trebuie ținut cont la analiza echilibrului termic.

3.5 Ecuatiile diferențiale ale mișcării în cazul funcționării ca girometru

Încinta cilindrică a giroscopului M.H.D. se află montată pe un suport (navă, rachetă, avion etc.), fiind legată rigid de acesta. Atât timp cât suportul este în repaus, sau în mișcare de tranziție uniformă față de Pămînt ecuațiile (3.144) descriu mișcarea mercurului în încintă precum și distribuția de presiuni. Dacă însă acesta execuță o mișcare generală față de un reper presupus inertial (legat de Pămînt), distribuțiile de viteză și de presiuni se schimbă.

Ecuatiile de mișcare au la bază legea fundamentală a dinamicii ($\bar{F} = m\ddot{\bar{r}}$) care este valabilă numai pentru sisteme de referință inertiiale. În cazul unui sistem neinertial apar forțe de inerție suplimentare de care trebuie să se țină seama. Fie sistemul inertial OXYZ și sistemul mobil oxz care are o mișcare arbitrară față de primul (figura nr.3.29).

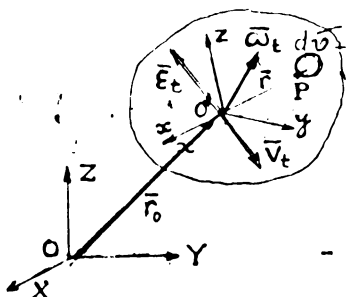


Figura nr. 3.29

Fie \bar{r}_0 vectorul de poziție al originii sistemului mobil față de sistemul fix OXYZ și \bar{r} vectorul de poziție față de sistemul mobil al unui volum elementar dV , de masă $dm = \rho dV$.

Acceleratia absolută a particulei de masă dm va fi:

$$\bar{a}_a = \bar{a}_r + \bar{a}_t + \bar{a}_c \quad (3.187)$$

$$\bar{a}_r = \dot{\bar{v}}_r = \frac{d\bar{v}}{dt} \quad (3.188)$$

$$\bar{a}_t = \dot{\bar{v}}_t + \bar{\omega}_t^x (\bar{\omega}_t x \bar{r}) + \bar{\epsilon}_t x \bar{r} \quad (3.189)$$

$$\bar{a}_c = 2 \bar{\omega}_t x \bar{v}_r \quad (3.190)$$

unde, $\bar{\omega}_t$, $\bar{\epsilon}_t$ sunt viteza unghiulară, respectiv acceleratia unghiulară a rotației pură a sistemului mobil față de cel fix.

Sau:

$$\bar{a}_a = \dot{\bar{v}}_t + \bar{\omega}_t x (\bar{\omega}_t x \bar{r}) + (\bar{\epsilon}_t x \bar{r}) + 2 \bar{\omega}_t x \bar{v}_r + \dot{\bar{v}}_r \quad (3.191)$$

Ecuatia fundamentală a dinamicii se scrie:

$$d\bar{F} = \bar{a}_a \cdot dm \text{ sau} \quad (3.192)$$

$$d\bar{F} = [\dot{\bar{v}}_t - \bar{\omega}_t^2 \cdot \bar{r} + \bar{\epsilon}_t x \bar{r} + 2 \bar{\omega}_t x \bar{v}_r + \dot{\bar{v}}_r] dm \quad (3.193)$$

Care poate fi scrisă și astfel:

$$\frac{d\bar{v}_r}{dt} dm = d\bar{F} = [\frac{d\bar{v}_t}{dt} - \bar{\omega}_t^2 \cdot \bar{r} + \bar{\epsilon}_t x \bar{r} + 2 \bar{\omega}_t x \bar{v}_r] dm \quad (3.194)$$

Ecuatia (3.194) arata ca este posibila scrierea ecuatiilor de miscare fara de sistemul mobil cu conditia introducerii fortelelor de inerție de transport și Coriolis elementare.

Tinind cont de acestea, ecuatia de miscare a merourului fara de incinta legata de sistemul mobil se poate scrie:

$$\frac{d\bar{V}}{dt} = \bar{f}_m + \bar{f}_e - \frac{1}{\rho} \nabla p + \nu \Delta \bar{V} - \frac{d\bar{V}_t}{dt} - \bar{\omega}_t \times \bar{\omega}_t \times \bar{r} - 2\bar{\omega}_t \times \bar{v}_r \quad (3.195)$$

unde: \bar{f}_m ; \bar{f}_e sunt fortele masice elementare, respectiv fortele de natura electrica, elementare (Lorentz).

Tinind cont de forma specifica a incintei se admite un sistem de coordonate mobile cilindrice. Pentru a nu aparea confuzii de notare viteza fara de sistemul mobil se va nota in continuare simplu \bar{V} . Deoarece: $\bar{V} = V_r \bar{I}_r + V_\theta \bar{I}_\theta + V_z \bar{I}_z$; $\bar{r} = r \bar{I}_r$; $\bar{V}_t = V_t \bar{I}_r + V_{t_\theta} \bar{I}_\theta + V_{t_z} \bar{I}_z$; $\bar{\omega}_t = (\omega_t)_r \bar{I}_r + (\omega_t)_\theta \bar{I}_\theta + (\omega_t)_z \bar{I}_z$; $\bar{\epsilon}_t = (\epsilon_t)_r \bar{I}_r + (\epsilon_t)_\theta \bar{I}_\theta + (\epsilon_t)_z \bar{I}_z$; $\bar{f}_m = 0$;

$$-\bar{r}_\theta = -\frac{1}{2} \sigma B_o^2 V_r \bar{I}_r + \frac{\sigma B_o^2}{2} \omega_\theta r (1 - \frac{V_\theta}{\omega_\theta r}) \bar{I}_\theta - \sigma B_o^2 V_z \bar{I}_z$$

si intrucat miscarea nu mai poate fi considerata stationara, nici axial simetrica, ecuatia (3.195) se va proiecta pe sistemul de coordonate astfel:

$$\begin{aligned} & \frac{\partial \bar{V}_r}{\partial t} + V_r \frac{\partial \bar{V}_r}{\partial r} + \frac{V_\theta}{r} \frac{\partial \bar{V}_r}{\partial \theta} + V_z \frac{\partial \bar{V}_r}{\partial z} - \frac{V_\theta^2}{r} = -\frac{1}{2} \sigma B_o^2 V_r - \frac{1}{\rho} \frac{\partial p}{\partial r} + \\ & + \nu \left(\frac{\partial^2 \bar{V}_r}{\partial r^2} + \frac{1}{r} \frac{\partial \bar{V}_r}{\partial r} - \frac{V_r}{r^2} + \frac{1}{r^2} \frac{\partial^2 \bar{V}_r}{\partial \theta^2} + \frac{\partial^2 \bar{V}_r}{\partial z^2} - \frac{2}{r^2} \frac{\partial \bar{V}_\theta}{\partial \theta} \right) + \\ & + \omega_t r \sin^2 \theta - 2 [V_z \omega_{t_\theta} - V_\theta \omega_{t_z}] - \left(\frac{d\bar{V}_t}{dt} \right)_r \end{aligned} \quad (3.196)$$

$$\begin{aligned} & \frac{\partial \bar{V}_\theta}{\partial t} + \frac{V_\theta}{r} \frac{\partial \bar{V}_\theta}{\partial \theta} + V_z \frac{\partial \bar{V}_\theta}{\partial z} + V_r \frac{\partial \bar{V}_\theta}{\partial r} + \frac{V_\theta V_\theta}{r} - \frac{\sigma B_o^2}{2} \omega_\theta r (1 - \frac{V_\theta}{\omega_\theta r}) = \\ & = -\frac{1}{\rho r} \frac{\partial p}{\partial \theta} + \nu \left[\frac{\partial^2 \bar{V}_\theta}{\partial r^2} + \frac{1}{r} \frac{\partial \bar{V}_\theta}{\partial r} - \frac{V_\theta}{r^2} + \frac{1}{r^2} \frac{\partial^2 \bar{V}_\theta}{\partial \theta^2} + \frac{\partial^2 \bar{V}_\theta}{\partial z^2} + \frac{2}{r^2} \frac{\partial \bar{V}_r}{\partial \theta} \right] - \\ & - r \epsilon_z - 2 (V_r \omega_{t_z} - V_z \omega_{t_r}) - \left(\frac{d\bar{V}_t}{dt} \right)_\theta + \omega_t^2 r \sin \theta \cos \theta \end{aligned} \quad (3.197)$$

$$\begin{aligned} & \frac{\partial \bar{V}_z}{\partial t} + V_z \frac{\partial \bar{V}_z}{\partial z} + V_r \frac{\partial \bar{V}_z}{\partial r} + \frac{V_\theta}{r} \frac{\partial \bar{V}_z}{\partial \theta} = -\sigma B_o^2 V_z - \frac{1}{\rho} \frac{\partial p}{\partial z} + \nu \left(\frac{\partial^2 \bar{V}_z}{\partial r^2} + \frac{1}{r} \frac{\partial \bar{V}_z}{\partial r} \right. \\ & \left. + \frac{1}{r^2} \frac{\partial^2 \bar{V}_z}{\partial \theta^2} + \frac{\partial^2 \bar{V}_z}{\partial z^2} \right) - 2 (V_\theta \omega_{t_r} - V_r \omega_{t_\theta}) + \epsilon_r r - \left(\frac{d\bar{V}_t}{dt} \right)_z \end{aligned} \quad (3.198)$$

Adăugind ecuația de conservare a masei:

$$\frac{\partial V_r}{\partial r} + \frac{V_r}{r} + \frac{1}{r} \frac{\partial V_\theta}{\partial \theta} + \frac{\partial V_z}{\partial z} = 0 \quad (3.199)$$

se obține un set de patru ecuații diferențiale care descriu cimpul de viteze și cimpul de presiuni.

Se observă complexitatea sistemului și se intrevăd dificultăți majore în soluționarea sa sub această formă.

Dacă însă se admite că suportul se deplasează cu viteza constantă ($\bar{V}_t = ct$, $\frac{dV_t}{dt} = 0$) și că rotația pură este uniformă ($\bar{\omega}_t = \omega_t$, $\bar{\omega}_t = \omega_r \cdot I_r + \omega_\theta \cdot I_\theta$, $\bar{E}_t = 0$) adică suportul execută o mișcare de rotație uniformă în jurul axei de translație, mișcarea devine staționară și pentru sistemul de coordonate din figura nr. 1. ecuațiile (3.196 - 3.198) se scriu:

$$\begin{aligned} & V_r \frac{\partial V_r}{\partial r} + \frac{V_\theta}{r} \frac{\partial V_r}{\partial \theta} + V_z \frac{\partial V_r}{\partial z} - \frac{V_\theta^2}{r} = - \frac{1}{2} \sigma B_o^2 V_r - \frac{1}{r} \frac{\partial p}{\partial r} + \\ & + \gamma \left(\frac{\partial^2 V_r}{\partial r^2} + \frac{1}{r} \frac{\partial V_r}{\partial r} - \frac{V_r}{r^2} + \frac{1}{r^2} \frac{\partial^2 V_r}{\partial \theta^2} \right) + \frac{\partial^2 V_r}{\partial z^2} - \frac{2}{r^2} \frac{\partial V_\theta}{\partial \theta} + \\ & + \omega_t^2 r \sin^2 \theta + 2V_z \omega_t - \sin \theta \end{aligned} \quad (3.200)$$

$$\begin{aligned} & \frac{V_\theta}{r} \frac{\partial V_\theta}{\partial \theta} + V_z \frac{\partial V_\theta}{\partial z} + V_r \frac{\partial V_\theta}{\partial r} + \frac{V_r V_\theta}{r} = - \frac{\sigma B_o^2 \omega_r r}{r^2} \left(1 - \frac{V_\theta}{\omega_r r} \right) - \\ & - \frac{1}{r} \frac{\partial p}{\partial \theta} + \gamma \left[\frac{\partial^2 V_\theta}{\partial r^2} + \frac{1}{r} \frac{\partial V_\theta}{\partial r} - \frac{V_\theta}{r^2} + \frac{1}{r^2} \frac{\partial^2 V_\theta}{\partial \theta^2} + \frac{\partial^2 V_\theta}{\partial z^2} + \frac{2}{r^2} \frac{\partial V_r}{\partial \theta} \right] + \\ & + 2V_z \omega_t \cos \theta - \omega_t^2 r \sin \theta \cos \theta \end{aligned} \quad (3.201)$$

$$\begin{aligned} & V_z \frac{\partial V_z}{\partial z} + V_r \frac{\partial V_z}{\partial r} + \frac{V_\theta}{r} \frac{\partial V_z}{\partial \theta} = - \sigma B_o^2 V_z - \frac{1}{r} \frac{\partial p}{\partial z} + \\ & + \gamma \left[\frac{\partial^2 V_z}{\partial r^2} + \frac{1}{r} \frac{\partial V_z}{\partial r} + \frac{1}{r^2} \frac{\partial^2 V_z}{\partial \theta^2} + \frac{\partial^2 V_z}{\partial z^2} \right] - 2[V_\theta \omega_{tr} - V_r \omega_{tz}] + \\ & + \omega_t^2 z \cos^2 \theta \end{aligned} \quad (3.202)$$

De asemenea în sistemul de coordonate ales putem scrie:

$$\begin{cases} \bar{\omega}_t = \omega_t \cos \theta I_r - \omega_t \sin \theta I_\theta \\ V_r = V_t = V_z = 0 \text{ la } r = R_1; r = R_2; \\ V_r = V_\theta = V_z = 0 \text{ la } z = h \end{cases} \quad (3.203)$$

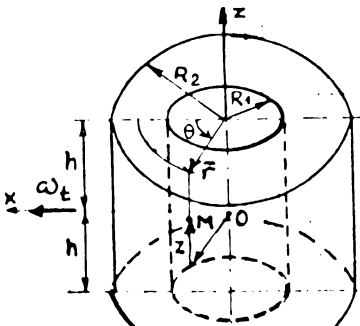


Figura nr. 3.30

Adăugind ecuația (3.199) se obține un sistem de patru ecuații cu patru necunoscute:

$$\begin{cases} V_r = V_r(r, \theta, z, \omega_t); \\ V_\theta = V_\theta(r, \theta, z, \omega_t); \\ V_z = V_z(r, \theta, z, \omega_t); \\ p = p(r, \theta, z, \omega_t) \end{cases}$$

Din acestea interesează în mod special distribuția de presiuni $p = p(r, \theta, z, \omega_t)$.

Dacă simplificat față de forma anterioară sistemul este dificil, nu permite o integrare directă și de aceea se face o analiză a mărimii termenilor ce intră în compunerea ecuațiilor (3.201 - 3.203). O primă observație importantă este legată de faptul că viteza unghiulară de transport este mică ($\omega_t < 2\pi$ rad/s), ea având rol de perturbație a mișcării suportului, (avion, rachetă, navă etc.), perturbație pe care girometrul o sesizează iar organul de execuție al sistemului automat de navigație o anulează.

In comparație cu cazul mișcării neperturbate apar în plus termenii datorați accelerării de transport și accelerării Coriolis:

$$\begin{cases} \ddot{a}_t^n = \bar{\omega}_t (\bar{\omega}_t x \bar{r}) = -\omega_t^2 r \sin^2 \theta \dot{e}_r + \omega_t^2 r \sin \theta \cos \theta \dot{e}_\theta - \omega_t^2 z \cos^2 \theta \dot{e}_z \\ \ddot{a}_\theta = 2 \bar{\omega}_t x \bar{V}_r = \omega_t V_z \sin \theta \dot{e}_r - \omega_t V_z \cos \theta \dot{e}_\theta + \omega_t (V_\theta \cos \theta - V_r \sin \theta) \dot{e}_z \end{cases} \quad (3.204)$$

Componentele vitezei V_r și V_z sunt neglijabile în comparație cu V_θ (diferență de aproximativ 3 ordine de mărime). Maximizând valorile acestora și comparindu-le cu valorile celor lății termeni, acestea sunt de cel puțin $3-4 \cdot 10^2$ ori mai mici și deci termenii respectivi pot fi neglijați. Excepție face componenta accelerării Coriolis: $V_\theta \cos \theta \dot{e}_z$ care are o valoare semnificativă.

Cu aceste observații sistemul se poate scrie:

$$\begin{cases} \frac{V_\theta}{r} = -\frac{1}{\rho} \frac{\partial p}{\partial r} \end{cases} \quad (3.206)$$

$$\begin{cases} 0 = \frac{6 B^2 \omega}{z} r (1 - \frac{V_\theta}{\omega r}) - \frac{1}{\rho r} \frac{\partial p}{\partial \theta} + \left(\frac{\partial^2 V_\theta}{\partial r^2} + \frac{1}{r} \frac{\partial V_\theta}{\partial r} - \frac{V_\theta}{r^2} \right) \quad (3.207) \end{cases}$$

$$\begin{cases} 0 = \frac{1}{\rho} \frac{\partial p}{\partial z} - 2 V_\theta \omega \cos \theta \end{cases} \quad (3.208)$$

Ecuatia de continuitate

$$\frac{\partial V_r}{\partial r} + \frac{V_r}{r} + \frac{1}{r} \frac{\partial V_\theta}{\partial \theta} + \frac{\partial V_z}{\partial z} = 0 \quad (3.209)$$

este satisfăcută identic dacă admitem ipotezele anterioare:
 $V_r = V_z = 0$; $V_\theta = V_\theta(r)$.

Chiar și în această formă integrarea este dificilă datorită prezenței termenului $-\frac{1}{\rho r} \frac{\partial p}{\partial \theta}$. Dacă însă din spațiul miscării ne vom alege un plan ($\theta = ct$) studiul problemei în acest plan este posibil, studiul fiind pe deplin satisfăcător, deoarece prin construcția giroscopului prizele de presiune se află într-un plan ce conțineaza de sensibilitate. În acest caz θ poate fi privit ca un parametru, termenul $\frac{\partial p}{\partial \theta}$ pierzându-și semnificația. Ecuatia (3.207) identică cu cea de la cazul neperturbat oferă profilul de viteze $V_\theta = V_\theta(r)$ cunoscut:

$$V_\theta = A \cdot r^n + B \cdot r^{-n} + \omega_0 r$$

Față de cazul neperturbat se observă apariția în ultima ecuație a perturbației presiunii datorate forței de inerție Coriolis. Considerind, în conformitate cu cele arătate anterior că viteza V_θ nu este perturbată, se poate admite că peste distribuția inițială de presiuni datorată forțelor centrifuge ($\frac{V_\theta^2}{r}$) se suprapune perturbația $2 \rho V_\theta \omega_t$ cod θdz . Intrucât în planul $\theta = ct$ ales, prizele de presiune sunt situate la raza R_θ și la $\theta = 0$, respectiv $\theta = \pi$, vom putea determina diferența de presiune $\Delta p = p_1 - p_2 =$

$$= \int_0^\pi 2 \rho V_\theta \omega_t \cos \theta dz \quad \left| \begin{array}{l} \theta = \pi \\ \theta = 0 \end{array} \right. , \text{ sau încă}$$

$$\Delta p = 4 \rho H V_\theta \omega_t = 6 \cdot \omega_t$$

$$p_1 - p_2 = \Delta p_{max} = 2 \rho \omega_t h V_\theta(R) = 6 \cdot \omega_t \quad (3.208)$$

Această relație arată de fapt posibilitatea ca aparatul să fie folosit ca girometru, mărimea de ieșire – diferența de presiune, fiind o funcție liniară de ω_t – viteza unghiulară a suportului. Constanta 6 este o reprezentare sintetică a sensibilității girometrului și ea este direct

proporțională cu înălțimea vasului ce conține mercurul și cu viteza de rotație a fluidului electroconductor.

In literatură (34, 71, 80, 92) acest aspect nu este lămurit, admisind că pe baza ecuației de conservare a momentului kinetic, la apariția rotației ω_t a suportului va fi necesară apariția unui moment giroscopic al forțelor de presiune. Astfel dacă admitem construcția din figura nr. 3.31 în care prizele de presiune P_1 și P_2 dispuse la raza R sunt racordate la traductorul cu membrană T astfel încât presiunile p_1 și p_2 acționează pe cele două fețe ale membranei

"m", putem scrie expresia momentului kinetic:

$$\bar{K} = \int_V d\bar{K} = \rho \int_V \bar{x} \bar{v}_0 \cdot d\omega = K_{x_1} \quad (3.209)$$

Prin rotația suportului cu viteza unghiulară ω_{x_1} a suprafluidului va acționa momentul giroscopic

$$\bar{M}_g = \bar{\omega}_{x_1} \bar{K} = -K \omega_{x_1} \cdot I_{y_1}$$

$$\text{ sau } M_g = K \frac{\Delta p}{\ell} \quad (3.210)$$

Drept urmare asupra membranei va acționa o diferență de presiune care va impinge mercurul prin conducte conform săgeților din figură producând deplasarea membranei cu:

$$\Delta l = \Delta p A / c = a_1 \cdot M_g; \quad (F = c \cdot \Delta l) \quad (a = \frac{A}{c \cdot K}) \quad (3.211)$$

Această deplasare se transmite la cursorul unui potențiometru ca în figura nr. 3.32 provocând dezechilibrul punctii și apariția unei tensiuni

$$\text{de legire } U_{e_1} = K_2 \cdot \Delta l$$

$$(3.212)$$

Tinând cont de (211) obținem:

$$U_{e_1} = k_2 a M_g = k_2 a K \cdot \omega_{x_1},$$

sau

$$U_{e_1} = k \cdot \omega_{x_1} \quad (3.213)$$

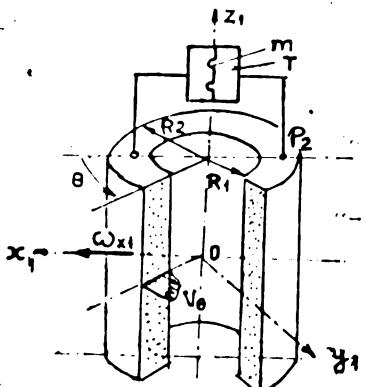


Figura nr. 3.31

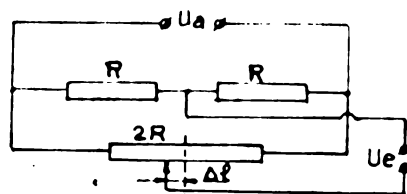
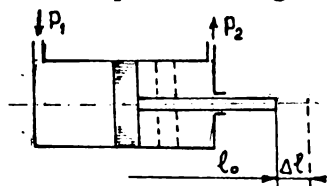


Figura nr. 3.32

Dacă se vor practica prize de presiune și în partea inferioară, dispuse pe axa oy_1 , vom putea obține un semnal $U_{o2} = k\omega_{y_1}$, deci aparatul poate funcționa ca un girometru cu două axe de sensibilitate, Ox_1 și Oy_1 . În cazul în care cele două prize se conectează la capetele unui cilindru prevăzut cu piston (figura nr. 3.33) acesta se va deplasa cu



mărimea:

$$d\ell = b \cdot \omega_{x_1}$$

de unde deplasarea pistonului va fi:

$$\ell = \ell_0 + b \int_0^t \omega_{x_1} \cdot dt \quad (3.214)$$

Deci aparatul poate lucra și ca giroscop integrator.

3.5.1 INFLUENTA PARAMETRILOR DE MISCARE AI SUPORTULUI ASUPRA MARIMII DE IESIRE A GIROMETRULUI M.H.D.

In capitolul 3.5 în care s-a demonstrat posibilitatea funcționării aparatului ca girometru s-a presupus că suportul (navă, avion, rachetă etc.) pe care se află ambarcat execută o mișcare rectilinie uniformă de-a lungul axei OX (numită axă de sensibilitate) în raport cu un reper inertial. S-a arătat de asemenea că o rotație uniformă cu viteza unghiulară ω_x în jurul acestei axe, conduce la apariția unei diferențe de presiune la cele două prize, dependență liniar de ω_x .

$$\Delta p = C \cdot \omega_x \quad (3.25)$$

Este posibil însă, ca suportul să nu respecte aceste condiții și în acest caz este necesară cunoașterea influenței diverselor parametrii cinematici ai mișcării suportului asupra mărimii de ieșire, în vederea aplicării corecțiilor necesare de către calculatorul de bord.

In cele ce urmăiază se va analiza succesiv influența unor accelerări ale mișcării suportului asupra mărimii de ieșire a girometrului.

a) Influența accelerării a_x de-a lungul axei de sensibilitate

Pie girometrul din figură; o, x, y, z sistemul de coordinate mobil legat de suport și OXYZ un sistem de coordinate inerțial;

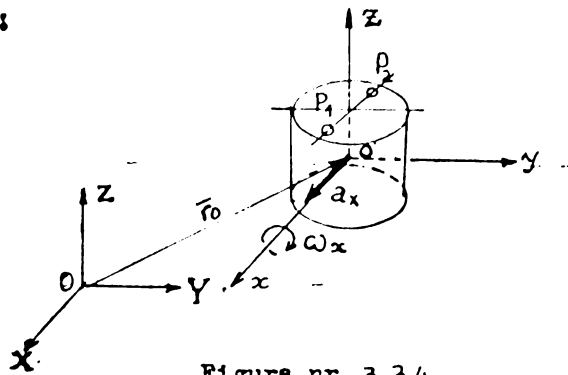


Figura nr. 3.34

P_1 și P_2 reprezintă presiunea la cele două prize; ω_x viteza unghiulară de măsurat și a_x accelerarea absolută a suportului

orientată de-a lungul axei ox .

Componențele accelerării față de sistemul de coordonate cilindrice r, θ, z legat de girometru sunt:

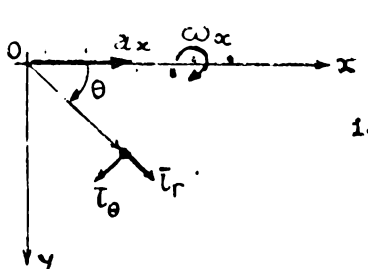


Figura nr. 3.35

$$\begin{cases} a_r = a_x \cos \theta \\ a_\theta = -a_x \sin \theta \end{cases} \quad (3.216)$$

$$\text{iar cele ale vitezei unghiulare } \omega_x \\ \begin{cases} \omega_r = \omega_x \cos \theta \\ \omega_\theta = \omega_x \sin \theta \end{cases} \quad (3.217)$$

Accelerarea de transport ce acționează asupra fluidului este dată de:

$$\bar{a}_t = \bar{a}_x + \bar{\omega}_x (\bar{\omega}_x \bar{r}), \text{ accelerarea rela-} \\ \text{vă } \bar{a}_r = -\frac{v_0^2}{r} \bar{i}_r, \text{ iar accelerarea Coriolis } \bar{a}_\theta = -2v_0 \cos \theta \omega_x \bar{i}_z.$$

Elăjind forțele masice și admitând că forțele de natură viscoză sunt echilibrate de forțele Lorentz, precum și faptul că viteză unghiulară de rotație a mercurului $\Omega \gg \omega$, se poate aduce cu aproximare satisfăcătoare că:

$$\frac{\partial p}{\partial r} = \rho (a_x \cos \theta - \omega_x^2 r \sin^2 \theta - \frac{v_0^2}{r})$$

$$\frac{1}{r} \frac{\partial p}{\partial \theta} = (-a_x \sin \theta - \omega_x^2 r \sin \theta \cos \theta) \quad (3.218)$$

$$\frac{\partial p}{\partial z} = (\omega_x^2 z - 2v_0 \omega_x \cos \theta)$$

Astfel se poate scrie imediat:

$$\frac{\partial p}{\rho} = \left[\left(\frac{\partial p}{\partial r} dr + \frac{1}{r} \frac{\partial p}{\partial \theta} d\theta + \frac{\partial p}{\partial z} dz \right) \right] \quad (3.219)$$

sau, urmând în vedere (3.216-3.217)

$$\frac{\partial p}{\rho} = \left[(a_x \cos \theta - \omega_x^2 r \sin^2 \theta - \frac{v_0^2}{r}) dr + \frac{1}{r} (-a_x \sin \theta - \omega_x^2 r \sin \theta \cos \theta) d\theta \right. \\ \left. + (\omega_x^2 z - 2v_0 \omega_x \cos \theta) dz \right] \quad (3.220)$$

Într-un plan $\theta = \pi/2$ ($\theta = 0$) ce conține axa de simetrie putem scrie:

$$\frac{dp}{\rho} = \left(-a_x - \frac{v_0^2}{r} \right) dr + (\omega_x^2 z - 2\omega_x v_0) dz \quad (3.221)$$

La cele două prize dispuse pe capacul superior în planul amintit, la $\theta = 0$ și $\theta = \pi$, vom avea presiunile:

$$\begin{cases} p_1 = \rho \int \left[\left(-a_x - \frac{v_0^2}{r} \right) dr + \left(\frac{\omega_x^2 z}{r} - 2\omega_x v_0 \right) dz \right] + C_1 \\ p_2 = \rho \int \left[\left(-a_x - \frac{v_0^2}{r} \right) dr + \left(\omega_x^2 z + 2\omega_x v_0 \right) dz \right] + C_2 \end{cases} \quad (3.222)$$

Mărurile de sub integrală nu sunt diferențiale totale exacte $\left[\frac{\partial}{\partial z} \left(\frac{\partial p}{\partial r} \right) \neq \frac{\partial}{\partial r} \left(\frac{\partial p}{\partial z} \right) \right]$, dar există un factor integrant $\mu(r)$ astfel încât să poată fi efectuată integrala.

Se observă imediat apariția suplimentară a unui termen de mărime $a_x \cdot r$, respectiv $-a_x \cdot r$ la cele două prize, astfel încât diferența de presiune Δp va fi afectată cu mărimea $2\rho a_x \cdot r$, iar

$$\Delta p_{\max} = \rho (\pm 2a_x R_0 + 2\omega_x h v_0) \quad (3.223)$$

unde R_0 este raza la care sunt practicate prizele de presiune și unde v_0 are valoare maximă.

Inconvenientul poate fi corectat cu ajutorul informației oferite de un accelerometru dispus de-a lungul axei de sensibilitate.

b) Influența accelerărilor de tip a_y , de-a lungul unei axe perpendiculare pe axa de sensibilitate

Situația este oarecum similară celei din cazul anterior, deosebindu-se numai expresiile componentelor accelerării a_x (figura nr. 3.36)

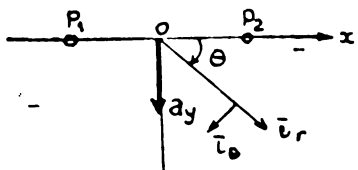


Figura nr. 3.36

Se observă că:

$$a_{x_r} = a_x \sin \theta; a_{x_\theta} = a_x \cos \theta$$

Relațiile (3.218) se vor scrie acum:

$$\begin{cases} \frac{\partial p}{\partial r} = \rho (a_x \sin \theta - \omega_x^2 r \sin^2 \theta - \frac{v_0^2}{r}) \\ \frac{1}{r} \frac{\partial p}{\partial \theta} = \rho (a_x \cos \theta - \omega_x^2 r \sin \theta \cos \theta) \\ \frac{\partial p}{\partial z} = \rho (\omega_z^2 - 2v_0 \omega_x \cos \theta) \end{cases} \quad (3.224)$$

In planul axei de sensibilitate ($\theta_1=0; \theta_2=\pi$), vom avea:

$$\left\{ \begin{array}{l} p_1 = \rho \int [(-\frac{v_\theta^2}{r}) dr + (\omega_x^2 z - 2\omega_x v_\theta) dz] + C_1 \\ p_2 = \rho \int [(-\frac{v_\theta^2}{r}) dr + (\omega_x^2 z + 2\omega_x v_\theta) dz] + C_2 \end{array} \right. \quad (3.225)$$

Prin un raționament similar celui anterior se observă imediat că mărimea de ieșire nu este influențată de accelerării ale suportului pe direcții perpendiculare pe axa de sensibilitate.

- c) Influenta accelerărilor suportului orientate de-a lungul axei de rotație proprie a girometrului, α_z

Acceleratia suportului are forma $\bar{a}_z = a_z \cdot \bar{K}$. Relațiile (3.218) se scriu în acest caz:

$$\left\{ \begin{array}{l} \frac{\partial p}{\partial r} = \rho (-\omega_x^2 r \sin^2 \alpha_z - \frac{v_\theta^2}{r}) \\ \frac{1}{r} \frac{\partial p}{\partial \alpha_z} = \rho (-\omega_x^2 r \sin \alpha_z \cos \alpha_z) \\ \frac{\partial p}{\partial z} = \rho (a_z + \omega_x^2 z - 2v_\theta \omega_x \cos \alpha_z) \end{array} \right. \quad (3.226)$$

Presiunile măsurate la prizele de pe axa de sensibilitate vor fi:

$$\left\{ \begin{array}{l} p_1 = \rho \int [(-\frac{v_\theta^2}{r} dr) + (a_z + \frac{\omega_x^2 z}{r} - 2\omega_x v_\theta) dz] + C_1 \\ p_2 = \rho \int [(-\frac{v_\theta^2}{r} dr) + (a_z + \frac{\omega_x^2 z}{r} + 2\omega_x v_\theta) dz] + C_2 \end{array} \right. \quad (3.227)$$

Să observă imediat că termenul a_z nu influențează mărimea de ieșire $\Delta p = p_2 - p_1$.

- d) Influenta accelerărilor unghiulare de tipul ϵ_x

Componentele accelerării unghiulare ϵ_x pe axele sistemului mobil θ, r, α, z sunt:

$$\bar{\epsilon}_x = \epsilon_x (\cos \alpha \bar{i}_r - \sin \alpha \bar{i}_\theta) \quad (3.228)$$

iar acceleratia de transport corespunzatoare $\bar{a}_t = \bar{\epsilon} x \bar{r} = \epsilon_x r \sin \theta I_z$.

Relatiile (3.218) se scriu in acest caz:

$$\left\{ \begin{array}{l} \frac{\partial p}{\partial r} = \rho (-\omega_x^2 r \sin^2 \theta - \frac{v_\theta^2}{r}) \\ \frac{1}{r} \frac{\partial p}{\partial \theta} = \rho (-\omega_x^2 r \sin \theta \cos \theta) \\ \frac{\partial p}{\partial z} = \rho (\epsilon_x r \sin \theta + \omega_x^2 z - 2v_\theta \omega_x dz) \end{array} \right. \quad (3.229)$$

iar presiunile măsurate la prizele de pe axa de sensibilitate ($\theta = 0$ și $\theta = \pi$) vor fi:

$$\left\{ \begin{array}{l} p_1 = \rho \int \left[-\frac{v_\theta^2}{r} dr + (\omega_x^2 z - 2v_\theta \omega_x) dz \right] + C_1 \\ p_2 = \rho \int \left[-\frac{v_\theta^2}{r} dr + (\omega_x^2 z + 2v_\theta \omega_x) dz \right] + C_2 \end{array} \right. \quad (3.330)$$

deocarece termenul $\epsilon_x r \sin \theta$ se anulează atât pentru $\theta=0$ cît și pentru $\theta=\pi$. Deci acceleratia unghiulară a suportului în jurul axei de sensibilitate nu afectează indicația momentană a girometrului. Observind însă faptul că $\omega_x = \omega_{ox} + \epsilon_x t$, în timp, diferența de presiune măsurată va avea o variație similară, reflectând modificarea vitezei unghiulare de rotație a suportului.

e) Influența acceleratiilor unghiulare de tip ϵ_y

Componentele vectorului ϵ_y pe axele sistemului mobil sunt: $\bar{\epsilon}_y = \epsilon_y (\sin \theta I_r + \cos \theta I_\theta)$, iar acceleratia de transport imprimată $\bar{a}_t = \bar{\epsilon} x \bar{r} = \epsilon_y r \cos \theta I_z$.

Din ecuațiile de mișcare scrise față de sistemul mobil în acceptul ipotezelor anterior formulate rezultă:

$$\left\{ \begin{array}{l} \frac{\partial p}{\partial r} = \rho (-\frac{v_\theta^2}{r}) \\ \frac{\partial p}{\partial \theta} = \rho (-\omega_x^2 r \sin \theta \cos \theta) \\ \frac{\partial p}{\partial z} = \rho (\epsilon_y r \cos \theta + \omega_x^2 z - 2v_\theta \omega_x dz) \end{array} \right. \quad (3.331)$$

Procedind analog cazurilor anterior abordate putem scrie expresiile presiunilor măsurate la cele două prize ($\theta=0$ respectiv $\theta=\pi$):

$$\begin{cases} p_1 = \rho \int \left[\left(-\frac{V_0^2}{r} \right) dr + \left(\varepsilon_y r + \omega_x^2 z - 2V_0 \omega_x \right) dz \right] + C_1 \\ p_2 = \rho \int \left[\left(-\frac{V_0^2}{2} \right) dr + \left(-\varepsilon_y r + \omega_x^2 z + 2V_0 \omega_x \right) dz \right] + C_2 \end{cases} \quad (3.332)$$

Se observă imediat că mărimea de ieșire Δp este afectată de acceleratia unghiulară a rotației în jurul unei axe perpendiculară pe axa de sensibilitate decarece:

$$\Delta p' = \Delta p + 2\varepsilon_y r. \quad (3.333)$$

Pentru a nu altera caracterul informației este necesar ca în procesul de prelucrare în calculatorul de bord să se țină cont de aceste aspecte.

f) Influenta acceleratiilor unghiuilare ale suportului în jurul axei de rotație proprie a girometrului,

Corpul girometrului (vasul ce conține fluidul electro-conductor) fiind solidar cu suportul (navă, avion, torpilă, rachetă etc.) se rotește împreună cu acesta cu o viteză unghiuilară $\omega_z = \omega_z(t)$, adică $\frac{d\omega_z}{dt} = \varepsilon_z \neq 0$. Faptul echivalează cu o variație a momentului cinetic al fluidului în raport cu incinta care îl conține. Decarece anterior s-a arătat că $M_g = K \cdot \omega_x = k \cdot \varepsilon \cdot \Delta p$ (3.208), se observă că mărimea de ieșire va fi variabilă în timp, legată de variație fiind aceiași ca și cea a momentului cinetic:

$$\bar{K} = \rho \int_V (\bar{r}x \bar{V}_0) dV = \rho \int_V \bar{r}x [\bar{V}_0 \pm \bar{\omega}_z(t)x] dV \quad (3.334)$$

sau încă:

$$\bar{K} = \bar{K}_0 \pm \frac{\rho}{2} V \cdot r^2 \bar{\omega}_z(t) \quad (3.335)$$

Evident, va trebui să se țină seama și de acest aspect în evaluarea mărimii de ieșire a girometrului. În afara influențelor arătate, asupra fluidului purtător de moment cinetic mai pot acționa și alți factori ca: vibrații ale suportului, cimpuri termice etc.

Nu se face o abordare a acestor aspecte, decarece depășesc cadrul propus al lucrării.

3.6 SENSIBILITATEA GIROMETRULUI M.H.D.

Sensibilitatea girometrului să definiță ca raport al mărimii de ieșire față de mărimea de intrare

$$s = \frac{\Delta p}{\omega_x} \quad (3.336)$$

Este o caracteristică importantă a aparatului, ea permitând o apreciere a calității acestuia precum și o comparație cu construcțiile existente. Având în vedere aceste argumente se va aborda problema sensibilității sub aspectul ei general iar apoi pentru cazurile construcțiilor concrete realizate.

Pe baza expresiei momentului giroscopic $M_g = K \cdot \omega_x$, sensibilitatea s se poate scrie:

$$s = \frac{K \cdot \Delta p}{M_g} \quad (3.337)$$

Momentul kinetic K, se poate scrie (figura nr. 3.37):

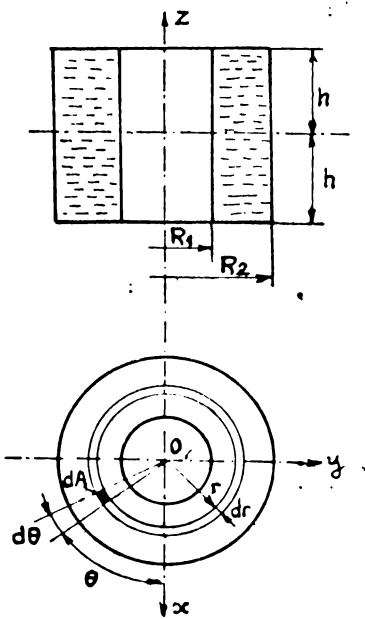


Figura nr. 3.37

$$\bar{K} = \int_V \bar{r} \times d\bar{H} = \int_V (\bar{r} \times \bar{v}) \rho dv = \\ = \int_V r \cdot v \cdot dv \cdot I_z \quad (3.338)$$

Cum $dv = 2h \cdot d\theta \cdot r \cdot dr$ și notind $v = \Omega r$ unde Ω este o funcție legată de distribuția radială a vitezei tangențiale, se poate scrie:

$$K = 2h \int_0^{2\pi} \int_{R_1}^{R_2} \rho \int_r^{\infty} \Omega r^3 dr = \\ = 4\pi \int_{R_1}^{R_2} \Omega r^3 dr \quad (3.339)$$

Presiunea într-un punct al flangei reperat la unghiul θ este

$$p = \frac{\Delta P_{max}}{2} \cos \theta \quad (3.340)$$

iar forța de presiune elementară:

$$dF = p \cdot dA = \frac{\Delta P_{max}}{2} r \cdot dr \cdot d\theta \cos \theta \quad (3.341)$$

Momentul acestei forțe $dM_y = r \cos \theta dF$ integrat pe suprafața flangei dă momentul giroscopic:

$$Mg_y = \frac{\Delta P_{\max}}{2} \int_0^{2\pi} \cos^2 \theta d\theta \int_{R_1}^{R_2} r^2 dr$$

sau încă:

$$Mg_y = \frac{\pi}{2} \Delta P_{\max} \frac{R_2^3 - R_1^3}{3} \quad (3.342)$$

Inlocuind expresia momentului cinetic și a momentului giroscopic în (3.337) găsim:

$$s = \frac{24gh}{R_2^3 - R_1^3} \int_{R_1}^{R_2} \Omega r^3 dr \quad (3.343)$$

Pentru calculul integralei este necesară cunoașterea funcției $\Omega(r)$. Se vor examina în continuare cîteva cazuri de integrare bazate pe anumite distribuții $\Omega(r)$.

Calculul aproximativ al sensibilității

a) Cazul $\Omega = \text{ct}$

Din (3.343) rezultă imediat:

$$s = 6ghR_2 \frac{1 - \lambda^4}{1 - \lambda^3} \quad (3.344)$$

în care $\lambda = \frac{R_1}{R_2}$

introducind coeficientul adimensional

$$C_s = \frac{v}{2g h v_o} \quad (3.345)$$

unde v_o este viteza tangențială medie, se obține:

$$C_s = 6 \frac{\lambda}{1 + \frac{\lambda}{1 + \lambda^2}} \quad (3.346)$$

Pentru $0 < \lambda < 1$ avem $6 < C_s < 4$.

Funcția $C_s = f(\lambda)$ are un minim pentru $\lambda = 1$, deci sensibilitatea crește cu mișcarea raportului razelor și creșterea înălțimii.

b) Cazul $v = \text{ct}$. Poate fi admis pentru numere Hartmann mari cu regim turbulent avansat, cînd viteza, cu excepția unor zone înguste din apropierea peretilor ar putea fi admisă constantă.

Fie r_h raza hidraulică a canalului, R_e și H_a numărul de Reynolds și Hartman, definite prin relațiile:

$$r_h = \frac{(R_2 - R_1)L}{2L + 2(R_2 + R_1)} = \frac{R_2}{2(\frac{1}{1-\lambda} + \frac{L}{L})} \quad (3.347)$$

unde $L = 2h$,

$$R_e = \frac{\rho V_r r_h}{\eta}; \quad H_a = B \cdot r_h \sqrt{\frac{\rho}{\eta}} \quad (3.348)$$

Inlocuind în [3.343] $\Omega = \frac{V_o}{r}$ se obține:

$$s = 8 \rho L V_o; \quad C_s = 8$$

În [3.2] se dă un exemplu de girometru M.H.D. având $L=5$ cm, $r_2 = 3$ cm și $r_1 = 2,5$ cm, $\Omega = 100$ rot/min; $\tau = 138.300$ N/m³.

Calculul sensibilității cu ipoteza $\Omega = \text{ct}$ și cu $V_o = \text{ct}$ și valori apropiate: $1,73 \cdot 10^3$ N.s/m², respectiv $1,7 \cdot 10^3$ N.s/m².

Calculul sensibilității girometrului M.H.D. cu conductie

Fie un girometru M.H.D. de curent continuu, cu câmp magnetic axial constant și curent radial. Deoarece $v=v(r,z)$ momentul cinetic se va scrie:

$$K = \int_0^r \rho r^2 \Omega dv \quad (3.349)$$

în care $dv = r dr dz d\theta$

Astfel:

$$K = \rho \int_0^{2\pi} d\theta \int_0^L dz \int_{R_1}^{R_2} \Omega r^3 dr = 2\pi \rho \int_0^L dz \int_{R_1}^{R_2} v \cdot r^2 dr \quad (3.350)$$

În cazul mișcării laminare [3.2] avem:

$$v(r,z) = v_m \left[\left(\frac{R_2}{R_2} - \frac{R_2}{r} \right) \frac{\lambda^2 \ln \lambda}{1 - \lambda^2} + \frac{\ln \frac{r}{R_1}}{R_2} \right] + v_m \sum_{n=1}^{\infty} A_n Y_1(\alpha_n r) \cdot \text{ch}(Y_n z) \quad (3.351)$$

unde v_m este o viteza caracteristică iar Y_1 o funcție Bessel de ordinul 1, de forma:

$$Y_1 = J_1(\alpha_n \cdot r) - \frac{J_1(\alpha_n)}{N_1(\alpha_n)} \cdot N_1(\alpha_n, r) \quad (3.352)$$

J_1 și N_1 fiind funcții Bessel de speță întâi și a doua, iar n rădăcina ecuației:

$$\exists_1(\lambda\alpha_n)H_1(\alpha_n) - \exists_1(\alpha_n) \cdot N_1(\lambda\alpha_n) = 0 \quad (3.353)$$

$$A_n = \frac{-4}{\alpha_n \cdot \ln \alpha_n} b_n; \quad b_n = \frac{1}{\alpha_n^2} \frac{Y_o(\alpha_n) - Y_o(\lambda\alpha_n)}{[Y_o^2(\alpha_n) + Y_o(\alpha_n)]^2 - [\lambda Y_o(\lambda\alpha_n)]^2}$$

$$Y_n = \frac{\alpha_n L}{2R_2}$$

Ultimul termen reprezintă influență capetelor canalului și pentru $L \gg R_2$ se poate neglijă, iar viteză v capătă forma:

$$v(r) = v_m \left[\left(\frac{R_2}{R_2 - r} \right) \frac{\lambda^2 \ln \lambda}{1 - \lambda^2} + \frac{r}{R_2} \ln \frac{r}{R_2} \right] \quad (3.354)$$

Inlocuind în (3.350) se obține:

$$K - 2\pi \rho v_m L R_2^3 \left(\lambda^2 \ln \frac{1}{\lambda} - \frac{1 - \lambda^4}{4} \right) + 2\pi \rho v_m \int_0^L dz \int_{R_1}^{R_2} C(r, z) dz; \quad C \rightarrow 0;$$

iar sensibilitatea

$$s = \rho L v_m \frac{6}{1 - \lambda^3} \left(\lambda^2 \ln \frac{1}{\lambda} - \frac{1 - \lambda^4}{4} \right) + \frac{24 \rho v_m}{R_2^3 (1 - \lambda^3)} \int_0^L dz \int_{R_1}^{R_2} C dr \quad (3.355)$$

Dacă este îndeplinită condiția:

$$\frac{R_2 - R_1}{R_1} = \frac{1 - \lambda}{\lambda} \ll 1, \quad (3.356)$$

viteză v_m poate fi determinată cu relația:

$$v_m = \frac{B_o I_o}{2L \gamma} R_2 \frac{(1 - \lambda)}{\lambda}^2 \quad (3.357)$$

în care B_o este inducția magnetică; I_o , intensitatea curentului. Termenul ultim al formulei (3.351) cind $L \approx R_2$ (cazul girometrului real) devine important, neputind fi neglijat.

se consideră pentru profilul vitezelor relația

$$v(r, z) = \frac{U}{B_o \ln \frac{1}{\lambda}} \left[1 - \frac{\operatorname{ch} H_a \frac{2z}{L}}{\operatorname{ch} H_a \frac{2R_2}{L}} \right] \frac{1}{r} \quad (3.358)$$

unde U este tensiunea aplicată la electrozi, B_o inducția, iar

$$H_a = B_o \frac{L}{2} \sqrt{\frac{6}{\gamma}}$$

Viteză medie va fi dată de relația:

$$v_o = \frac{1}{(R_2 - R_1)L} \int_R^{R_2} \int_{-\frac{L}{2}}^{\frac{L}{2}} v \cdot dr \cdot dz = \frac{1}{R_2(1-\lambda)} \frac{U}{B_o} \left(1 - \frac{\tanh a}{H_a}\right) \quad (3.359)$$

iar momentul kinetic:

$$K = \pi \rho L \frac{U}{B_o} \frac{R_2^2 (1-\lambda)^2}{\ln \frac{1}{\lambda}} \left(1 - \frac{\tanh a}{H_a}\right) \quad (3.360)$$

In acest caz sensibilitatea s devine:

$$s = 12 \frac{L}{R_2} \frac{U}{B_o} \frac{1-\lambda^2}{(1-\lambda^3) \ln \frac{1}{\lambda}} \left(1 - \frac{\tanh a}{H_a}\right) \quad (3.361)$$

iar coeficientul de sensibilitate:

$$C_s = \frac{s}{\rho L V_o} = 12 \frac{1-\lambda^2}{(1+\lambda+\lambda^2) \ln \frac{1}{\lambda}} \quad (3.362)$$

Pentru $0 < \lambda < 1$ avem $0 < C_s < 8$, valoarea maximă

$C_s = 8$, fiind egală cu cea obținută în cazul turbulentei:

$$\text{Scriind } s = \beta \frac{H_a - \tanh a}{H_a^2} \text{ unde } \beta = \frac{6L^2 U}{R_2} \frac{1-\lambda^3}{(1-\lambda^3) \ln \frac{1}{\lambda}} \sqrt{\frac{G}{\gamma}}$$

putem reprezenta curba $s = s(H_a)$, (figura nr. 3.38), care are un maxim la $H_{a_m} = 1,6$. Valoarea optimă a inducției se determină din:

$$B_{o_{\text{opt}}} = \frac{2H_{a_m}}{L} \sqrt{\frac{\gamma}{\sigma}} \quad (3.363)$$

Conoluiziile sunt corente numai pentru cazul laminar.

Pentru cazul mișcării turbulentă în [92] se dă o formulă pentru calculul sensibilității care nu poate fi utilizată decât pentru canale plane și pe baza unor date experimentale.

Dacă însă se admit, pentru profilul vitezei tangențiale și pentru distribuția de presiuni, expresiile (3.95a) și (3.95b), care pot fi puse sub forma:

$$V_o = Br - Ar^n - Br^{-n}$$

$$p = p_o + B \left(\frac{r^2}{2} - \frac{A}{p+1} r^{n+1} \right) \left(1 - \frac{B}{p} r^{-n+1} \right)$$

expresia momentului kinetic poate fi scrisă imediat:

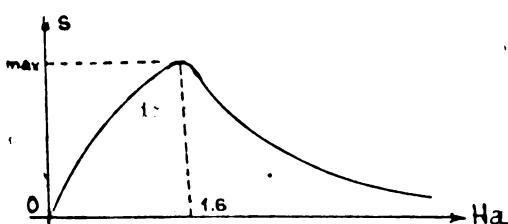


Figura nr. 3.38

$$K = \int_A 2\varrho h V_0 \cdot r \cdot dA = 4\varrho \pi h \int_{R_1}^{R_2} V_0(r) \cdot r^2 \cdot dr \quad (3.364)$$

Tinind cont însă de faptul că profilul vitezei, cu excepția unor zone înguste din vecinătatea capacelor este liniar putem adopta exprimarea:

$$V_0 = \Omega \cdot r \quad (3.365)$$

iar expresia anterioară a momentului cinetic K, devine:

$$K = 4\pi \varrho h \Omega \int_{R_1}^{R_2} r^3 dr \quad (3.366)$$

Pentru momentul giroscopic putem scrie:

$$M_g = \frac{1}{2} \int_0^{2\pi} \cos \theta \sin \theta \int_{R_1}^{R_2} \Delta p r^2 d\theta \quad (3.367)$$

unde Δp , conform (3.208) este:

$$\Delta p = 2\varrho \omega h V_0 \cdot \cos \theta$$

Acum expresia (3.367), devine:

$$M_g = \pi \varrho \sinh \frac{R_2^4 - R_1^4}{4} \Omega \quad (3.368)$$

iar sensibilitatea s, este dată de:

$$s_{\max} = \frac{K \cdot \Delta p_{\max}}{M_g} = 8\varrho h R_0 \Omega$$

unde R_0 este raza corespunzătoare vitezei maxime.

Calculul sensibilității girometrului cu inducție

In girometrul cu inducție se cunoaște profilul vitezei tangențiale $V_0 = Ar^n + Br^{-n} + \omega_0 r$, precum și distribuția presiunii pe capace:

$$p = V_0 \frac{Ar^n - B^{-n} + \omega_0 r + 2n\omega z \cos \theta}{n} \quad (3.369)$$

Momentul cinetic K poate fi calculat imediat:

$$K = \int_A 2\varrho h V_0 \cdot r \cdot dA = 4\varrho \pi h \int_{R_1}^{R_2} V_0(r) r^2 dr \quad (3.370)$$

Adoptind exprimarea anterioară $V_0 = \Omega \cdot r$ putem scrie:

$$K = 4\varrho \pi h \int_{R_1}^{R_2} \int_{R_1}^{R_2} \Omega dr \cdot \Omega dr = \pi \varrho h (R_2^4 - R_1^4) \int_{R_1}^{R_2} \Omega dr \quad (3.371)$$

Momentul giroscopic M_g este dat de:

$$M_g = \frac{1}{2} \int_0^{2\pi} \cos^2 \theta d\theta \int_{R_1}^{R_2} \Delta p \cdot r^2 dr \quad (3.372)$$

unde Δp , conform B209 este:

$$\Delta p = \Delta p_{\max} \cdot \cos \theta = 2 \rho \omega h V_\theta \cos \theta \quad (3.373)$$

Acum

$$M_g = \pi \rho \omega h \frac{R_2^4 - R_1^4}{4} \int_{R_1}^{R_2} \Omega(r) dr \quad (3.374)$$

Sensibilitatea s_{\max} devine:

$$s_{\max} = \frac{K \cdot \Delta p_{\max}}{M_g} = 6 \rho h V_\theta \max \quad (3.375)$$

sau cum $L = 2h$:

$$s_{\max} = 3 \rho L V_\theta \max \quad (3.376)$$

Se observă imediat că sensibilitatea depinde de densitatea lichidului, de lungimea L , de raportul razelor, precum și de poziția prizelor de presiune. Pentru o construcție dată ea va fi maximă dacă prizele de presiune se practică la raza la care viteza este maximă. Din expresia vitezei scrisă sub formă,

$$V_\theta(r) = \omega_0(r - \frac{1 - \lambda^{n+1}}{R_2^{n-1}(1 - \lambda^{2n})} r^n - R_2^{n+1} \frac{\lambda^{n+1}(1 - \lambda^{n-1})}{1 - \lambda^{2n}} \frac{1}{r^n})$$

se vede influența raportului razelor $R_2/R_1 = \lambda$. Pentru studiul funcției s-a întocmit un program la calculatorul electronic, curba rezultată exprimând variația vitezei V_θ (λ) pentru

$r = R(V_{\theta \max})$. Valoarea razei R se obține din ecuația

$$\omega_0 - A \cdot n \cdot R^{n-1} + nB \frac{1}{R^{n+1}} = 0 \quad (3.38)$$

sau încă:

$$1 - \frac{R_2^{n+1} - R_1^{n+1}}{R_2^{2n} - R_1^{2n}} R^{n-1} + n \frac{R_1 R_2^n - R_2 R_1^n}{R_2^{2n} - R_1^{2n}} (R_1 R_2)^n \frac{1}{R^{n+1}} = 0 \quad (3.39)$$

care se mai poate scrie:

$$\frac{1-n}{R_2^{n-1}(1-\lambda^{2n})} R^{n-1} + n \cdot \frac{R_2^{n+1} \lambda^{n+1} (1-\lambda^{n-1})}{1-\lambda^{2n}} \frac{1}{R^{n+1}} = 0 \quad (3.380)$$

în care n , conform (3.355) este:

$$n = \sqrt{1 + \frac{H^2}{Z}}$$

3.7. ELEMENTE DE PROIECTARE A GIROSCOPULUI MHD

3.7.1. Soluții constructive. Geometria canalului

Alegerea variantei convenabile din numărul relativ mare de soluții posibile (3.11) se face în funcție de disponibilitățile energetice la locul de funcționare, de mijloacele pentru asigurarea răcirei, precum și de limitările de greutate și gaburit. Astfel, dacă se dispune la locul funcționării de un sistem trifazat cu frecvență ridicată (200+400 Hz) și cu rezervă de putere suficientă se va opta pentru giroscopul cu inducție. Varianta optimă este cea cu inducție radiale, având mărimea întrefierului δ aleasă conform indicațiilor din figura nr. 3.70 în care se arată legătura dintre solenăția (N_1) disponibilă mărimea întrefierului δ [mm] și valoarea inducției realizabilă în întrefier.

Analizând de asemenea alura curbelor care arată distribuția vitezei tangențiale pe lungimea canalului (figurile 3.60.-3.66) în funcție de exponentul n ($n = \sqrt{1 + H_a^2/2}$;

$H_a = R_1 \sqrt{\frac{6B_0^2}{\eta}}$) se observă o creștere semnificativă a acesteia pînă la valori ale exponentului de aproximativ 80 ($B_0 = 0,1$ T). Mergînd în figura nr. 3.70 pe verticala $B=ct = 0,105$ T pînă la intersecția cu hiperbola $N_1=ct$ se găsește valoarea necesară a întrefierului δ . În cazul în care se impune întrefierul δ , la intersecția dreptelor $\delta=ct$ și $B_0 = ct = 0,1$ T se găsește hiperbola $N_1=ct$ adică se determină valoarea necesară a solenăției.

Din motive legate de asigurarea corectă a transforțării de căldură la fluidul de răcire, raportul h/R_m va trebui să nu depășească valoarea (1,5 + 3). Dimensionarea sistemului de răcire trebuie făcută astfel încât să poată fi preluată întreaga cantitate de căldură produsă:

$$Q = Q_f + Q_{je} + Q_{j_{Cu}} + Q_t$$

unde: Q_f - căldura produsă prin frecare (dissipație viscoză);

Q_{je} - căldură produsă prin efect Joule-Lenz în lichidul de lucru;

$Q_{j_{Cu}}$ - căldura produsă prin efectul Joule-Lenz în cupru;

Q_t - căldura produsă prin curenti turbionari și pierderi prin histerezis în fier.

Un calcul separat al acestor termeni este mai dificil de făcut și în fază inițială nici nu este necesar, având în vedere faptul că întreaga energie introdusă în sistem se transformă în căldură.

Din datele inițiale de proiectare poate fi impusă sensibilitatea s sau mărimea momentului cinetic K . În ipoteza cunoașterii valorii necesare K_{min} , din (3.371) se poate scrie:

$$K_{min} = \pi \rho h (R_2^4 - R_1^4) \Omega \cdot (R_2 - R_1) \quad (3.381)$$

În primă aproximatie se poate admite $\Omega = \omega_0 (1-a)$; și fiind că necare specifică; $a = 0,1+0,4$ (valorile mai mari se vor lua în cazul unor puteri electrice disponibile mai mici și a unui întrefier δ mai mare).

Cunoscând $\delta = R_2 - R_1$; $2h = \frac{R_2 + R_1}{2}$ ($1,5 \dots 3$), se pot determina mărurile R_1 , R_2 , h cu alte cuvinte geometria canalului.

În cazul în care la bordul vehicoului pe care este montat giroscopul se dispune de o baterie de acumulatori este posibilă adoptarea variantei de giroscop cu conductie. Soluția optimă este cea cu inducție radială și curent axial (3.44). Folosirea sau nefolosirea magnetilor permanenți este legată de posibilitatea construirii unor magneti adecvați, preferabil din aliaje magnetice dure, care permit o mai bună evacuare a căldurii și asigură o valoare mai mare inducției în întrefier. Pentru compensarea reacției de indus poate fi folosit un întrefier cu mărime variabilă cu raza [79]. Stabilirea geometriei canalului se face conform § 3.13, determinându-se mărimea optimă a întrefierului δ_0 în funcție de magnetii permanenți disponibili. Se calculează apoi rezistența electrică a canalului și se stabilește valoarea tensiunii de alimentare.

Vasul care conține fluidul de lucru poate fi construit din oțel inoxidabil nemagnetic, cu grosimea peretilor căt mai mică ($b < 0,2 + 0,4$ mm) sau, preferabil din mană plastică injectată (teflon), cu perete foarte subțire pentru a ugura transferul de căldură. El trebuie să fie rezemat pe întreaga circumferință pentru a-i asigura rezistența mecanică.

nică necesară, presiunile din interior putind atinge valori ridicate (3.4).

Se va avea de asemenea în vedere posibilitatea realizării etanșării precum și circulația fluidului de răcire prin zona centrală a miezului.

Accesta va fi confectionat de preferință din tola sau din fier electrotehnic, va avea o prelucrare mecanică corespunzătoare și poate fi acoperit la exterior cu un strat subțire de teflon. Prizele de presiune se vor practica la raza optimă determinată conform §. 3.6 cu ajutorul graficului din figura nr.

Diametrul minim al orificiilor va fi de 1,5-2 mm, iar racordurile cu membrana elastică vor avea asigurată posibilitatea de aerisire.

Atât conductele, racordului cît și membrana și montura ei vor trebui să fie executate din materiale care nu amalgamează cu mercurul (oțel inoxidabil) sau să fie protejate prin acoperire galvanică cu un strat de nichel sau crom.

3.7.2. ELEMENTE DE PROIECTARE A PARTII ELECTRICE DE ANTRENARE

Calculul electric al elementelor giroscopului MHD se bazează pe cunoștințele clasice de electrotehnică și este diferențiat după tipul giroscopului ce urmează a fi realizat. Este necesară sublinierea că cele prezentate reprezintă un calcul sumar, suficient din punct de vedere al realizării unui model funcțional.

a) Calculul inductorului giroscopului de curent alternativ

Inductorul se realizează pe baza jugului statoric preluat de la motorul unui agregat de frigider „Arctic” care are următoarele dimensiuni:

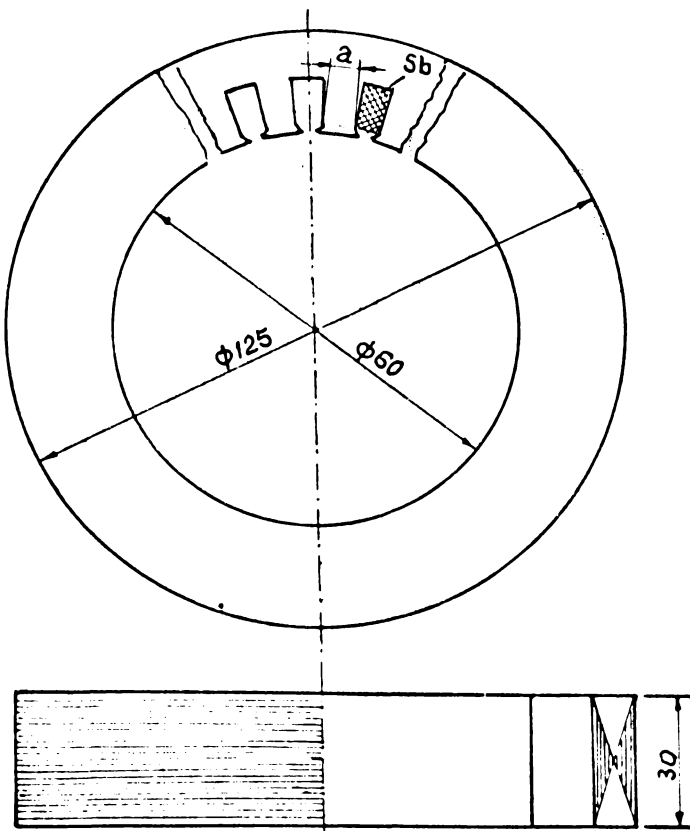


Figura nr. 3.39

Numărul crestăturilor $z = 24$; Suprafața disponibilă pentru bobinaj este $S_b = 100 \text{ mm}^2$; $h = 30 \text{ mm}$; $a = 6 \text{ mm}$.

Bobinajul trifazic necesar a fi realizat trebuie să realizeze un cîmp magnetic radial cu repartitie spațială în-vîrtitoare.

Schema bobinajului pentru inductorul cu o singură perioadă de poli este prezentată în figura nr. 3.40.

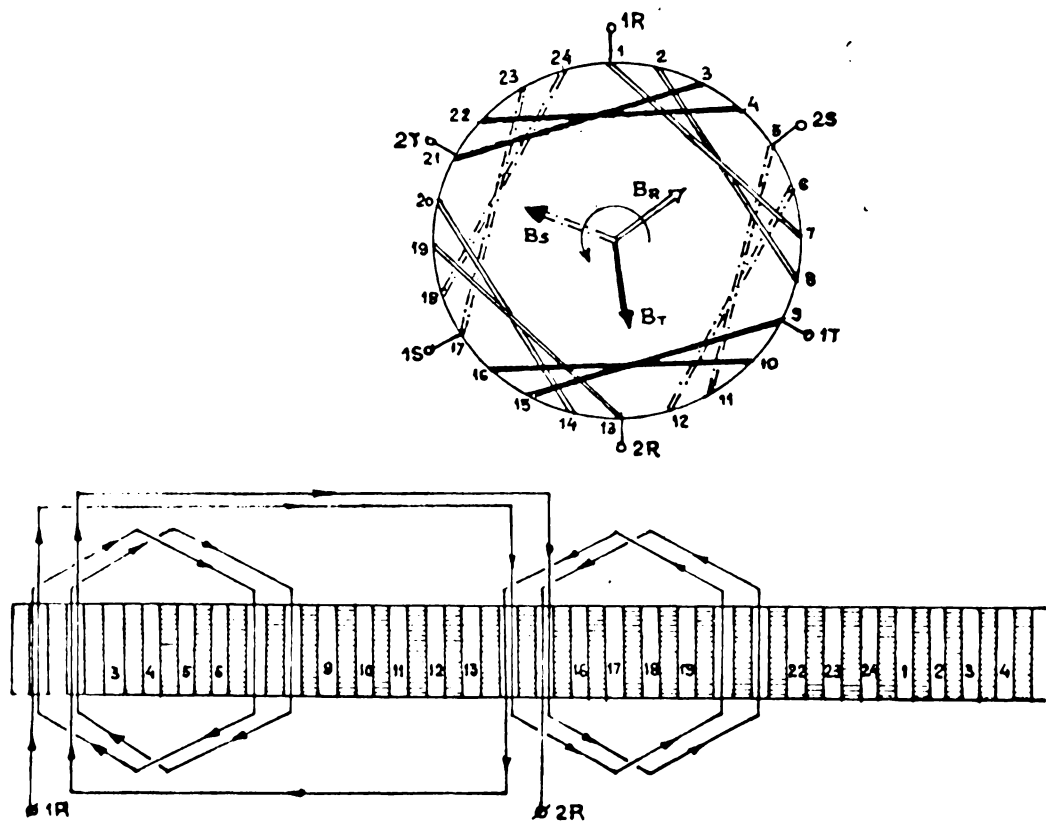


Figura nr. 3.40

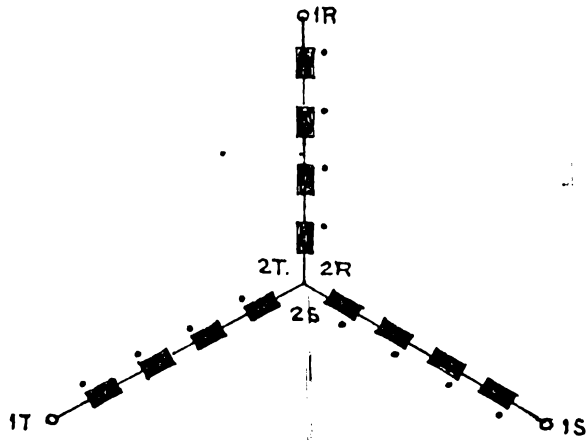


Figura nr. 3.41

Numărul total de bobine pe o fază este $N_f = 4$, iar numărul total $N_B = 3 \cdot N_f = 12$. Pasul de bobinare de 7 creștături.

- Calculul solenăției:

Schematic, circuitul magnetic al inductorului se poate reprezenta ca în figura nr. 3.42 unde N_1 = numărul de

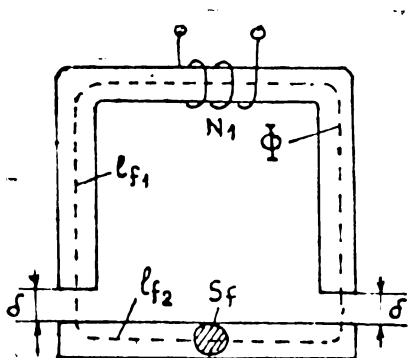


Figura nr. 3.42

spire al unei bobine; l_{f_1} ,
 l_{f_2} - lungimea drumului parcurs de flux în armătura exterioară,
respectiv interioară ($l_{f_2} \approx 2R_1 = 0,05$ m; $l_{f_1} \approx 0,05$ m);
δ - mărimea intrefierului; δ = 4 mm;
 S_f - secțiunea fierului;
 $S_f = 2 \cdot ah$ (figura nr. 3.39);
 Φ_f - fluxul prin fier.

Scriind formula lui Kirchhoff pentru circuitul dat se obține:

$$\dot{\Phi} = N_1 I = \sum U_m = U_{mf_1} + U_{mf_2} + 2R_{m_1} \Phi_f$$

sau încă

$$N_1 I = U_{mf} + 2 \frac{\delta}{\mu_0 \cdot S_f} \Phi_f \quad (3.382)$$

Rezolvarea rapidă a ecuației (3.382) se poate face pe cale grafică, pornind de la caracteristica materialului circuitului magnetic.

După [41], pentru tole de tablă silicioasă

avem caracteristica din figura nr. 3.43.

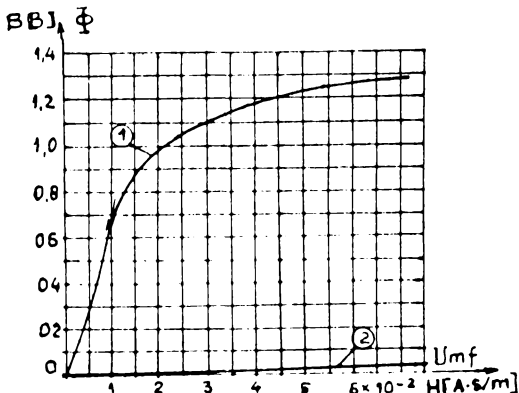


Figura nr. 3.43

Peste aceasta, se suprapune dreapta $U_{mi} = 2R_{mi}\Phi$.
Panta dreptei este:

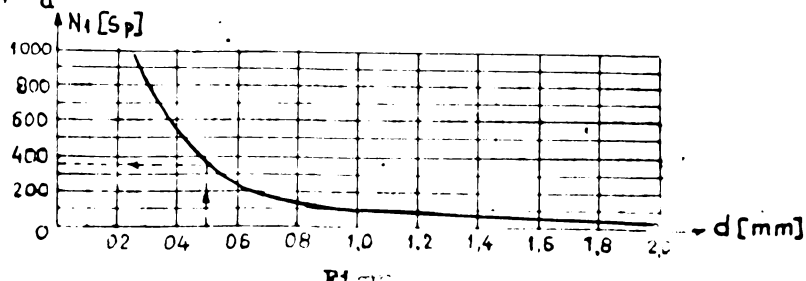
$$\tan \alpha = \frac{\Phi}{U_{mi}} = \frac{1}{2R_{mi}} = \frac{\mu_0 S_f}{2\delta} \quad (3.383)$$

Cu valorile concrete $\mu_0 = 4 \cdot 10^{-7} \frac{H}{m}$; $\delta = 4 \cdot 10^{-3} m$; $S_f = 2 \text{ Zah} = 2 \cdot 6 \cdot 30 = 360 \text{ mm}^2$, se găsește $\tan \alpha = 0,36 \cdot 10^{-10}$. Scara figurării (3.43) dreapta corespunzătoare pierderilor de tensiune magnetică în întrefier (2), este aproape orizontală, fapt ce indică că toate pierderile au loc în întrefier, iar posibilitatea saturării miezului este foarte îndepărtată.

În această situație, pentru suprafața disponibilă a bobinajului Sb, admitînd un grad de umplere $\gamma = 0,7$, se obține suprafața utilă a cuprului $S_{Cu} = \gamma \cdot S_b = 0,7 \cdot 100 = 70 \text{ mm}^2$. În acest spațiu se vor putea bobina N_1 spiră cu conductor de

diametru d: $\frac{\pi d^2}{4} \cdot N_1 = S_{Cu} = \text{ct}$. Reprezentînd grafic ecuația

$$N_1 = 4 \frac{S_{Cu}}{\pi d} \frac{1}{2} \text{ găsim curba din figura nr. 3.44.}$$



S-a ales varianta de bobinare avind $d = 0,5 \text{ mm}$; $N_1 = 360$ spire. Densitatea de curent uzual admisă este $j = 2 \text{ A/mm}^2$. Pentru experimentări, pe timp scurt și cu răcire forțată se pot admite densități $j = 5 \text{ A/mm}^2$. Solenitatea maximă disponibilă este:

$$N_1 I_{\max} = N_1 \cdot j_{\max} \cdot \frac{\pi d^2}{4} = \frac{360 \cdot 5 \cdot \pi \cdot 0,5^2}{4} = 565 \text{ A.sp.}$$

Inducția maximă disponibilă în întrefier se calculează imediat:

$$B = \mu_0 H = \mu_0 \frac{N_1 I}{2 \pi} \quad (3.384)$$

Cu valorile calculate anterior se obține $B_{\max} = 0,1 \text{ T}$, respectiv valoarea maximă a numărului $H = 100$. Se observă ugor, căci și în aceste condiții forțate, inducțiile obținute ating abea 10-15% din valorile uzuale întâlnite la reacții electrice obisnuite.

Situatia poate fi depășită prin utilizarea unor armături proiectate special; cu spații disponibile pentru bobinaj mult majorate, eventual cu bobinaj dublu, dispus atât pe armătura exterioară cît și pe cea interioară, pentru a putea obține solenatiile de 4-5 ori mai mari.

b) Calculul electric al giroscopului de curent continuu

Constă în determinarea valorii inducției în întrefier pentru un circuit magnetic dat precum și pentru magneti permanenti disponibili și de asemenea în determinarea valorii cîmpului electric E pentru o anumită valoare a tensiunii de alimentare.

Fie circuitul magnetic cu magnet permanent reprezentat în figura nr.

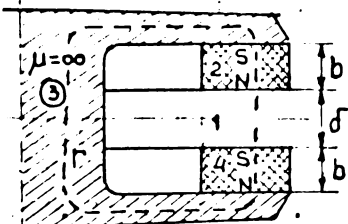


Figura nr. 3.45

Aplicând legea circuitului magnetic de-a lungul curbei, Γ , se obține:

$$\oint_r H \cdot ds = H \cdot 2b + H_0 J = 0$$

în care H este intensitatea cîmpului în magnet, H_0 intensitatea cîmpului în întrefier. (Portiunile de armătură s-au neglijat, deoarece $\mu \rightarrow \infty$, deci $H \rightarrow 0$, pentru ca $B = \mu H$ să fie finit).

Datorită dispersiei fluxului în întrefier putem scrie:

$$B_o A_o = K \cdot B \cdot A_f \quad (3.385)$$

în care B_o este inducția în întrefier, B inducția în magnet, K – coeeficient de dispersie a fluxului în întrefier, ($0 < K < 1$)

Din combinarea relațiilor (3.384) și (3.385) rezultă:

$$H = H_d = -K \frac{A_f}{2b} \frac{B}{A_o} \frac{B}{\mu_0} \quad (3.386)$$

Această relație reprezintă pe diagrama curbei de magnetizare $B(H)$ o dreaptă α (figura nr. 3.46)

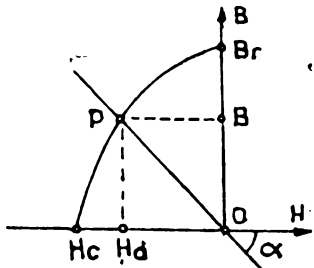


Figura nr. 3.46

Panta dreptei este:

$$\operatorname{tg} \alpha = \frac{B}{H} = - \frac{\mu_0}{K} \frac{2b}{\sigma} \frac{A_o}{A_f} \quad (3.387)$$

și este determinată de configurația circuitului. Punctul de funcționare P , este dat de intersecția curbei de magnetizare a materialului magnetului permanent și dreapta de pantă α .

Inducția din întrefier se calculează imediat:

$$B_o = K \frac{A_f}{A_o} B \quad (3.388)$$

Scriind expresia energiei cimpului magnetic din întrefier, pentru un magnet de volum V_m dat se obține:

$$\frac{B_o^2}{2\mu_0} \sigma A_o = \frac{B_o H_o}{2} V_o \quad (3.389)$$

unde $V_o = A_o \sigma$ – este volumul întrefierului.

Tinând cont și de (3.388) putem scrie:

$$\frac{B_o H_o}{2} V_o = K \frac{B(H)}{2} V_f \quad (3.390)$$

Ultima relație arată că pentru un magnet dat, întrefierul trebuie să fie astfel dimensionat încât punctul P să corespundă unor coordonate a căror produs $B \cdot H$ să fie maxim. Cu aproximatie, acest punct se găsește pe diagonala dreptunghiului Br , Hc .

Pentru magnetii disponibili, de dimensiuni $D = 164\text{mm}$
 $d = 130\text{ mm}$; $b = 20\text{mm}$ avind curba caracteristica din figura nr. 3.47, se obtine:

- $V_o = \frac{\pi}{4}(D^2 - d^2) \delta = 25,7 \cdot 10^3 \delta [\text{mm}^3] \text{ m}^2$
 (s-a admis $K = 0,8$).

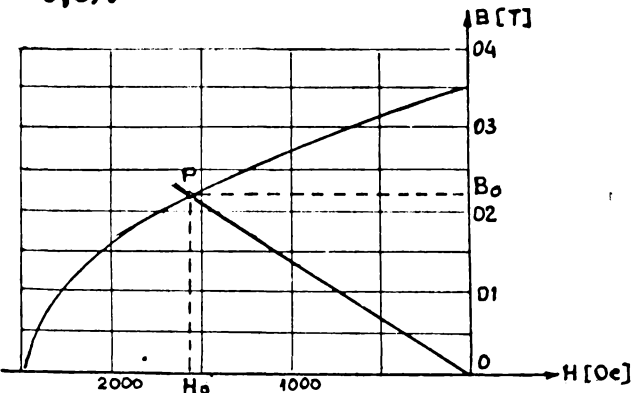


Figura nr. 3.47

sau, valoarea optimă a întrefierului $\delta_o = \frac{4V_o}{\pi(D_o^2 - d^2)} = 17,5\text{mm}$

- Calculul rezistenței electrice a canalului.

Canalul are forma din figura nr. 3.48 (pentru scopul cu
 inducție axială)

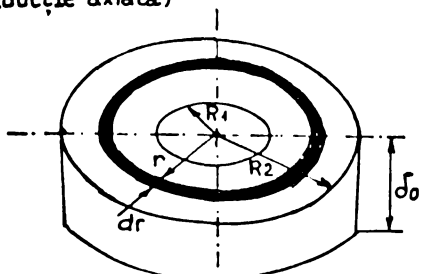


Figura nr. 3.48

Pentru porțiunea elementară cuprinsă între razele r și $r + dr$, rezistența electrică este:

$$dR_e = \frac{1}{6} \frac{dr}{2\pi r \delta_o}$$

iar pentru întregul volum:

$$R_e = \frac{1}{2\pi \delta_o} \ln \frac{R_2}{R_1} \quad (3.381)$$

Neglijînd rezistența de contact la electrozi, putem calcula valoarea curentului absorbit din sursă de tensiune U :

$$I = \frac{U}{R_e + r_i} = \frac{2\pi \cdot 6 \cdot \delta_o U}{\ln \frac{R_2}{R_1} + 2\pi \cdot 6 \cdot \delta_o r_i} \quad (3.382)$$

unde r_i este rezistența internă a sursei. Drept sursă s-a folosit o baterie de acumulatori cu Pb, având 8 elementi cuplați în paralel. Schema instalației de alimentare este prezentată în figura nr. 3.49

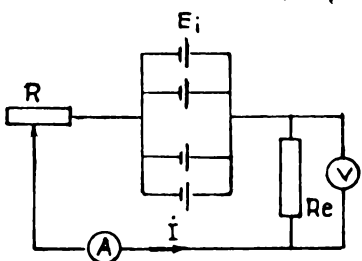


Figura nr. 3.49

3.8. REZULTATE EXPERIMENTALE

3.8.1. MASURAREA DISTRIBUTIEI DE VITEZE

In hidrodinamica clasică există o mare diversitate de mijloace și metode pentru măsurarea vitezei fluidelor bazate pe unul din următoarele principii:

- a. metode cinematice;
- b. metode bazate pe transformarea energiei;
- c. metode bazate pe interferența undelor de presiune;
- d. metode termoelectrice (firul cald);
- e. metoda MHD.

Analizând pe rînd aceste metode, din punctul de vedere al cazului concret al giroscopului MHD, ele se dovedesc neadecvate.

Avînd în vedere forma și dimensiunile mici ale canalului MHD (figura nr. 3.50) apare evidentă obligativitatea

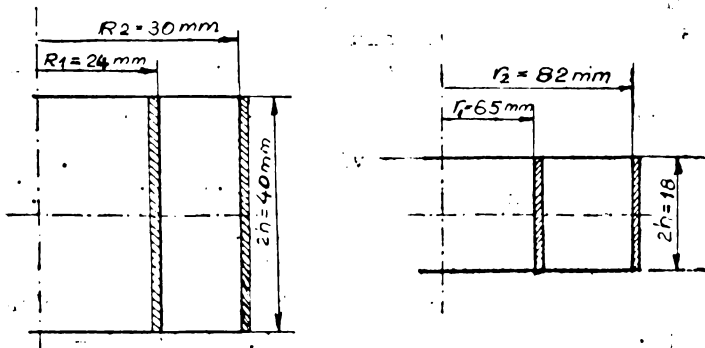


Figura nr. 3.50

utilizării unui instrument cu dimensiuni minime pentru ca perturbarea curgerii să fie minimă. O sondă de tipul tubular Pitot de dimensiuni acceptabile nu poate fi utilizată datorită fenomenelor legate de efectul tensiunii superficiale a mercurului și de variațiile de temperatură.

Pe de altă parte, incinta MHD fiind închisă, iar fluidul de lucru fiind opac, este exclusă folosirea metodelor bazate pe interferența undelor de presiune sau luminoase.

Din punct de vedere al finitei instrumentului de

măsură apare tentantă la prima vedere metoda firului cald.

Dar experiența arată că în cazul lichidelor aplicarea metodei este mult mai dificilă decât în cazul gazelor, iar în condițiile existenței unui fluid electroconductor, sonda va fi practic scurtcircuitată. Adăugind la acestea și existența unor cimpuri electromagnetice variabile, tensiunile electromotoare induse în fir îl fac și mai greu utilizabil.

Există totuși, în literatură, referiri cu privire la utilizarea unei sonde de tip termoanemometric[56] realizată sub forma unui tub eliptic de quart având $a/b=0,2/0,15$ mm, $l=3$ mm, pe suprafața căruia este depus un strat (film) subțire de platină. Pentru a împiedica contactul galvanic cu fluidul electroconductor, întreg firul este izolat cu o peliculă exterioară de quart. În cazul folosirii într-o zonă cu cimp magnetic variabil este necesar un dispozitiv exterior de filtrare a tensiunii alternative induse. Totuși, având în vedere dimensiunile mici ale spațiului de manevră, chiar și acest aparat ar fi dificil de utilizat.

În literatura de specialitate informațiile cu privire la metodele de măsurare a vitezei sunt puține. Sunt cunoscute metodele bazate pe măsurarea vitezelor unor corpuri imerse în fluidul electroconductor. Astfel în[59] se arată că măsurarea unor viteze medii se poate face cu ajutorul unei sfere din aur scufundată în mercur făcindu-se și o tratare teoretică a metodei, obținându-se condițiile ce stabilesc dimensiunea sferei și corelația dintre viteză și viteză medie a fluidului:

Deoarece, în cazul giroscopelor MHD este necesară cunoașterea căt mai exactă a distribuției de viteze pentru calculul momentului cinetic precum și pentru verificarea experimentală a modelului teoretic propus, nici una din metodele trecute în revistă nu oferă satisfacție.

Tinând cont de toate observațiile anterioare, a fost imaginată o metodă de măsurare a vitezei bazată pe măsurarea rezistenței la înaintare a unui obstacol cilindric plasat în cimpul mișcării. Pentru ca perturbarea să fie minimă s-a acceptat un fir cilindric confectionat din

sticla avind diametrul $d = 0,08$ mm (măsurat cu ajutorul unui microscop de atelier Carl Zeiss-Jena). S-a ales ca material sticla, întrucât este obligatoriu ca materialul să nu fie electroconductor, în caz contrar asupra sa s-ar dezvolta forțe Lorentz care ar denatura rezultatele măsurătorilor. Pe de altă parte variațiile de temperatură ale fluidului de lucru nu trebuie să producă dilatări importante ale firului care ar afecta negativ rezultatele măsurătorilor. Schema instalației de măsurare este prezentată în figura nr. 351. Ulterior, deoarece fragilitatea sticlei s-a dovedit și în nitoare în timpul măsurătorilor, a fost înlocuit firul de sticla cu un fir de teflon de grosime $d = 0,1$ mm.

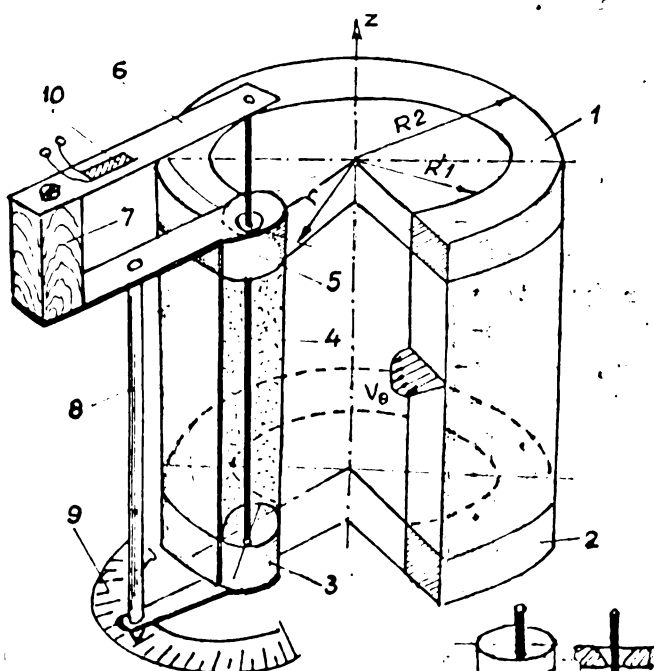


Figura nr. 3.51 Det 1. Det 2

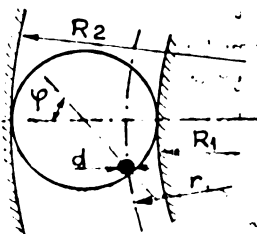
orificiile capelor 1 și 2, firul poate baleia întreg intervalul $R_2 - R_1$ așa cum se arată în figura nr.3.52.

Firul (1) este încastrat la capătul inferior în dopul de teflon (3) astfel încât generațoare să să fie în prelungirea generatei dopului (detaliul 1) și să pătrundă prin orificiul comun al dopului și superior (det. liul 2). Capătul său superior este articulat la capătul lamelei elastice 6 care este suportul mărșilor tensiometrice 10.

Prin rotirea
simultană a dopu-
rilor de teflon în

$$r = R_1 + \frac{d_1}{2} (1 - \cos \varphi) \quad \varphi \in (0 - \pi)$$

(s-a ales $d_1 = R_2 - R_1$)



Suportul reglabil al lamelei elastice, (7), permite orientarea permanentă a acesteia după direcția tangentei (figura nr.351). Poziția firului se determină prin cîtirea unghiului la cadrul gradat 9.

Metoda de măsurare

Figura nr.3.52

Firul întins, fixat în C, trece peste „scripetele mic” din B și este legat la capătul A al lamei elastice pe care sunt montate mărurile tensiometrice. Asupra părții imerse de lungime $2a$ acționează sarcina distribuită

$$q = \frac{dp}{r} = \rho \frac{V_0^2}{z} \cdot C_x \cdot d \cdot dz$$

unde ρ este densitatea merkului, V_0 - valoarea vitezei tangențiale la raza r (constantă cu z cu excepția stratului de frecare din vecinătatea capelor (punctele A, O), C_x este coeficientul rezistenței la înaintare, d -diamestrul firului. Sub acțiunea sarcinii uniform distribuite q , firul se va deforma și va produce săgeata "f" la lamela elastică. Într-un sistem de coordonate oyz (în ipoteza firului bine întins) ecuația firului încărcat este:

$$y'' = - \frac{q}{2H} z^2 + C_1 z + C_2 \quad (3.593)$$

unde H este proiecția pe axa z a tensiunii din fir (constantă pe totă lungimea firului).

Condițiile la limită:

$$y = 0 \text{ pentru } z = 0; z = 2a$$

$$y = 0 \text{ pentru } z = a$$

(3.594)

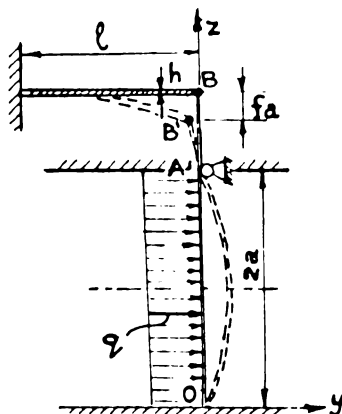


Figura nr.3.53

conduc la:

$$y = \frac{-q}{2H} z^2 + \frac{q}{H} \cdot az \quad (3.395)$$

Lungimea firului încărcat între punctele O și A este:

$$s = \int_0^{2a} ds = \int_0^{2a} \left(1 + \frac{1}{2} y^2 + \dots + \right) dz \quad (3.396)$$

După efectuarea calculelor găsim:

$$s = 2a + \left(\frac{q}{H}\right)^2 \cdot \frac{a^3}{3}$$

Observind însă faptul că lungimea firului între O și A crește de la $2a$ la s cu mărimea săgeții f_A a lamelei elastice, putem scrie:

$$s - 2a = \left(\frac{q}{H}\right)^2 \frac{a^3}{3} = f_A = \frac{T_A \ell^3}{3EI} \quad (3.397)$$

unde T_A este valoarea tensiunii din fir în A, iar $I = \frac{bh^3}{12}$ – momentul de inerție al secțiunii transversale a lamelei supusă la încovoiere.

Între T și H există relația:

$$T = \frac{H}{\cos \alpha} = H \frac{dz}{ds} = \frac{H}{2} \left(2 + \frac{q^2}{H^2} z^2 - 2 \frac{q}{H} az + \frac{q^2}{H^2} a^2\right) \quad (3.398)$$

Valoarea maximă pentru $z = 0$; $z = 2a$ fiind:

$$T_{max} = H + \frac{q^2 a^2}{2H}$$

Inlocuind (3.398) în (3.397) obținem:

$$H^3 + \frac{q^2}{2} \frac{a^2}{H} H - \frac{q^2 a^3 EI}{\ell^3} = 0 \quad (3.399)$$

relație ce reprezintă legătura dintre H și q sub formă unei ecuații de gradul trei de formă particulară, în necunoscuta H , care admite o singură soluție reală:

$$H = P + Q \quad (3.400)$$

unde:

$$P, Q = \sqrt[3]{\frac{q^2 a^3}{2} EI} \pm \sqrt{\left(\frac{q^2 a^2}{6}\right)^3 + \left(\frac{q^2 a^3 EI}{2}\right)^2} \quad (3.401)$$

Forța T_A va produce în lamela elastică un moment încovoietor

$M_1 = H \cdot x$, care produce o deformatie si citita la puntea tensometrica.

Pentru utilizarea metodei este necesara o tarare prealabila facuta in conditiile de similitudine, in scopul determinarii valorii coeficientului existentiei la inaintare C_x .

In acest scop, a fost construit un dispozitiv asemănător celui reprezentat in figura nr.3.51, asezat in zona de lucru a unui tunel aerodinamic. In scopul limitarii influentei fileurilor de aer numai asupra firului, acesta a fost acarat corespunzator. Mărcile tensometrice au fost conectate in semipuncte iar măsurarea s-a facut cu o puncte tensometrica IEMI, tip N2302.

Viteza aerului a fost măsurată cu ajutorul unui tub Pitot, conectat la un manometru cu alcool cu tub inclinat ($\alpha = 15^\circ$). (Figura nr. 3.55).

Rezultatele măsurătorilor sunt date in tabelul următor:

Tabel de măsurători nr.3.3

Nr. crt.	$2a$ mm	l [mm]	V [m/s]	2δ [%/oo]	g [N/m]	C_x	Obs.
1	250	3,0	2,9	$1,77 \cdot 10^{-5}$	$0,507 \cdot 10^{-3}$	1,09	$C_x = \frac{\sum C_{x1}}{t}$ $C_x = 1,08$
2		5,0	4,2	$2,4 \cdot 10^{-5}$	$1,19 \cdot 10^{-3}$	1,11	
3		10	5,7	$4,67 \cdot 10^{-5}$	$2,74 \cdot 10^{-3}$	1,1	
4		20	8,25	$7,66 \cdot 10^{-5}$	$1,55 \cdot 10^{-3}$	1,1	
5		31	10,15	$10,05 \cdot 10^{-5}$	$0,83 \cdot 10^{-3}$	1,09	
6		43	12,0	$12,5 \cdot 10^{-5}$	$9,46 \cdot 10^{-3}$	1,08	
7		50	13,7	$14,8 \cdot 10^{-5}$	$1,2 \cdot 10^{-3}$	1,07	
8		69	15,2	$17,2 \cdot 10^{-5}$	$1,532 \cdot 10^{-3}$	1,09	
9		100	18,3	$22 \cdot 10^{-5}$	$2,1 \cdot 10^{-3}$	1,08	
10		119	20,12	$25,4 \cdot 10^{-5}$	$2,7 \cdot 10^{-3}$	1,1	
11		144	21,8	$28 \cdot 10^{-5}$	$3,52 \cdot 10^{-3}$	1,09	
12		171	24,3	$32,1 \cdot 10^{-5}$	$3,9,17 \cdot 10^{-3}$	1,09	

Relatiile utilizate precum si marimile specifice dispozitivului de măsură sunt date in cele ce urmează:

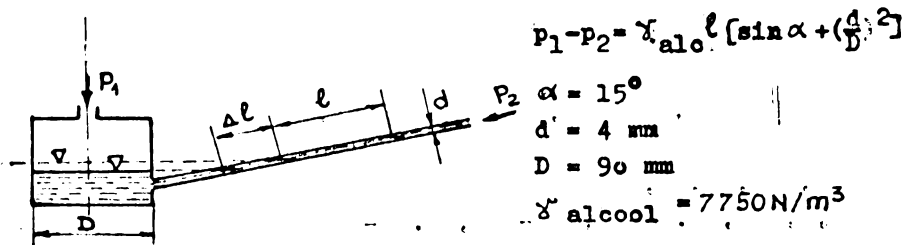


Figura nr. 3.54

Manometrul cu tub înclinat

$$v_\infty = \sqrt{\frac{2(p_1 - p_\infty)}{\rho_{\text{aer}}}}$$

$$\rho_{\text{aer}}/20^\circ\text{C} = 1,2017 \text{ kg/m}^3$$

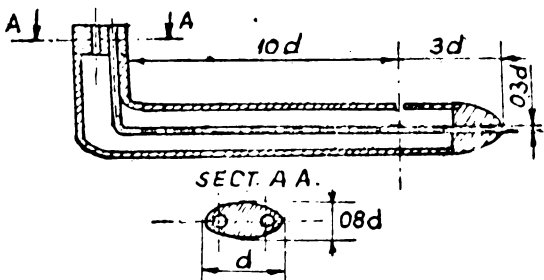
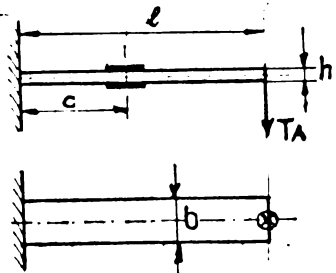


Figura nr. 3.55

Tubul Pitot



$$\begin{aligned} l &= 50 \text{ mm} & M_1 &= T_A(l - c) \\ c &= 10 \text{ mm} & W &= \frac{bh^2}{6} \\ b &= 5 \text{ mm} & E &= 10^5 \text{ N/mm}^2 \\ h &= 0.3 \text{ mm} & G_c &= \frac{M_1}{W} \\ E &= 10^5 \text{ N/mm}^2 & E &= \frac{1}{G_c} \end{aligned}$$

Figura nr. 3.56

Lamela elastică

$$2\varepsilon = 2 \frac{M_1}{W \cdot E} = \frac{12T_A(l - c)}{Ebh^2}$$

Mărurile utilizate sunt de proveniență cehoslovacă avind $R = 20052$ și $K = 1,93$.

NOTA: Pentru montajul în semipunte cu ambele mîrci active valoarea lui ε citită va fi de fapt 2ε .

Deoarece este dificil de utilizat sub forma (3.393) legătura dintre valoarea citită a deformației 2ε și viteza, printr-un program simplu, dat în cele ce urmează, s-a tratat prin puncte curba de etalonare $V_0 = V_0(\varepsilon)$, reprezentată în figura nr. 3.57, pentru mai multe valori ale diametrului fibrului d .

PROGRAMUL PENTRU TRASAREA CURBEI DE ETALONARE

```

5 L PRINT TAB(10)
6 L PRINT TAB(10), VITEZA, FORTA, DEFORM.
7 L PRINT TAB(10)
10 READ V1, V2, A, B, C
20 DATA 0,1, 10, 9.5E-7X, 9E-13X, 4.6E-12X (variabile cu dia-
metrul firului d)
30 FOR V=V1 TO V2 STEP.1
40 D=SQR(B*VX8 + C*VX12)
50 H1 = (A*VX4 + D)X.33
60 H2 = ABS((A*VX4-D))X.33
70 H = H1 - H2
80 E = .01*(H+3.5X(-4)*VX4/H)
90 L PRINT TAB(10), V, H, E
100 NEXT V
110 END

```

Valoarea determinată pentru coeficientul rezistenței la înaintare C_x se încadrează în domeniul indicat în literatură [36]. Rezultatele măsurătorilor efectuate sunt date în tabelele următoare.(3.4 - 3.8)

Graficele care arată distribuția vitezelor măsurate precum și a celor calculate pe baza modelului teoretic propus sunt prezentate în figurile nr.3.60-3.66.

Diferențele observate pot fi explicate prin faptul că modelul propus consideră giroscopul infinit lung, neglijând frecările pe capace. Dacă în modelul sistemului de măsurare s-ar admite distribuția de viteze din stratul de frecare determinată în paragraful 3.4.3, diferențele să ar micografi mod vădit. Totuși, datorită complicațiilor ce intervin în aprecierea corelației dintre mărimea deformației ciștite (2.8) și viteza V_0 din zona centrală precum și buna coincidență a alurii curbelor teoretice și experimentale care confirmă validitatea modelului teoretic construit, nu s-a năi revenit asupra metodei de măsurare.

Din tabelele și graficele prezentate se observă că măsurările au fost efectuate numai pentru giroscopul de curent alternativ.

ETALONAREA FIRULUI
 (la tunelul aerodinamic).

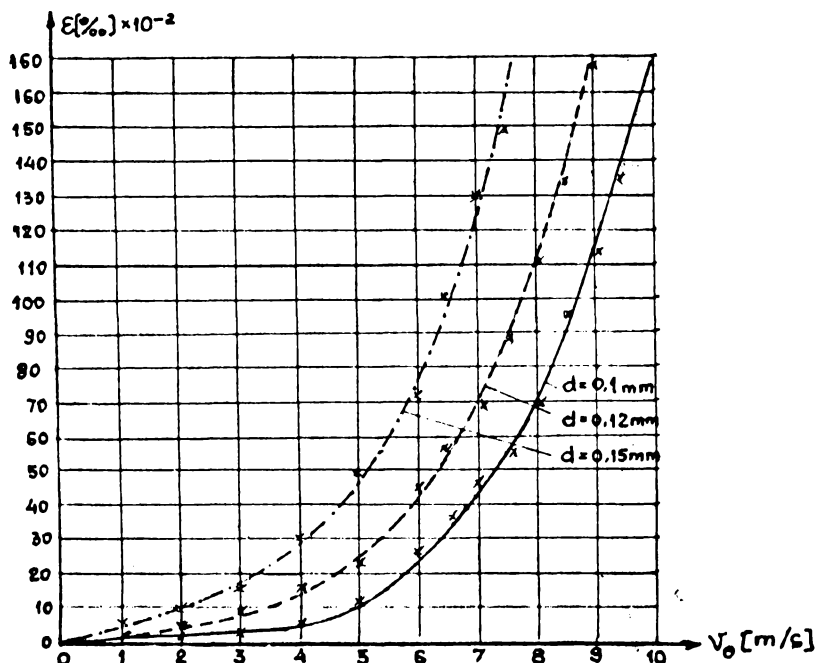
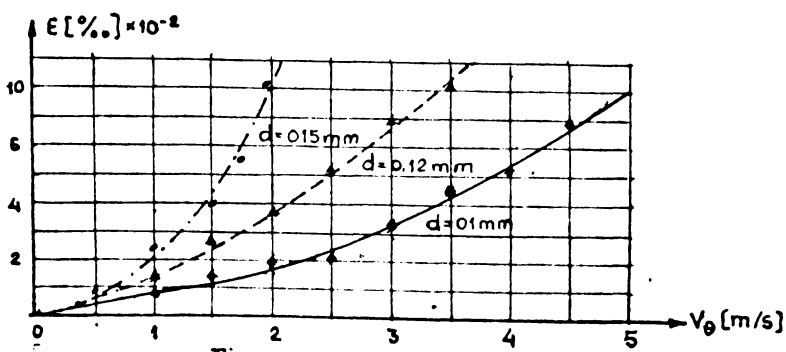


Figura nr. 3.57

Pentru giroscopul de curent continuu, datorită în principal imposibilității practicării unor alezaje corespunzătoare în magnetii permanenti ceramici disponibili nu s-au executat măsurători.

Figura nr. 3.58.
 Detaliu pentru viteze mici.

Curba de etalonare a firului din incinta giroscopului se trasează pe baza rezultatelor unui program similar (anexa nr. 3) și este reprezentată în figura nr.3.59-a și 3.59-b

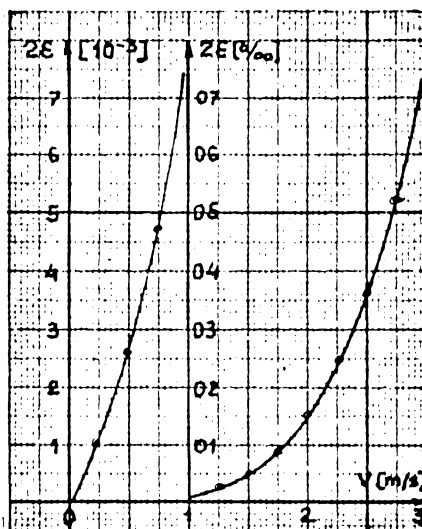


Figura nr.3.59-a

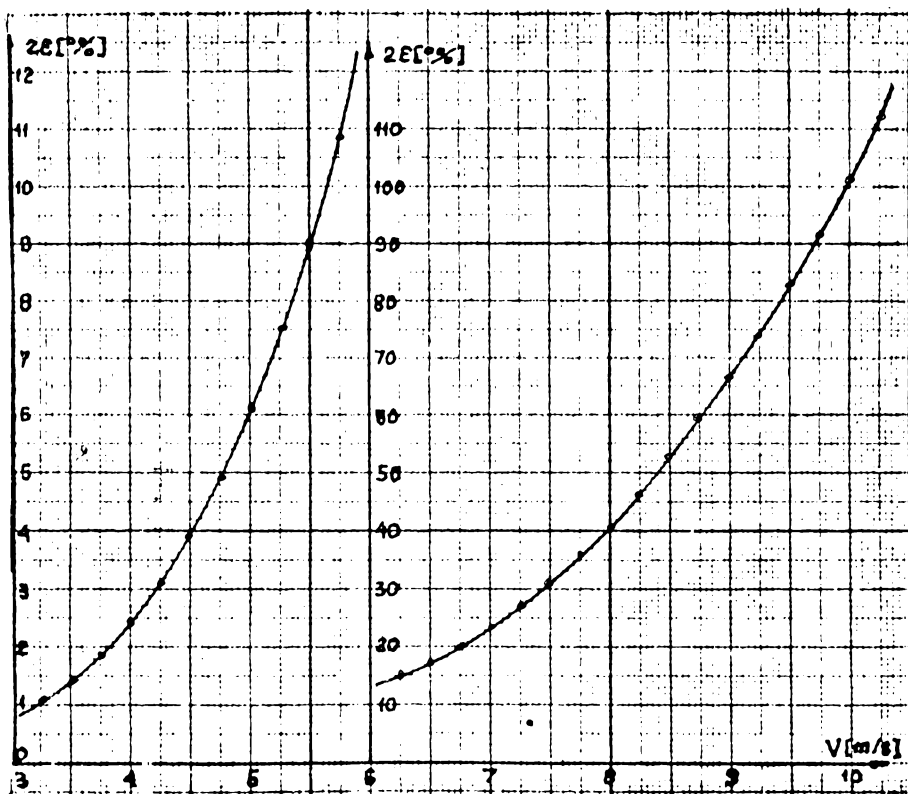


Figura nr. 3.59 - b

Rezultate experimentale

Tabelul de măsurători nr 3.4

Nr. crt.	φ°	r [mm]	$2\epsilon [\%]$	$v_0 [m/s]$	Obs.
1.	0	30	0	0,00	
2.	15°	29,89	$5,5 \cdot 10^{-3}$	0,45	
3.	30°	29,59	$11 \cdot 10^{-3}$	1,05	
4.	45°	29,12	$1,0 \cdot 10^{-2}$	1,8	
5.	60°	28,5	$3 \cdot 10^{-2}$	2,35	
6.	75°	27,77	$6,5 \cdot 10^{-2}$	2,35	
7.	90°	27	$9,5 \cdot 10^{-2}$	3,10	
8.	105°	26,22	$7,5 \cdot 10^{-2}$	2,95	
9.	120°	25,5	$3,2 \cdot 10^{-2}$	2,40	
10.	135°	24,88	$9 \cdot 10^{-3}$	1,75	
11.	150°	24,40	$15 \cdot 10^{-3}$	1,15	
12.	165°	24,10	$5 \cdot 10^{-3}$	0,4	
13.	180°	24	0,0	0	

$$2\bar{\epsilon} = \frac{\sum_{i=1}^n 2\epsilon_i}{n}$$

$$n = 4$$

$$p = 10; B = 0,0277 T$$

$$\Delta \theta = 14$$

Tabelul de măsurători nr 3.5

Nr. crt.	φ°	r [mm]	$2\epsilon [\%]$	$v_0 (m/s)$	Obs.
1.	0	30	0	0,00	
2.	15°	29,89	$7,2 \cdot 10^{-3}$	0,5	
3.	30°	29,59	$7,3 \cdot 10^{-2}$	2,2	
4.	45°	29,12	1,6	3,55	
5.	60°	28,5	5,45	4,85	
6.	75°	27,77	9,6	5,55	
7.	90°	27	11,0	5,75	
8.	105°	26,22	9,25	5,5	
9.	120°	25,5	5,1	4,75	
10.	135°	24,88	1,5	3,5	
11.	150°	24,40	9	2,15	
12.	165°	24,10	$13 \cdot 10^{-3}$	1,1	
13.	180°	24	0,00	0,00	

$$2\bar{\epsilon} = \frac{\sum_{i=1}^n 2\epsilon_i}{n}$$

$$n = 4$$

$$p = 20; B = 0,044 T$$

$$\Delta \theta = 28$$

Tabelul de măsurători nr 3.6

Nr. crt.	φ°	r [mm]	$2\epsilon [\%]$	$v_0 [m/s]$	Obs.
1.	0	30	0,00	0,00	.
2.	15°	29,89	10^{-2}	1,0	.
3.	30°	29,59	1,1	3,2	.
4.	45°	29,12	6,5	5,05	.
5.	60°	28,5	16,2	6,35	.
6.	75°	27,77	20,5	6,7	.
7.	90°	27	23	6,9	.
8.	105°	26,22	17,5	6,45	.
9.	120°	25,5	7,7	5,55	.
10.	135°	24,88	5,1	4,75	.
11.	150°	24,40	$4,8 \cdot 10^{-2}$	2,65	.
12.	165°	24,10	$21 \cdot 10^{-3}$	1,25	.
13.	180°	24	0,00	0,00	.

$$2\epsilon = \frac{\sum_{i=1}^n 2\epsilon_i}{n}$$

$$n = 4$$

$$p = 30, B = 0,066 T$$

$$\text{Ha} \approx 42$$

Tabelul de măsurători nr 3.7

Nr. crt.	φ°	r [mm]	$2\epsilon [\%]$	$v_0 [m/s]$	Obs.
1.	0	30	0,00	0,00	.
2.	15°	29,89	$11 \cdot 10^{-3}$	1,05	.
3.	30°	29,59	2,65	4,05	.
4.	45°	29,12	14,5	6,10	.
5.	60°	28,5	22,5	6,35	.
6.	75°	27,77	30,0	7,35	.
7.	90°	27	29,0	7,3	.
8.	105°	26,22	24,0	6,95	.
9.	120°	25,5	16,2	6,35	.
10.	135°	24,88	9,25	5,50	.
11.	150°	24,40	4,1	4,50	.
12.	165°	24,10	$32 \cdot 10^{-3}$	1,35	.
13.	180°	24	0,00	0,00	.

$$2\epsilon = \frac{\sum_{i=1}^n 2\epsilon_i}{n}$$

$$n = 4$$

$$p = 40, B = 0,088 T$$

$$\text{Ha} \approx 56$$

Tabelul de măsurători nr 3.8

Nr. crt.		r mm	2 %o	v ₀ m/s	Obs.
1.	0	30	0,00	0,00	
2.	15°	29,89	11,5	2,00	
3.	30°	29,59	20,5	6,7	
4.	45°	29,12	30	7,35	
5.	60°	28,5	34	7,60	
6.	75°	27,77	35	7,65	
7.	90°	27	31,5	7,15	
8.	105°	26,22	26,5	7,15	
9.	120°	25,5	22,5	6,85	
10.	135°	24,83	19,0	6,55	
11.	150°	24,40	14,0	6,02	
12.	165°	24,10	45 · 10 ⁻³	1,50	
13.	180°	24	0,00	0,00	

$$2\epsilon = \frac{\sum_{i=1}^n 2\epsilon_i}{n}$$

$$n = 4$$

$$p=80; B=0,16T.$$

$$\Delta z = 113$$

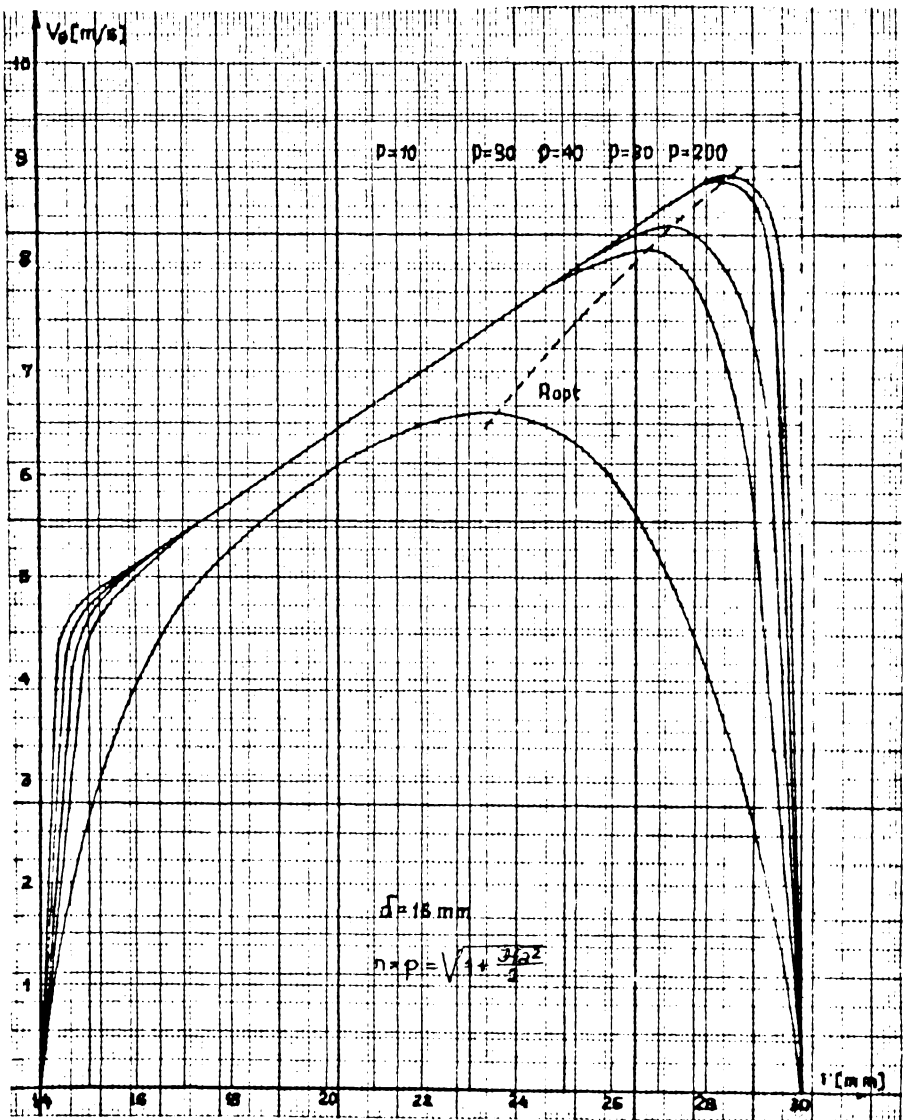


Figura nr.3.60
Distribuția teoretică a vitezei tangențiale în giroscopul
MHD cu inducție radială pentru mărimea intrefierului $\delta = 16$ mm

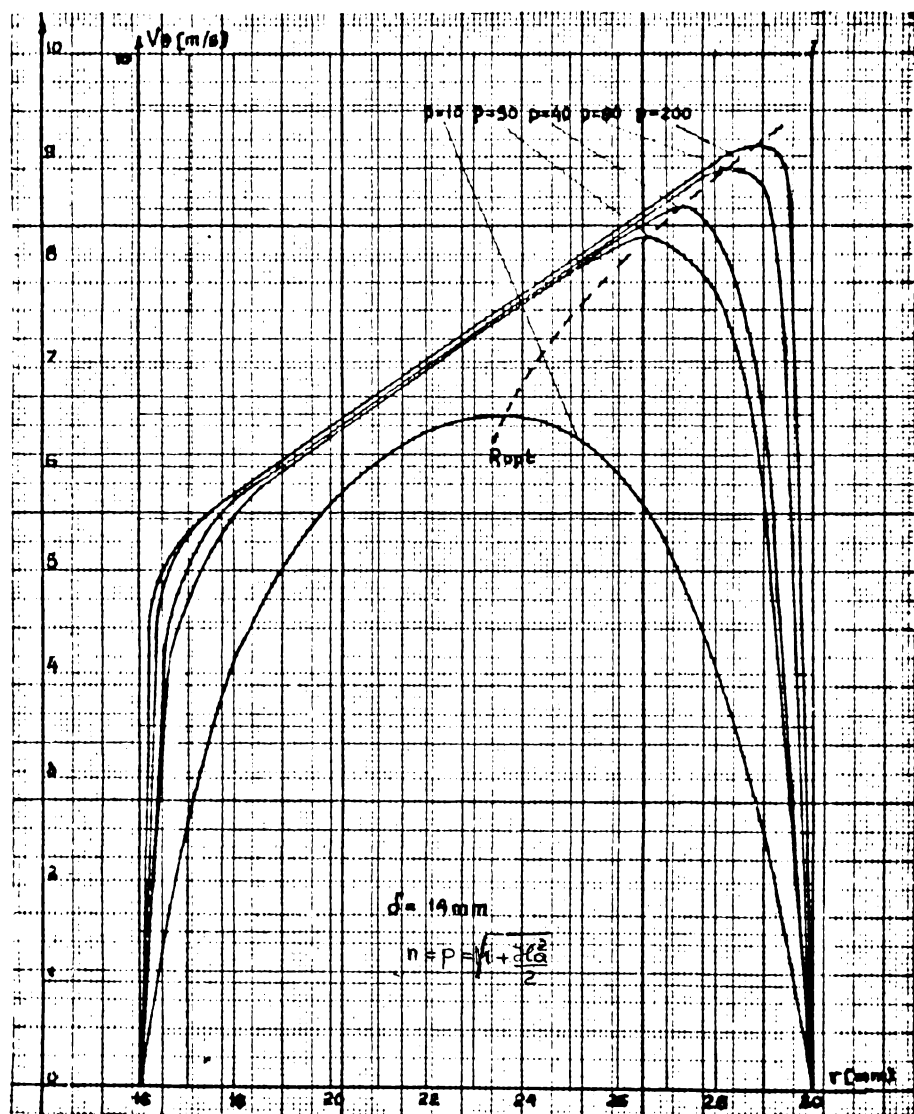


Figura nr. 3.64

Distribuția teoretică a vitezei tangențiale în giroscopul MHD
cu inducție radială pentru mărimea întrefierului $d = 14 \text{ mm}$

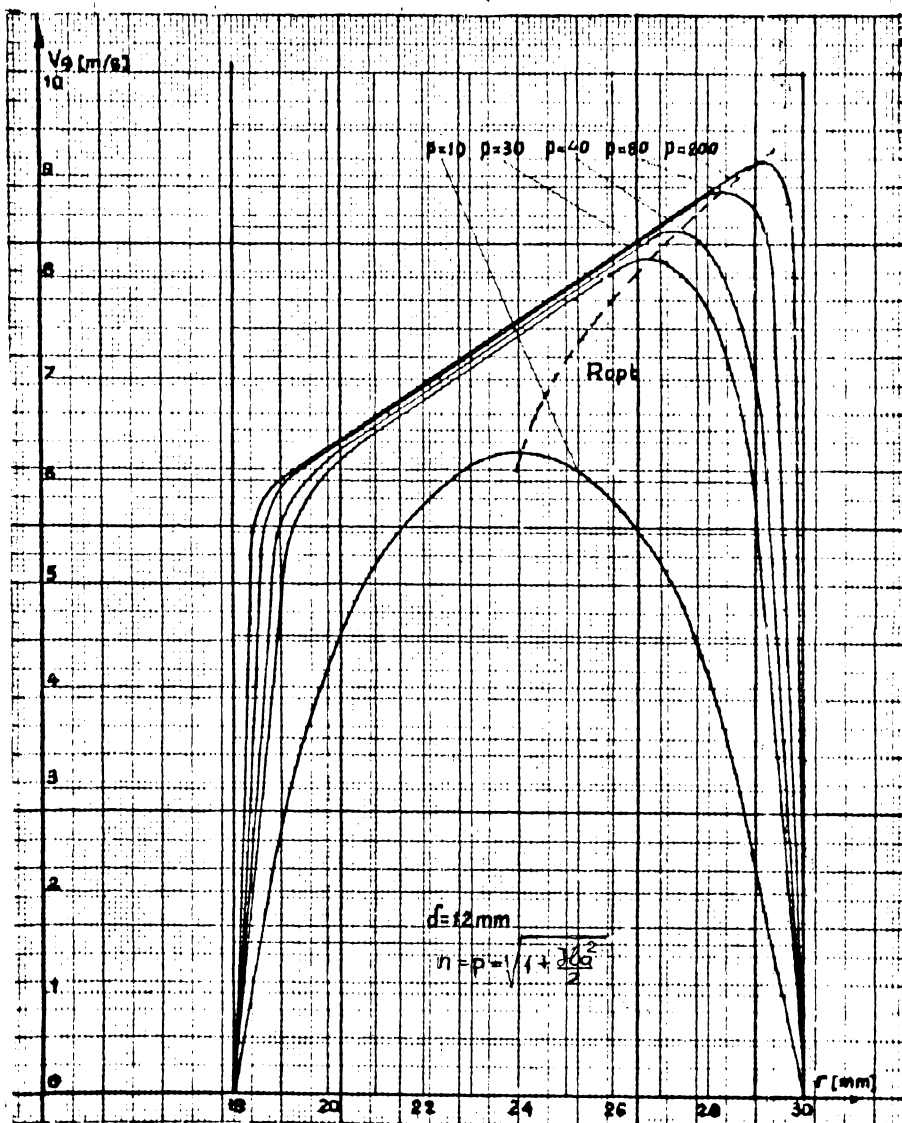


Figura nr. 362

Distribuția teoretică a vitezei tangențiale în giroscopul MHD cu inducție radială pentru mărimea întrefierului $d = 12 \text{ mm}$

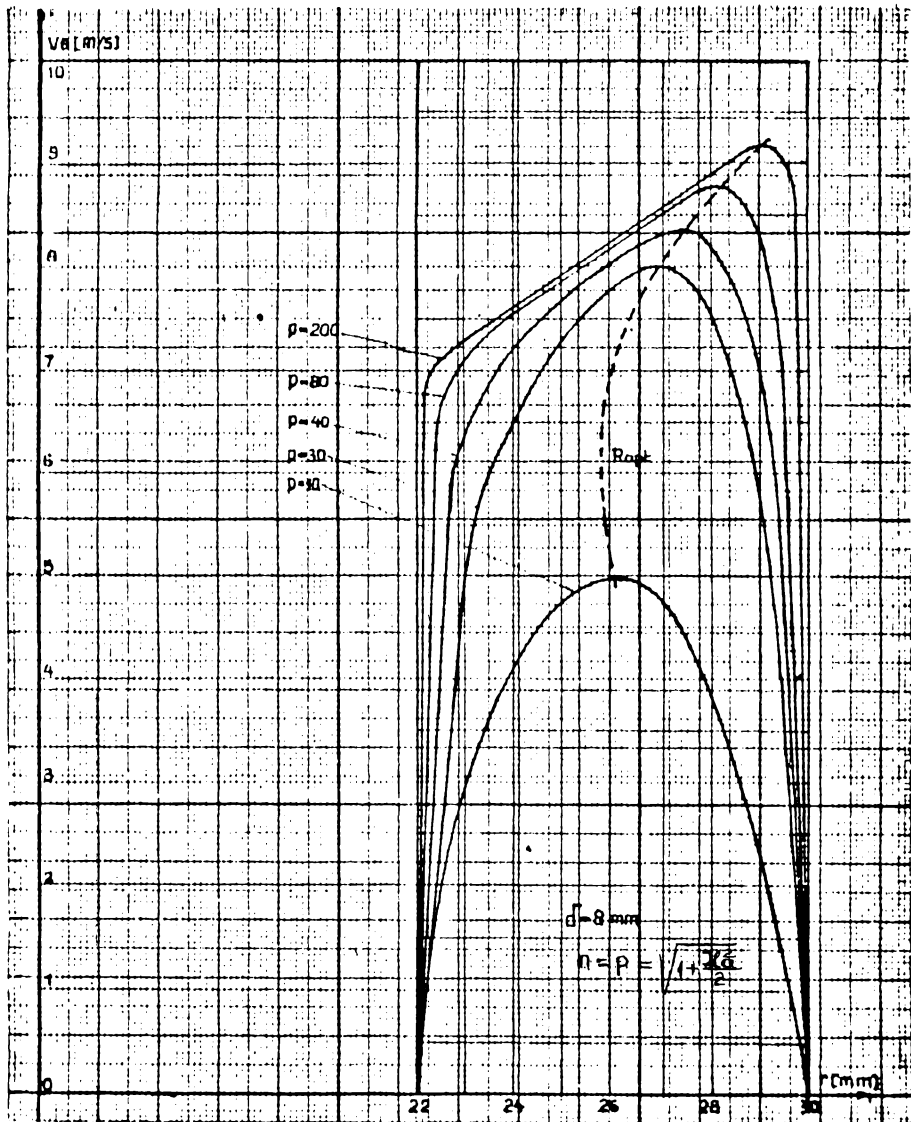


Figura nr. 363

Distribuția teoretică a vitezei tangențiale în giroscopul MHD cu inducție radială pentru mărimea intrefierului $d = 8$ mm

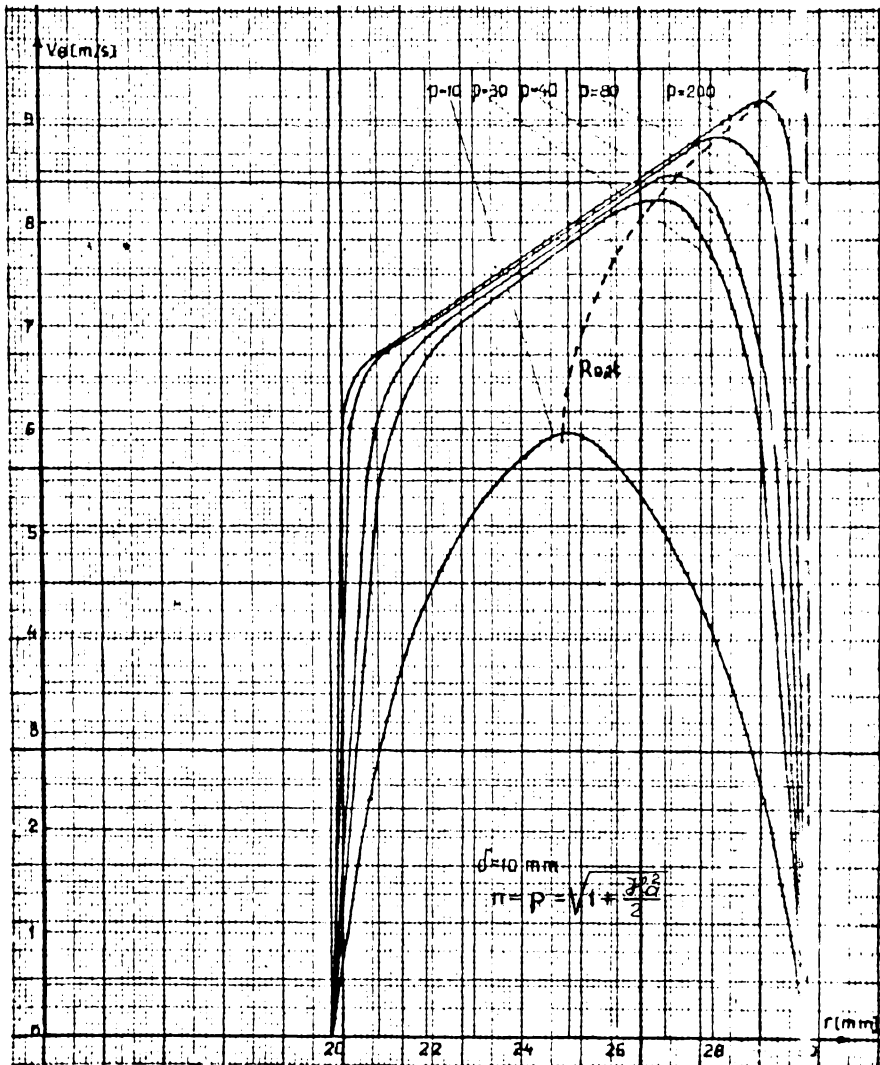


Figura nr. 3.64

Distribuția teoretică a vitezei tangențiale în giroscopul MHD cu inducție radială pentru mărimea întrefierului $d = 10$ mm

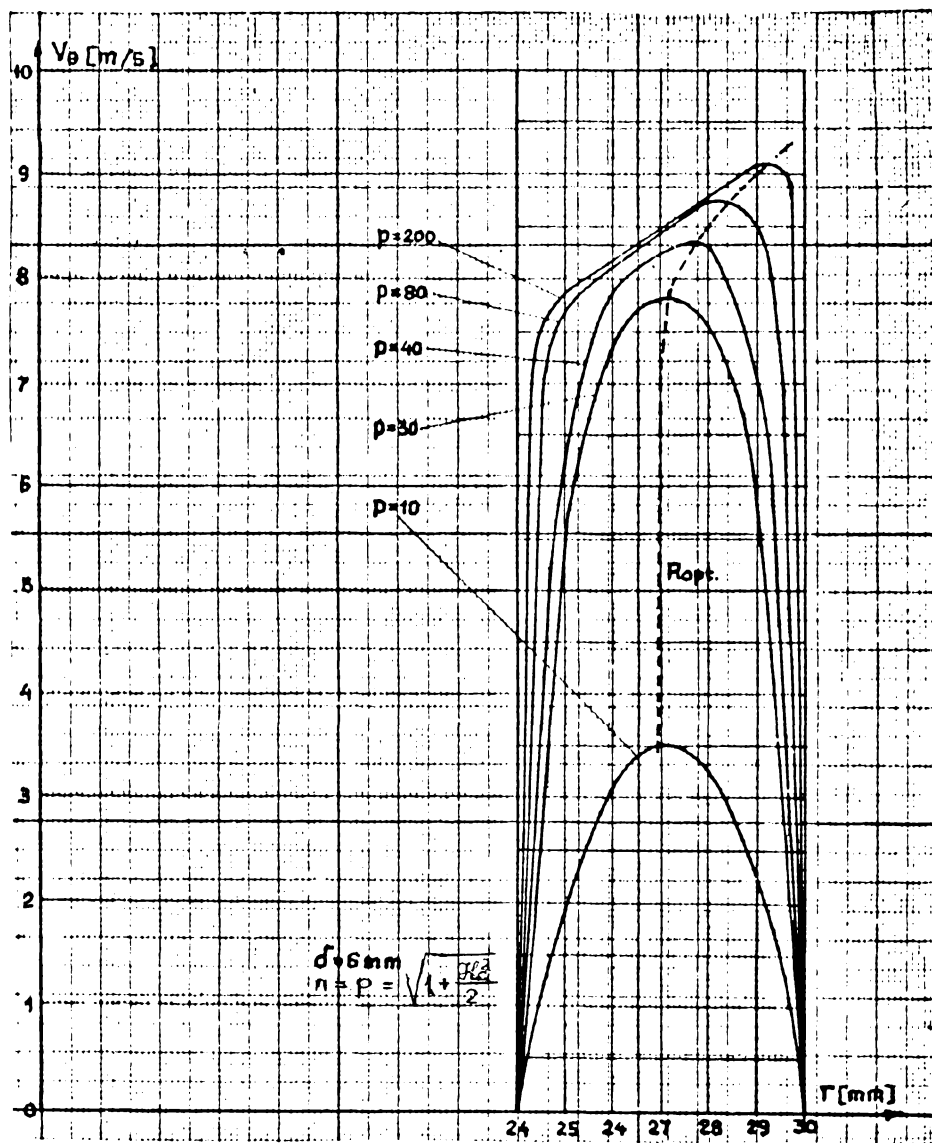


Figura nr. 3.65

Distribuția teoretică a vitezei tangențiale în giroscopul MHD
cu inducție radială pentru mărimea întrefierului $d = 6$ mm.

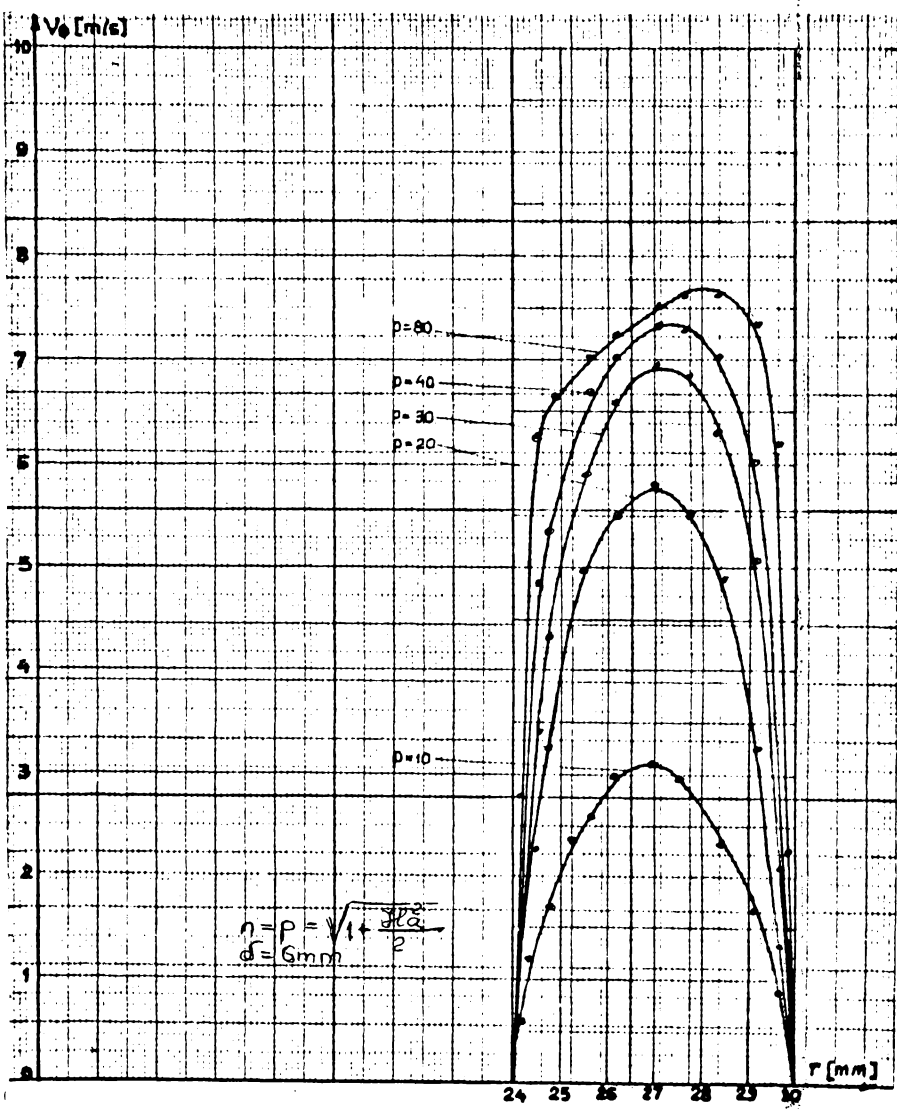


Figura nr. 3.66
Distribuția vitezei tangențiale în giroscopul MHD cu inducție radială. Valori măsurate. $d = 6$ mm

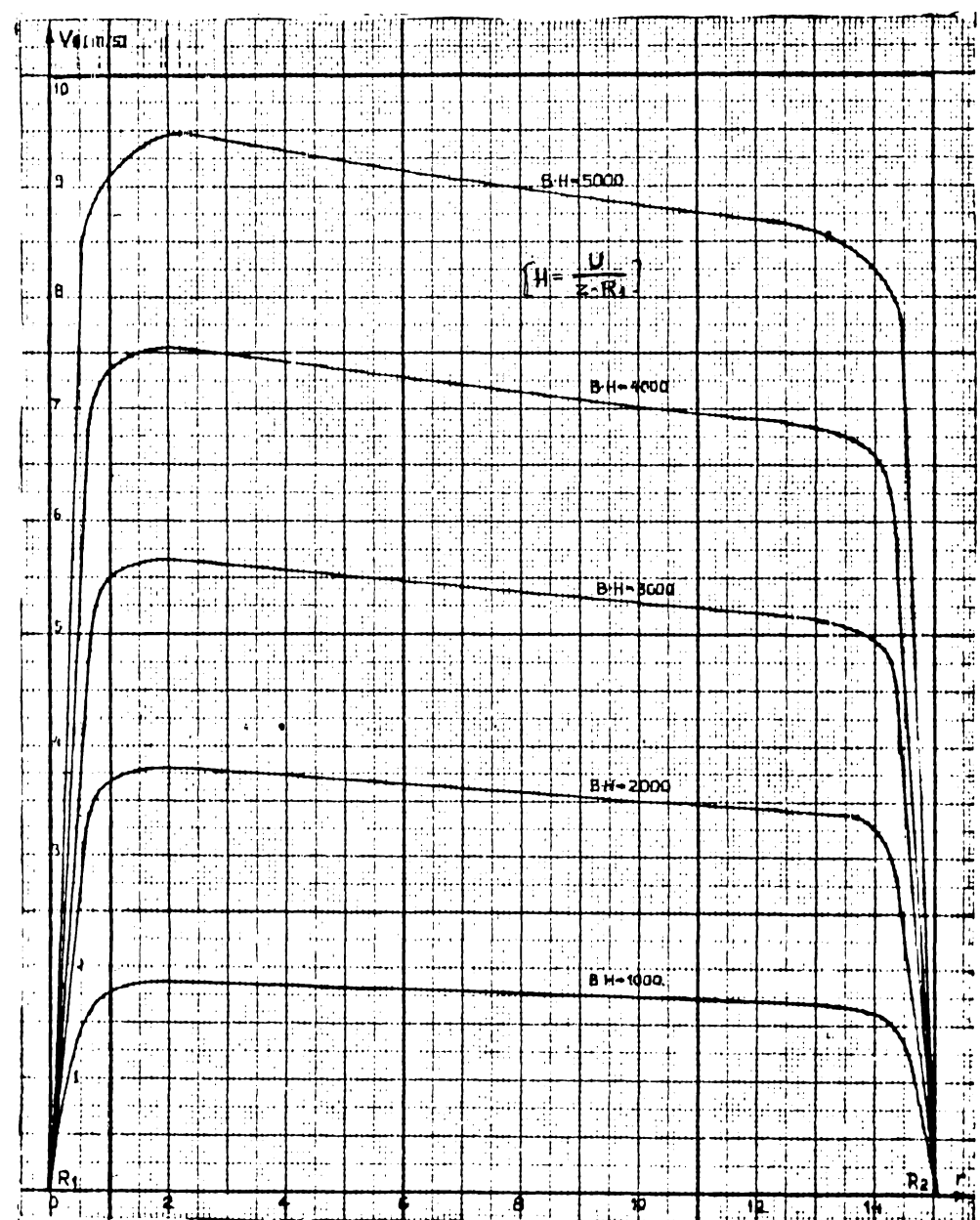


Figura nr. 3.67.
Distribuția teoretică a vitezei tangențiale în giroscopul
MHD de curent continuu.

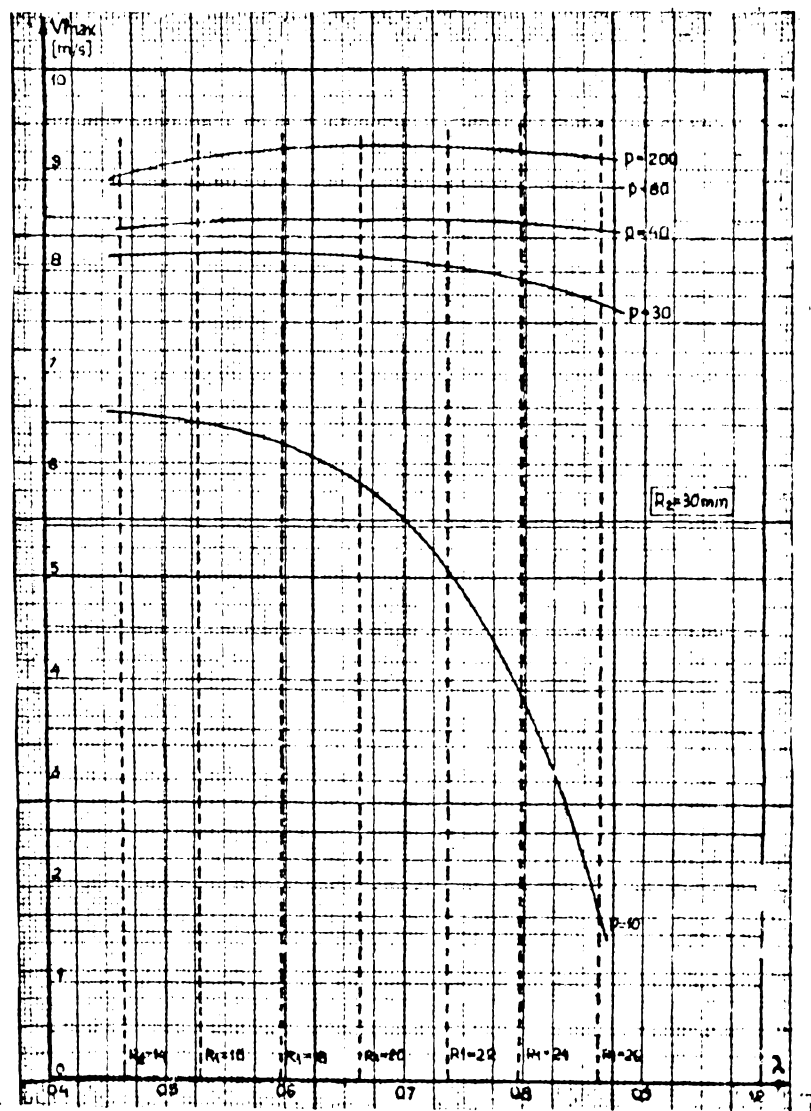


Figura 3.68

Variatia vitezei maxime in functie de lățimea relativă a canalului λ pentru diferite valori ale numărului H_0

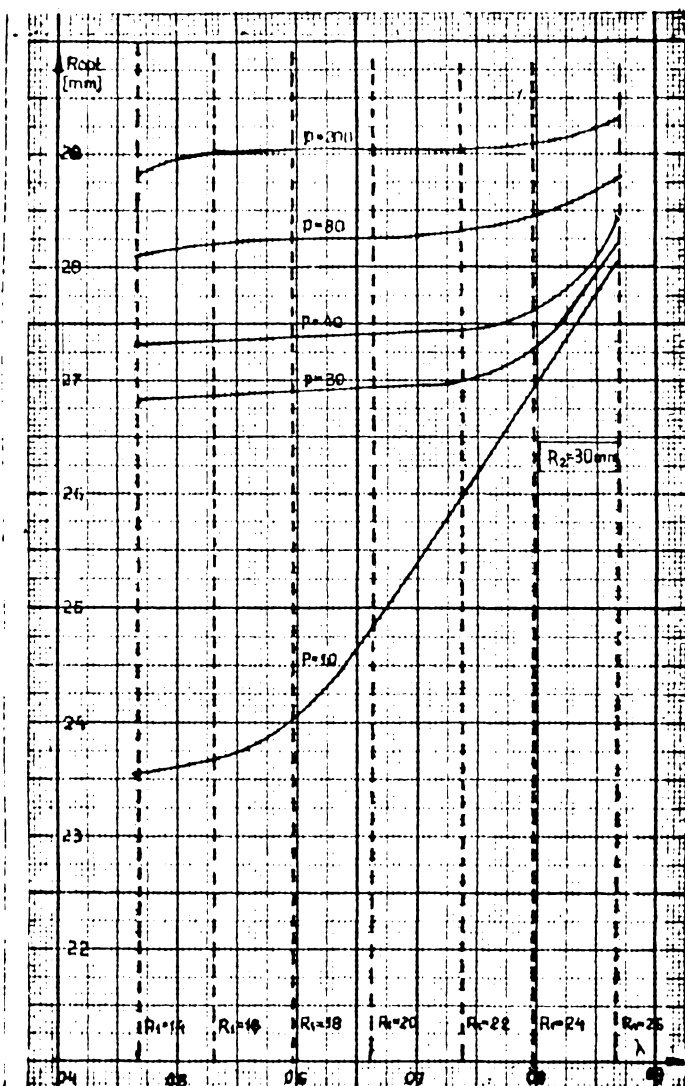


Figura nr.3.69

Valorile razei optime pentru priza de presiune în funcție de lungimea relativă a canalului și pentru diferite valori ale numărului Ha pentru giroscopul M.H.D. cu inducție ($R_2 = 30$ mm)

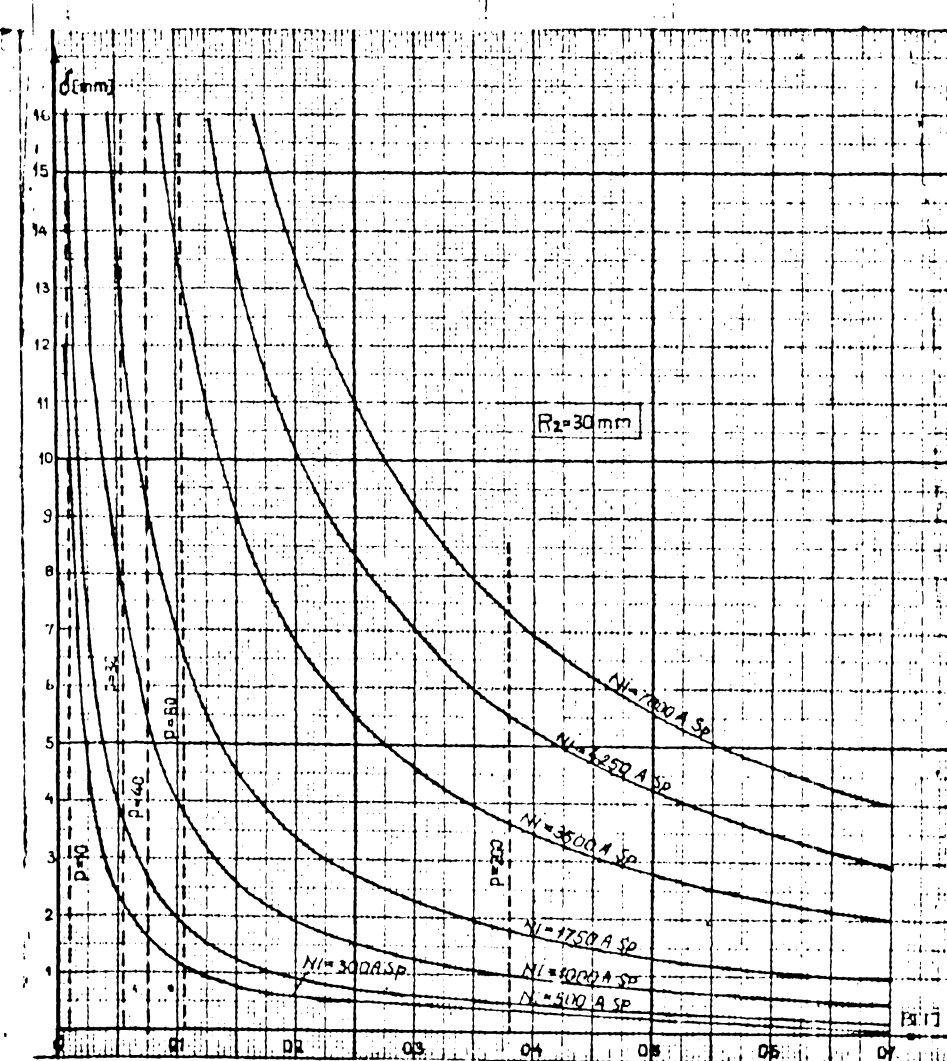


Figura nr. 3.7o

Nomogramă pentru calculul inductorului giroscopului M.H.D. cu inducție, având $R_2 = 30 \text{ mm}$.



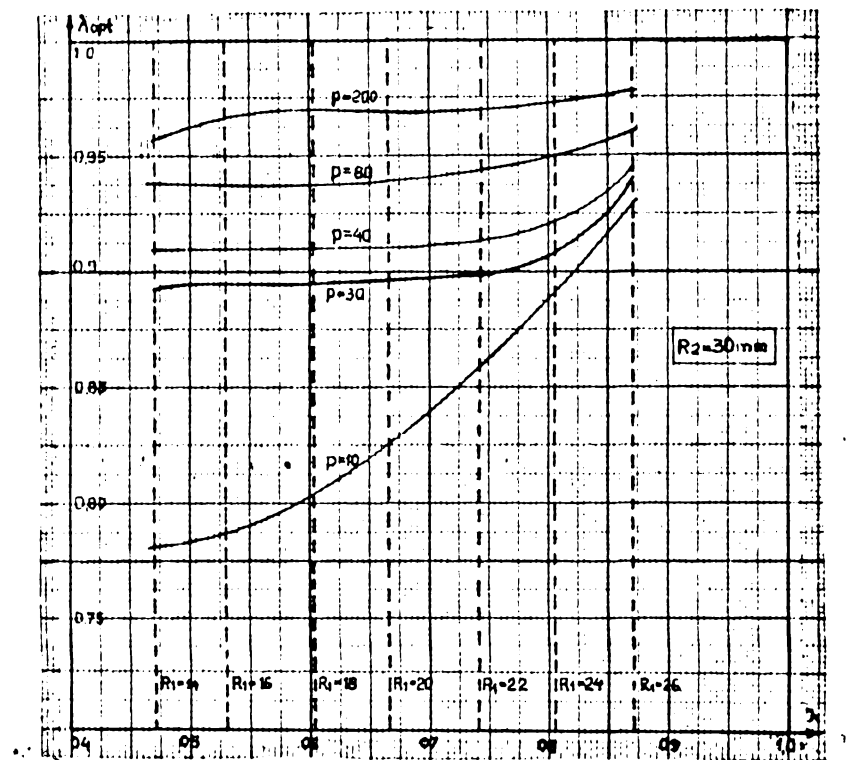


Fig.3.71 a

Pozitia relativă a prizei optime de presiune pentru giroscopul M.H.D. cu inducție.

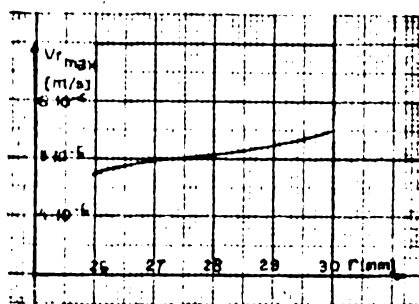


Figura nr.3.71 b

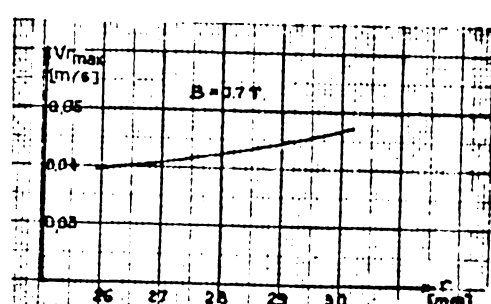


Figura nr.3.71 c

Valoarea vitezei radiale maxime în stratul de frecare

3.3.2. MĂSURAREA DISTRIBUȚIEI CIMPULUI MAGNETIC.

Prezintă de asemenea interes cunoașterea distribuției inducției radiale în zona de lucru a giroscopului MHD.

In acest scop a fost conceput un instrument de măsură adecvat, capabil să realizeze măsurări punctuale în interiorul canalului. Elementul de bază îl constituie un traductor Hall de tip 3 PQH-225 de proveniență japoneză cu dimensiuni miniaturale:

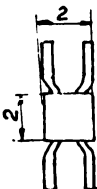


Figura nr. 3.72

Schema de principiu a aparatului (inovație M.Ap.N. 12.07.1986) este arătată în figura nr. 3.72

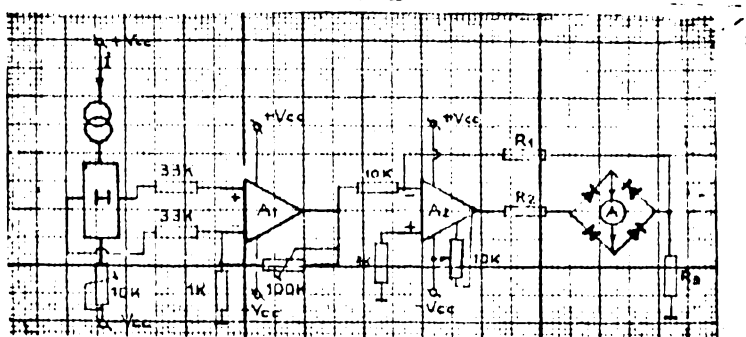


Figura nr. 3.73

Măsurările au fost efectuate în imediata vecinătate a peretelui cilindric exterior al canalului ($r=R_2=30$ mm). Valorile medii pentru un număr de 6 determinări sunt prezentate grafic în figurile 3.74.

Determinările au fost făcute prin modificarea tensiunii de alimentare a inductorului, în aşa fel încât să se obțină valorile dorite ale exponentului $n = 1 + \frac{H^2}{2}$ din ecuația (3.156) care descrie distribuția de viteze. Pe grafice sunt indicate și valorile tensiunii de alimentare pentru fiecare valoare a inducției B . Măsurătoare s-a efectuat cu punțul (figura nr. 3.74) introdus și cu un miez de dimensiuni similare celui real, dar fără flanșă pentru a putea avea acces în zona canalului.

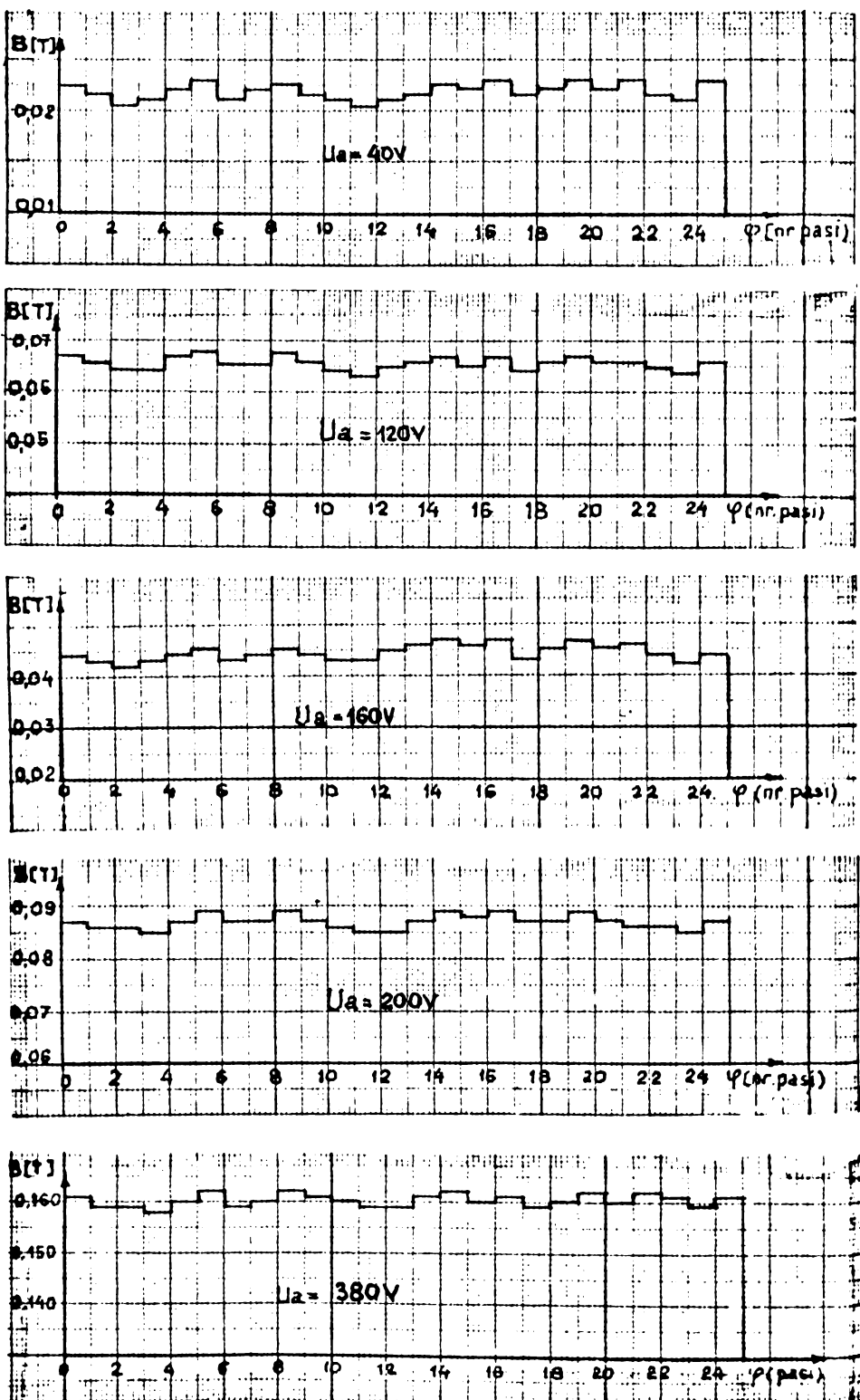


Fig. 3.74.

CAP.4. CONCLUZII

Scopul propus la abordarea temei a fost acela de a lămuri principalele aspecte teoretice și practice legate de construcția giroscopului magnetohidrodinamic. În literatură de specialitate, în majoritatea cazurilor, giroscopul MHD este amintit în enumerarea tipurilor neconvenționale, ntribuindu-se de aproximativ trei decenii performanțe promițătoare, fără însă să apară informații cu privire la eventualele progrese realizate. Documentația existentă la OSIM semnalizează existența a două brevete aparținând U.R.S.S. și S.U.A., dar și în aceste cazuri, în afara unor scheme de principiu, nu sunt date nici un fel de informații asupra performanțelor, avantajelor sau dezavantajelor acestui tip de giroscop și nici asupra utilizării sale efective într-o instalație de navigație inertială.

Există totuși, în literatură, un număr relativ mare de informații legate de diverse aspecte ale studiului mișcării fluidelor electroconductoare în incinte cilindrice, asemănătoare celei de la giroscopul MHD. Cu toate acestea, ipotezele adoptate de diversii autori, se îndepărtează în majoritatea cazurilor de necesitățile constructive ale unui giroscop MHD.

În această situație a apărut necesară o informare de detaliu asupra performanțelor aparaturii giroscopice existente, a limitelor și dificultăților constructive și funcționale ale acestora, pentru a avea la îndemâna termenul de comparație necesar. Rezultatele investigațiilor sunt concretezate în Cap.2 al lucrării, în care sunt cuprinse și informații asupra unor tipuri de giroscope neconvenționale, dintre care, unele, au depășit fază cercetărilor de laborator (giroscopul vibrator și giroscopul cu laser).

Cap.3 este destinat studiului efectiv al giroscopului magnetohidridinamic. Sînt trecute în revistă principalele tipuri constructive de giroscop MHD realizabile, cerințele impuse materialelor utilizate și fluidului electroconductor. Se trece apoi la studiul mișcării fluidului electroconductor în incinta de lucru a giroscopului. Se stabilesc modelele adecvate pentru giroscopul de curent continuu cu inducție

axială și cu inducție radială și pentru giroscopul de curent alternativ cu inducție radială. Se stabilesc și se integrează sistemele de ecuații diferențiale care guvernează mișcarea obținându-se distribuțiile de viteze și de presiuni.

Se abordează apoi problema mișcării în vecinătatea capacelor stabilindu-se distribuțiile de viteze în interiorul stratului de frecare, dobândind în acest fel o imagine completă asupra mișcării fluidului în incinta giroscopului.

Deoarece în literatură se afirmă doar, pe baza unei extrapolări a cunoștințelor legate de dinamica solidului cu punct fix, că masa de fluid aflat în mișcare de rotație are proprietățile unui giroscop, a fost necesară demonstrarea acestei afirmații. Prin urmare a apărut necesară scrierea sistemului de ecuații de mișcare în raport cu un sistem de referință care execută o mișcare generală față de un reper inertial. Aducând apoi mișcarea generală la cazul particular de funcționare a unui girometru, printr-o analiză de fond s-a putut simplifica și apoi integra sistemul, demonstrându-se apariția unei distribuții de presiuni legată de forța de inerție Coriolis și deci posibilitatea funcționării ca giroscop a masei de fluid aflată în mișcare de rotație. Având în vedere faptul că în timpul funcționării, nava-suport poate efectua și alte tipuri de mișcări, diferite de cea presupusă anterior, a fost studiată influența anumitor parametrii cinematici ai mișcării suportului asupra mărimii de ieșire a girometrului MHD, relevându-se necesitatea unor corecții.

Pentru a putea efectua o comparație a performanțelor a fost definită noțiunea de sensibilitate a giroscopului MHD, au fost calculate valorile coeficientului de sensibilitate pentru mai multe tipuri de distribuții de viteze și pe această bază au putut fi trase concluzii privind optimizarea geometriei canalului MHD.

Având la dispoziție aceste informații a fost posibilă schițarea unei metode de proiectare a giroscopelor MHD cu current continuu și alternativ cu referire la calculul ci-

cuitului magnetic, geometria optimă a canalului, poziția optimă a prizeelor de presiune precum și alte indicații constructive.

Pentru a putea valida modelul teoretic propus a fost necesară efectuarea unor măsurători asupra giroscopelor construite. În acest scop a fost imaginată o metodă de investigare a distribuției de viteze, pentru care s-a stabilit modelul teoretic și după o tarare prealabilă, pe baza unui program la calculatorul electronic s-a trasa curba de etalonare a dispozitivului. Graficele teoretice ale distribuției de viteze au fost trase pe baza rezultatelor unor programe speciale de calcul pentru mai multe valori ale inducției și pentru diferite mărimi ale lățimii canalului. Pentru giroscopul de curent continuu, pe baza unui program bazat pe metoda elementului finit s-au trase graficele teoretice ale distribuției de viteze pentru o valoare a inducției corespunzătoare magneților permanenți disponibili și pentru mai multe valori ale curentului de alimentare.

S-a efectuat de asemenea mulțimea unui program destinat investigării distribuției de viteze în stratul de frecare din proximitatea capacelor pentru modelul teoretic admis, pe baza căruia s-a putut trage concluzia că, practic, subiectiv doar componenta tangențială a vitezei care are însă o variație de răcordare rapidă și deci implică existența unei disipații viscoase puternice în stratul de frecare.

Graficele distribuției de viteze obținute pe baza măsurătorilor efectuante asupra giroscopului de curent alternativ au acelasi alură cu cele obținute pe cale teoretică, acestea confirmă justitatea modelului teoretic propus. Valorile măsurate ale vitezelor sunt mai mici cu apox. 13% decât cele teoretice. Acest fapt se dostrează evident faptului că modelul teoretic face abstracție de prezența capacelor, care, aşa cum s-a arătat anterior constituie sediul unor disipații de natură viscoasă puternice.

Pentru a avea o imagine sugestivă, graficele distribuției de viteze păstrează aceleasi scări.

În vederea investigării distribuției cîmpului magnetic în zona de lucru a giroscopului a fost imaginat și construit un instrument adecvat, capabil să execute măsură-

tori punctuale în spațiu disponibil redus. Teslametru construit constituie inovație a autorului împreună cu un colectiv din Academia Militară.

Rezultatele măsurătorilor arată o distribuție radială suficient de uniformă a cîmpului, în conformitate cu ipotezele făcute la stabilirea modelului teoretic. De asemenea, cunoscerea valorii efective a inducției a fost necesară pentru efectuarea măsurătorilor legate de distribuția de vitezo.

Deoarece inductorul construit a avut la bază un pachet de tole provenit de la un produs industrial, destinat funcționării în cu totul alte condiții, a fost necesară utilizarea unui sistem de răcire forțată cu apă a incintei de lucru și cu ajutorul unui ventilator a bobinajului inductorului, astfel încît să poată fi obținute inducții suficiente în zonă de lucru. Cu toate măsurile luate, inducția nu a putut depăși valori de aprox. 0,1 T. Aceste dificultăți pot fi însă depășite prin proiectarea specială a unui pachet de tole corespunzător, cu ferestre majorate pentru bobinaj și eventual prin folosirea unui inductor dublu, cu bobinaj dispus atât în exteriorul cît și în interiorul giroscopului.

În urma analizării tuturor aspectelor arătate anterior, pot fi trăse următoarele concluzii:

1. construirea unor giroscopape MHD cu performanțe comparabile cu cele ale giroscopelor clasice este întratotul posibil. Experiența a arătat că, în cazul giroscopului cu inducție, viteza unghiulară de rotație a fluidului sănătă comparabile cu cele ale girometrelor cu rotor solid clasice. Dar densitatea superioară a rotorului lichid oferă un moment kinetic cu valoare mai mare, deci și posibilitatea unor sensibilități sporite;

2. dificultățile tehnologice și prețul de cost al unui giroscop MHD sănătă mai mici.

Practic, aspectele legate de precizia de execuție, de condițiile de control, montaj și reglare, atât de sensibile în cazul giroscopului clasic, lipsesc. Toate componentele mecanice ale unui giroscop MHD pot fi realizate într-o întindere cu tehnicitate medie;

3. construcția giroscopului MHD nu necesită materiale speciale, care nu se produc în țară. Căutările de mercur necesare sunt relativ reduse și nu constituie un impediment major;

4. puterile specifice de antrenare sunt cu aproximativ două ordine de mărime mai mari în cazul giroscopului MHD. Acest aspect constituie din puncte o condiție limitativă pentru multe domenii de aplicare;

5. necesitatea unui sistem eficient de răcire este cea de a doua condiție care limitează domeniul de aplicabilitate al giroscopelor MHD.

Se poate observa deci că cel puțin în anumite domenii de utilizare (nave, torpile, instalații terestre stabilizate giroscopic, etc.) giroscopul MHD poate deveni competitiv și prin prisma performanțelor cît mai ales prin cea a prețului de cost.

Evident, pentru fazele de proiectare, fabricație și instalare a unor giroscope MHD sunt necesare cercetări suplimentare, lucrarea de față putând constitui un îndrumar util pentru lămurirea aspectelor teoretice și a unor particularități constructive ale giroscopelor MHD. În acest context, autorul își propune continuarea cercetărilor, în cadrul unui colectiv din Academia Militară, pe baza unui contract existent, pentru studierea posibilităților de folosire a unui giroscop MHD la o instalație interesând Ministerul Apărării Naționale.

B I B L I O G R A F I E

1. Abramov O.V. s.a., Parametricalscaia corectia sistemî upravlenia, Energoizdat, Moskva, 1982.
2. Akim, E.L., Eneev,T.M., Opredelenie parametrov dvijenia cosmicescop letatelnogo aparata po danim traectornîh izmerenii, Cosmiceskie isledovania, 1963, vol.I, Ed.I Moskva.
3. Aizerman M.A., Teoria avtomaticesogo regulirovania, Izd. Nauka, Moskva, 1966.
4. Alexeev,K.B., Bebenin,G.G., Upravlenie cosmicescim letatelnîm aparatov, Mašinostroenie, ed.II, 1974.
5. Arnold,V.I., Matematiceskie metodi clasicescoi mehaniki, Ed.Mir. Moskva, 1974.
6. Aliev I.I.,s.a., Sisteme giroscopice și de navigație, Priborostroenie nr.1/1989 40, 50.
7. Anton,I., Turbine hidraulice, Editura Facla, Timișoara, 1973.
8. Anton,I., Cavitația vol.I, II, Editura Academiei R.S.R., București, 1985.
9. Anton,I., Vékás,L., Potencz,I., Suciu,E., Ferofluid flow under the influence of rotating magnetic fields. IEEE.Trans.of.Magnetics,vol.MAG 16, No.2, pag.283-287, 1980.
10. Anton,I., Vékás,L., Potencz,I., Suciu,E., Experimental researches in ferrohydrodynamics - Proc.of the VIth Conf.on Fluid Machinery,Budapest,sept.
11. Anton,I.,s.a., Cercetări asupra turbo transmisiilor MHD. Lucrări tehnico-științifice I.P. "Traian Vuia", Timișoara, 1977.
12. Anton,I., Vékás,L., Potencz,I., Suciu,E., Tămas,M., Turbotransformatorul MHD și alte aplicații ale fluidelor magnetice. Memoriile sect.științifice ale Academiei R.S.R., Tom III, 1980.
13. Anton,I., Vékás,L., Aplicațiile ferofluidelor în tehnica modernă. Seminar Aplicațiile ferofluidelor, Timișoara, oct., 1980.

14. Anton,I., Tămaș,M., Suciu,E., Turbotransmisii MHD-Seminar Aplicațiile ferofluidelor, Timișoara, oct.1980.
15. Anton,I., Anton,A., Avram,E., Pompa magnetohidrodinamică-Brevet R.S.R. nr.57573/17.08.1971
16. Anton,A., Măsurarea intensității turbulentei la mișcarea lichidelor magnetice în conducte, Seminar "Lichide magnetice, baza unor tehnologii de vîrf", Timișoara, oct.1988.
17. Aron,I., Curs de aparate giroscopice pentru aeronaave, Editura A.M.,1978.
18. Avram,E., Particularități de calcul a turbomasinilor MHD - Ses.de com.științifice - Inst.de Marină Constanța, 1975.
19. Avram,E., Influența suprapunerii efectelor în pompă axială MHD - Bul.A.M. Nr.3/1976.
20. Avram,E., Probleme privind construcția giroscopului MHD - Ses.de com.științifice A.M.,1983.
21. Avram,E., Stefan,S., Integrarea ecuațiilor de mișcare ale fluidelor electroconductive în giroscopul MHD cu inducție - Conf.Mașini hidraulice și hidrodinamice - Timișoara,1985.
22. Avram,E.,s.a. - Considerații asupra mișcării peliculare pe un plan vertical, Conf.Mașini hidraulice și hidrodinamică, Timișoara, 1985.
23. Avram,E., Girometrul MHD de curent continuu. Teorie, construcție, performanțe. A XXII-a Ses.de com. a A.M., nov.,1988.
24. Avram,E., Asupra sensibilității girometrului MHD. Ses. Comunic. A.M., nov.,1988.
25. Avram,E., Teslometru pentru cîmp variabil în timp,Certif. inov. M.Ap.N., 12.07.1986.
26. Avram,E., Mandometru diferențial de precizie cu citire electronică,Certif.inov.M.Ap.N., 24.01.1974.
27. Avram,E., Stefan,I., Stefan,S., Mecanica fluidelor - Indrumar laborator, Editura A.M.,1985.
28. Balașova,A.A.,Nikitin,E.A., Proiectirovanie diferențiruiușchih i integriruiușchih giroscopov i accelerometrov, Mașinostroenie,1969,Moskva.
29. Bărbat,N.,Ciocoiu,N., Giroscopul în tehnica blindatelor, Editura Tehnică, București, 1961.

30. Béghin H., Teoria compaselor giroscopice, Anschütz și Sperry (lb.rusă) Izd.Nauka, Moskva, 1967.
31. Bicicov S.I. - Lazernii giroskop. Izd. Sovetskoe radio, Moskva, 1975.
32. Bogdanovici M.M., Primenenie giroscopiceschih priborov i sistemah na morskikh sudakh, Izd. Transp., Moskva, 1977.
33. Bogdanovici M.M., Giroscopiceskie pribori i ustroistva osnovi teorii. Izd. Sudostroenie, Leningrad, 1961.
34. Belea C., Lungu R., Ciomaru C., Sisteme giroscopice și aplicațiile lor, Editura Minerva, Craiova, 1987.
35. Bürglăzan A., Anton I., Anton V., Preda I., Încercările maginilor hidraulice și pneumatiche, Editura Tehnică, București, 1959.
36. Brun E., Martinat-Lagarde A., Mécanique des fluides, 3 vol., Dunod Paris, 1970.
37. Cedighian S., Materiale magnetice, Editura Tehnică, București, 1967.
38. Carpentier J., Navigation par inertie, Dunod Paris, 1962.
39. Constantinescu V.N., Aplicații industriale ale lagărelor cu aer, Editura Academiei R.S.R., 1968.
40. Crammel R., Der kreisel, seihe theorie und seine anwendungen, Berlin, Götingen, Heidelberg, Springer Verlag, 1950.
41. Cedighian S., Materiale magnetice, Indreptări, Editura Tehnică, 1974.
42. Cemiac O.V., Ribcinscaia G.B., Basic hidraulics and heat engineering, Ed.Mir, Publ.Moscow, 1984.
43. Ciomaru C., Lungu R., Efectul giroscopic datorat mișcării de spin a particulelor elementare, Ai III-lea Simpozion Naț. de Teoria sistemelor, vol. II, pag. 165-168, Craiova, 1984.
44. Charles W., Popplewell , The magnetic properties of ferromagnetic liquids containing iron particles in mercury. I.E.E.E. Trans.on Magnetics, Vol.MAG-16, nr.2, 1980.
45. Călugăru G., A new aspect of the mouvement of ferrofluids in a rotating magnetic field. Rev.Roum.Phys. 21, nr.4/1976, pag.439.
46. Carafolie E., Oroveanu T., Mecanica fluidelor, 2, vol., Editura Academiei R.P.R., 1952, 1955.

47. Danilin V.P., Giroscopiceskie priborî, Izd.Vissaja Scola, Moskva, 1965.
48. De Sabata I., Forța exercitată de cîmpul magnetic asupra unui corp cu magnetizația permanentă și tempoerară imersat în lichid magnetic. Seminar "Lichidele magnetice", baza unor tehnologii de vîrf", Timișoara, oct. 1983.
49. Dremov V.N., Kapusta A.B., MGD vrăscenie electroprovo-diascei jidcăsti în cilindricești conecihii sosudă, MGD Nr.1/1971.
50. Doronin V.I., Dremov V.V., Kapusta A.B., Măsurarea caracteristicilor de curgere ale mercurului în incinte cilindrice închise - MGD Nr.3/1973.
51. Dorfman L.A., Rezistența hidraulică și transmisia de căldură la corpurile rotitoare, M.F.M.L., 1960.
52. Dragos L., Magnetohidrodinamica, Editura Academiei R.S.R., București, 1964.
53. Glazov A.O., Mișcarea de rotație a unui fluid electroconductor deasupra unui disc fix sub acțiunea cîmpului magnetic, MGD Nr.2/67 pag.75-80.
54. Gordeev G.V., Vlianie tortevih granič na vrascenie ritutia v maghitnompole, Jurn. Teh. FIZ., vol.29, nr.6; Rigā, 1959.
55. Gorbacev B.P., Nikitin V.N., Ustinov A.L., Despre mișcarea MHD a fluidelor electroconductive în incinte cilindrice închise, MGD Nr.4 1974.
56. Glazov O.A., Profile de viteze în mișcarea de rotație MHD a ferofluidelor, MHD, Nr.1, 1982.
57. Glazov O.A., Transferul de căldură la mișcarea de rotație, MGD, Nr.3, 1982.
58. Gol'sfat I.M., Gordunov L.A., Despre calculul curgerilor axial simetrice turbulente cu structură de viteze neuniformă. MGD, Nr.6, 1970.
59. Glazov O.A., Izvestia AN Latvinskoi SSR ser.Fiz. i. Tehn.nauk Nr.2/1966.
60. Groppianu Z., Preda T., Asupra procedeelor de obținere a lichidelor magnetice cu particole de Fe și Co, Seminar "Lichide magnetice, baza unor tehnologii de vîrf", Timișoara, oct., 1988.

61. Hanuise Guy, Etude theoretic et experimentale du gyromètre à induction nucléaire - Chantillon-Onera, 1967.
62. Haidu E., Popescu A.V., Navigația aeriană, Editura Junimea, Iași, 1977.
63. Iacob Caius, Introduction mathematique à la mecanique des fluides - Gauthier - Villars - Paris, 1959.
64. Jărghin U.S., O laminarnomiecenii provodeascei jidcosti v gomopleanike - Vopr. MGD Tom.II, Riga, 1962.
65. Loțianschi, Laminarni poigranicinii sloi-Moskva, 1962.
66. Ladjenkskaia O.A., Luor.Congr.International de matematică, Moscova, 1968.
67. Luca E., s.a. - Ferofluidele și aplicațiile lor în industrie, Editura Tehnică, București, 1978.
68. Landau L., Lifchitz E., Mecanique des fluides, Editura Mir, Moscov, 1971.
69. Luca E., Călugăru G., s.a., Ferofluidele și aplicațiile lor în industrie, Editura Tehnică, București, 1978.
70. Magnus Kurt, Giroscop-teoria și primenenie (trad.din lb. germană), Izd. Mir., Moskva, 1974.
71. Maleev P.I., Novîie tipi giroscopov, Izd.Sudostrienie, Leningrad, 1971.
72. Monopoli R.V., The magnetohidrodinamic gyroscope, (Proceedings of the national electronics conference, New York, 1960.
73. Michelson A., Iacovici A.T., Pavlov S.I., Cercetarea numerică a curgerii MHD în incinte cilindrice închise cu considerarea ipotezei tensiunilor turbulente, MGD Nr.8/1960.
74. Măgureanu R., Magini electrice speciale pentru sisteme automate, Editura Tehnică, București, 1980.
75. Milne-Thomson L.M., Theoretical Hydrodynamics, ed. 5-a Macmillan & Co Ltd.London, 1968.
76. Niță M., Aron I., Navigația inertială, Editura Militară, București, 1971.
77. Niță M., Curs de mecanică teoretică, vol.1, 2, Ed.Academicii Militare, București, 1971.
78. Nikitin E.A., Balagova A.A., Proiectirovanie diferenți- ruiugcih i integriruiugcih giroscipov i ascelerometròv - Izd. Mashinostroenie, Moskva, 1969.
79. Nefedov A.A., Ghidrodinamicescoi mahovic, Brevet U.R.S.S., № 62, 752.4-20.10.1972.

80. Niță M., Aron I., Pilotul automat, Editura Militară, București, 1961.
81. Polevicov V.K., Curgerea unui lichid magnetic care acoperă un conductor cilindric în fază de desprindere, MGD Nr.1/1989 (41, 47).
82. Popa O., Mișcări potențiale și teoria hidrodinamicii rețelelor de profile. Litograf. I.P.Timisoara, 1980.
83. Poplewell I., Charles S.W., Moon S.R., Aggregate formation in metallic ferromagnetic liquids. The Transaction magnetics. Vol.MAG 16, no.2, 1980.
84. Potenz I., Suciu E., Vékás L., Etărâuri cu fluide magnetice, Seminar Aplicațiile ferofluidelor, Timisoara. oct., 1980.
85. Radix J.C., Le gyroscope et ses applications universitaires de France, 1969.
86. Shizawa K., Tanahashi T., A new complete set of basic equations for magnetic fluids with internal rotation. Bul. ISME vol.28 No.243, No.255, sept.1986.
87. Savet P.H., Gyroscopes-Theory and design - MC Graw Hill-New York, 1961.
88. Scarburgh J.V., The gyroscope - theory and applications (Lb.rusă) Izd.Inostr.Lit.Moskva, 1961.
89. Slomienski G.A. ș.a., Poplavkovîie giroscopî i ik pri-menenie, Oboronghiz Moskva, 1958.
90. Stoenescu A., Titeica G., Teoria giroscopului și aplicațiile sale tehnice, Editura Tehnică, București, 1961.
91. Shercliff J.A., A text Book of magnetohydrodynamics Pergamon Press, 1965, N.Y.
92. Stăfănu I., Introducerea în magnetohidrodinamică, Editura Tehnică, București, 1969.
93. Sabac I., Matematicispeciale, vol.I, II, E.D.P.București, 1981, 1982.
94. Tarapov I.E., MGD Nr.1/1972, pag.3.
95. Timotin A., Mortopan V., ș.a., Lectii de bazele electro-tehnicii, E.D.P. București, 1970.
96. Vilcovici V., Bălan St., Voinea R., Mecanică teoretică, Ed.a 3-a, Editura Tehnică, București, 1968.
97. Wigley W., Holister, Denhard W., Gyroscopic theory design and instrumentation. Nit. Press Cambridge, Massachusetts, London, 1970.

98. Wigotsky W., Liquid rotor simplifies gyroconstructions
Desig New, No.11, 1961.
99. x x x - Priborostroienie Nr.2/1989 - Sisteme giros-
copice și de navigație (2, 6, 37).
100. x x x - Aplicațiile ferofluidelor - seminar tehnico-
științific, Timișoara, oct.1980.

